

INSTITUTUL POLITEHNIC "TRAIAN VUIA"
TIMIȘOARA
FACULTATEA DE INGINERIE CHIMICĂ

Ing.C.Dăescu

CLORURI DE CARBAMOL SI TICN-
CARBAMOL N,N-DISUBSTITUITE

TEZA DE DOCTORAT

BIBLIOTECA CENTRALĂ
UNIVERSITATEA "POLITEHNICA"
TIMIȘOARA

Conducător științific,
Prof.univ.emerit dr. doc.
GEORGE OTTO COCOVICH
M.C. al Academiei R.S.R.

- 1976 -

312558
10.0.26.7.0.1.7

C U P R I N S
 * * * * *

INTRODUCERE	3
1.- CLORURI DE CARBAMOIL SI TION-CARBAMOIL (studiu de literatură)	4
1.1. Metode de preparare	4
1.1.1. Fosgenare directă	4
1.1.2. Ridroclorurarea isocianatilor	7
1.1.3. Clorurarea isocianatilor	8
1.1.4. Clorurarea formamidelor și tioformamidelor	9
1.1.5. Alte metode	9
1.2. Proprietăți fizice	10
1.3. Proprietăți chimice	14
1.3.1. Reactivitatea clorurilor de carbamoil	14
1.3.2. Reacțiiile cu aminele	15
1.3.3. Reacțiiile cu alcoolii și fenoli	17
1.3.4. Reacțiiile de acilare Friedel-Crafts	19
1.3.5. Reacții de obținere a isocianatilor	20
1.3.6. Reacții de halogenare	21
1.3.7. Alte reacții	22
2.- PREZENTAREA REZULTATELOR PROPRII	24
2.1. Sintesa produselor studiate	24
2.1.1. Prepararea clorurilor de N,N-dialchilcarbamoil	24
2.1.2. Prepararea N,N'-tetrealchiltiurem disulfurilor	28
2.1.2.1. Prepararea N,N-dialchilditiocarbamatilor de sodiu	29
2.1.2.2. Oxidarea N,N-dialchilditiocarbamatilor de sodiu	30
2.1.2.3. Prepararea N,N'-tetrametiltiurem-disulfură	34
2.1.3. Prepararea clorurilor de tion-carbamoil N,N-disubstituuite	39
2.2. Spectrele IR ale produselor obținute	43
2.2.1. Spectrele IR ale clorurilor de N,N-dialchil-carbamoil	43
2.2.2. Spectrele IR ale N,N'-tetrealchil-tiurem-disulfurilor	52
2.2.3. Spectrele IR ale clorurilor de tion-carbamoil N,N-disubstituuite	63

... / ..

2.3. Cinetica și mecanismul solvolizelor clorurilor de carbamoil și tio-carbamoil N,N-disubstituite	69
2.3.1. Cinetica și mecanismul solvoliziei clorurilor de N,N-dialchil-carbamoil	69
2.3.2. Cinetica și mecanismul hidrolizei clorurilor de tio-carbamoil N,N-disubstituite	87
2.4. Parte experimentală	97
2.4.1. Prepararea produselor studiate	97
2.4.2. Determinarea spectrelor IR ale produselor sinteze	100
2.4.3. Determinările cinetice	101
CONCLUZII	107
BIBLIOGRAFIE	108

INTRODUCERE

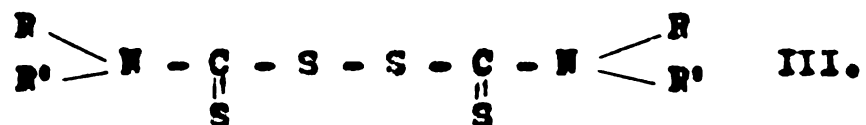
Acidul carbamic, $\text{H}_2\text{N}\cdot\text{COOH}$, este monoanida acidului carbonic. Nu se cunoscă în stare liberă, ci doar sub formă de derivați. Prezenta lucrare se ocupă cu studiul clorurilor și tio-clorurilor N,N -disubstituite ale acidului carbamic.

În mod corect, aceste produse se numesc "cloruri de carbamoil" și "tio-carbamoil", dar în lucrările de specialitate se întâlnesc denumirile de "cloruri de carbamil" și "cloruri de tiocarbonil" și alturi de altele mai puțin adecvate: N -clorcarbamil-amino N -substituite, cloroformamide N -substituite și chiar cloruri de uree.

Vom denumi în continuare "cloruri de carbamoil" și respectiv "cloruri de tio-carbamoil" compuși de structura I, respectiv II:



Inscriindu-se într-o continuă preocupare a colectivului condus de G. Ostrogovich spre studiul derivațiilor amidicii acidului carbonic, această lucrare prezintă sinteza, proprietățile și reactivitatea clorurilor de carbamoil și tio-carbamoil N,N -disubstituite, unde substituenții sunt mai ales radicali alchil, și sinteza N,N' -tetra-alchil-tiuram-disulfurilor, de structură III, intermediari în obținerea clorurilor de tio-carbamoil N,N -disubstituite.



Interesul pentru acești compuși este justificat de mare diversitate a utilizărilor lor, mai ales ca intermediari în obținerea unor agenți de protecția plantelor, medicamente, polimeri, coloranți, etc. Unele cloruri de carbamoil N,N -disubstituite, polihalogenate, au proprietăți de ierbicide selective și fungicide. Utilizarea clorurilor de carbamoil în sinteza carbamoililor N -disubstituiți (cu proprietăți de insecticide, fungicide, ierbicide selective, regulatori de creștere, pesticide,

seu cu proprietăți terapeutice : bactericide, antihelmintici, anestesici locali, inhibitori colinesterazici, spasmolitici, etc.) și a ureilor N,N'-substituții (ierbicide, pesticide, agenți hipoglicemici, plastifianti și stabilizatori pentru PVC, agenți de transfer termic) rămâne ceea mai caracteristică. Inițial s-au studiat ca intermediari în sinteza izocianatilor, ulterior găsindu-și aplicarea în obținerea unor poliuretani, poliamide, policarbonați, astăzi în sinteza unor polyolefine de cristalinitate avansată și în modificarea unor polimeri. Clorurile de tio-n-carbamoil N,N'-disubstituite și-au găsit aplicarea în sinteza unor tiouri N,N'-substituite, produse cu acțiune fungicidă, citostatică sau bacteriostatică. N,N'-Tetraalchil-tiuram-disulfurilor se folosesc astăzi pe scară mare ca ultraacceleratori de vulcanizare a cauciucului și ca fungicide, ca întreaga clasă de compuși ditiocarbamici, și în proporție mai mică drept inițiatori de polimerizare și stabilizatori pentru materialele fotosensibile.

Lucrarea cuprinde două părți distincte: prima în care este prezentată literatura de specialitate referitoare la clorurile de carbamoil și tio-n-carbamoil, și a doua în care sunt expuse contribuțiile proprii privind sinteza, structura și reactivitatea clorurilor de N,N'-dialchil-carbamoil, clorurilor de N,N'-dialchil- și unele N-alchil-N-aryl-tio-n-carbamoil, de asemenea sinteza și structura N,N'-tetraalchil-tiuram-disulfurilor și un studiu al sintezei N,N'-tetrametil-tiuram-disulfuri destinate producției.

1. CLORURI DE CARBAMOIL SI N-CARBAMOIL (studiu de literatură)

Cel mai simplu compus din această clasă, clorura de carbamoil, $\text{H}_2\text{N}-\text{COCl}$, a fost obținut încă din 1843 de Wöhler¹, în încercarea de a prepara acid cianic din cianat de potasiu și acid clorhidric. Structura și cele mai importante proprietăți au fost determinate 40 de ani mai târziu de Gattermann², care introduce și cea mai importantă metodă de sinteză. În aceeași lucrare se sintetizează și studiază primii compuși N-substituiți ai clorurii de carbamoil. După 1950 au fost sintetizați și studiați cei mai mulți compuși din această clasă, odată cu dezvoltarea generală a chimiei și tehnologiei chimice organice. Vom trece în revistă cele mai importante rezultate în acest domeniu.

1.1. METODE DE PREPARARE.

1.1.1. Fosgenarea directă.

Prin trecerea unui curent de fosgen peste clorura de amoniu la 400° s-a obținut clorura de carbamoil². Această sinteză constituie punctul de plecare a celei mai importante metode de obținere a clorurilor de carbamoil. Mai târziu Rupe și Labhardt³ au folosit amoniacul. Procedeul a fost dezvoltat pentru fază de laborator de Hopff și Ohlinger⁴, și pentru fază pilot de Runge și Reinhardt⁵, cind rendamentele au depășit 95 %. Datorită instabilității clorurii de carbamoil gazele de reacție trebuie răcite energetic imediat după spațiul de reacție. Din cauza mediului corosiv, separarea se confectionează din sticlă, porțelan și nichel^{4,5}.

Reacția fosgenului cu aminele primare poate duce, funcție de condiții de reacție, la obținerea de cloruri de carbamoil N-substituite, isociananăi sau urei substituite :

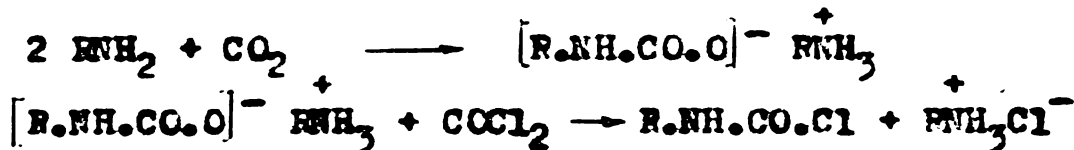


În utilizarea clorhidratului metil- și etil-aminoi în locul clorurii de amoniu, Gattermann² a obținut clorurile de N-metil- și N-etil-carbamoil. Obținerea clorurilor de carbamoil N-monosubstituitedin aminele primare alifatice și fosgen se face la 250 - 350°, în fază gazosă, reacția fiind urmată de o răcire rapidă. Rendamentele sunt de 70 - 85 %^{9,17}. Lucrind în solvent organic, la temperatură scăzută, rezultă clorura de carbamoil monosubstituită alături de clorhidratul aminoi, o parte din amine legând acidul clorhidric¹⁰. Chiar și în aceste condiții procedeul este prejudiciat de degradarea produsului în cloruri de alofanil N,N'-disubstituite,
 $\text{R}_1\text{NH.CO.NR}_2\text{COCl}$, și apariția izocianajilor polimeri. La cald, în exces de fosgen rezultă direct izocianatul prin dehidrocloorurarea clorurii de N-alchil-carbamoil, iar în exces de amine alifatică produsul de reacție este ureea N,N'-disubstituită, reacții de care ne vom ocupa mai târziu.

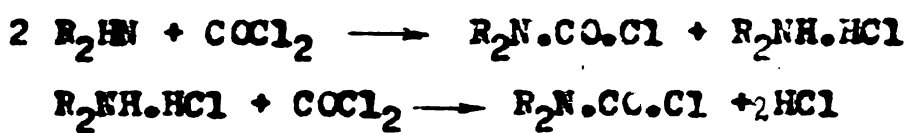
Reactivitatea mult mai scăzută a clorurilor de N-eril-carbamoil face ca obținerea lor să decurgă cu rezultate adeseori foarte bune la temperaturi în jur de 0° și solvent organic cu soluții de fosgen în benzen, toluen sau acetat de etil. Pentru evitarea reacției (3) se lucrează cu un exces de fosgen. Se pare că are loc formarea inițială a unui adurt $\text{Ar.NH}_2 \cdot \text{COCl}_2$, care peste 60° trece în clorura de N-eril-carbamoil¹¹. Separarea produsului se face prin eliminarea excesului de fosgen și a solventului prin evaporarea sub vid și recristalizare. Rezultate bune se obțin doar cind amine conține în nucleul aromatic substituенii dezactivanți care să micșoreze viteza reacției (2): acetil¹², isocianat¹³, doi sau trei atomi de clor^{11,14}. Rendamentele sunt 75 - 80 %, iar ca produse secundare rezultă izocianatul și ureea corespunzătoare^{14,15}, aceasta mai ales la temperaturi de peste 100°.

Pentru reacția fosgenului cu aminele aromatice s-a propus un mecanism SN2, pe baza cinematicii de ordinul 2 determinate prin metoda "stop-flow"¹⁶.

Pentru reducerea ponderii reacțiilor secundare nedorite s-a încercat, cu rezultate bune, protejarea grupei aminoice prin formarea carbamajilor, cu bicoxid de carbon în fază gazosă sau în solvent cu punct de fierbere înalt, urmată de fosogenarea acestor struri^{17,18}, fără separare :

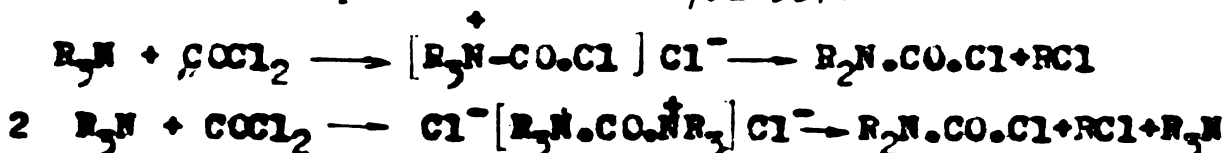


Din acțiunea fosgenului asupra aminelor secundare rezultă clorurile de carbamoil N,N-disubstituite. Prinile produse obținute pe această cale au fost clorurile de N,N-dimetilgi N,N-diethylcarbamoil obținute de Michler⁷ și respectiv Lumiere⁸ din aminele corespunzătoare în solvent organic la temperatură scăzută. Hentsch⁹ a preparat clorura de N,N-dimethyl-carbamoil aplicând metoda Gattermann la clorhidratul dimethyl-amini.



Modul de lucru este general valabil pentru reacția aminelor olifatici secundare: amina sub formă de soluție se introduce în soluția de fosgen, raport molar 2:1, la aprox. 0°, se agită 2-3 ore, se elimină fosgenul nereacționat la cald sub viu, se filtrează clorhidratul și se obține produsul prin distilarea sub vid a solventului. Rendamentele sunt foarte bune, uneori cantitative^{19,22}. Drept solvenți se folosesc benzenul¹⁹, toluenul^{20,21}, cloroformul²³, acetatul de etil²⁴, etc. În cazul aminelor mai puțin bazice, ca anilinele N-substituite sau diaril-aminele, reacția are loc la 50 - 60°^{25,30}, iar dialchil-aminele cu catenă perfluorurată²⁶ reacționează la 120 - 150°. O soluție mai avantajoasă este utilizarea unei amine terțiare drept catalizator și acceptor de acid clorhidric, de ex. trietilamina sau piridina²⁷⁻²⁹.

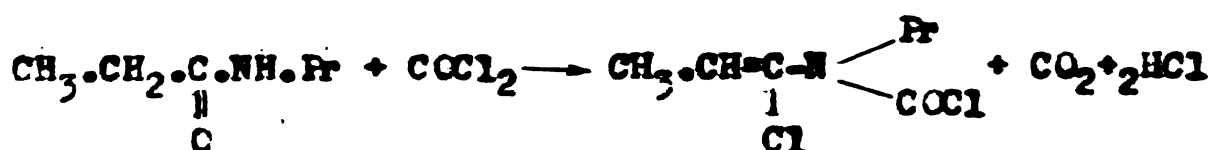
Aminele olifatici terțiare reacționează la -20 - -60° cu fosgenul cind rezultă complexe 1:1 și 2:1, de structură ionică, instabili la temperatura camerei/31-35/:



Cind R = Me, Et, Pr rezultă complexe 1:1, iar aminele superioare, R = C₆H₁₃, C₈H₁₇, PhCH₃ și piridina dau complexe 2:1^{32,33,36,41}. Produsul de decompunere al ambilor complexe este clorura de carbamoil disubstituită. Reacția este analogă reacției Braum a BrCN cu aminele terțiare.

La temperatură camerei reacția duce direct la clorura de carbamoil disubstituită³⁷, de asemenea reacția la temperaturi ridicate, în solvent organic, sau în fază gazoasă^{31,38-40}. Rândamentele și conversiile sunt în jur de 70 %.

Amidele N-monosubstituite reacționează cu fosgenul în două etape, o clorurare a grupei carbonilice, apoi acilarea la azot^{42,43}. Reacția are loc la 80 - 100°, în benzen sau toluen, cu mare exces de fosgen, iar rândamentele ajung la 80 %. Astfel, din N-propil-propion-amidă rezultă clorura de N-propil, N(1-clor-1-propenil) carbamoil, iar din caproacetamă rezultă 2-clor-aza-ciclo-2,5-hepten-1-carbonil-clorură. Se observă că



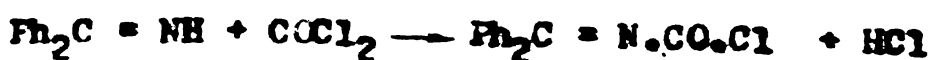
azotul amidic, de bazicitate redusă, este transformat în unul amnic de bazicitate mai mare, care este apoi acilat de fosgen.

Ureile N,N'-disubstituite reacționează într-o manieră similară, rezultând un produs de clorurare a grupei carbonilice, asemănătoare unei cloruri de imidă, și clorura de alofanil. Reacția are loc la 0° și



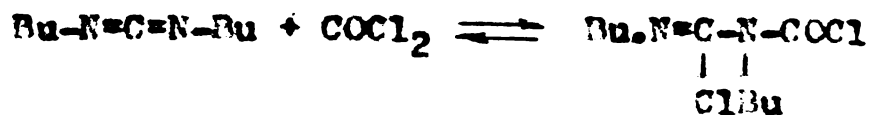
rândamentele variază mult funcție de substituenți. Prin fosgenarea N,N'-dimetil-ureii rezultă 28% clorură de alofanil și 71% produs de clorurare, din N,N'-diisopropiluree rezultă 75% clorură de alofanil și 7% produs de clorurare, iar din N-fenil-N'-butil-uree rezultă doar produs de clorurare⁴⁴. Dacă fosgenarea ureilor N,N'-disubstituite are loc la 120° în clorbenzen produsul de reacție este clorhidratul de guanidiniu N,N',N'' - trisubstituit⁴⁵.

Fosgenul poate acila și azotul iminic din compuși foarte reactivi, N-clorocarbonil-estiminici⁴⁶:

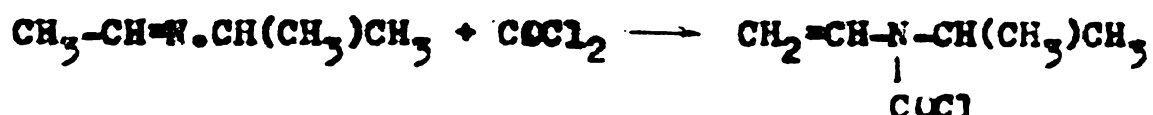


Reactivitatea carbo diimidelor face ca să reacționeze cu fosgenul sub 60° pentru a rezulta compuși N-clorocarbonil

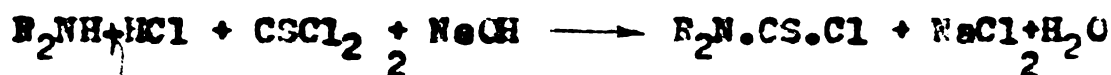
cloroformamidici N,N'-disubstituiți, instabili la cald, care se descompun ușor cu regenerarea reactanților inițiali. Rendamentele sunt 85-100 %. Reacția cu tiofogenul duce la compuși similari tionicici ⁴⁷⁻⁴⁹.



In condiții similare are loc și reacția cu basele Schiff, dar în prezență trietilaminei, cind rezultă clorura de N-alchénil-carbamoil ⁵⁰.



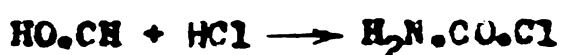
Clorurile de tion-carbamoil au fost obținute de Billeter în 1887 prin acțiunea tiofogenului asupra clorhidraților aminelor secundare ⁵¹⁻⁵³, în cloroform și în prezență soluției de hidroxid de sodiu.



Sinteza a fost studiată mai târziu ⁵⁴ și s-a găsit că rendamentele ating valori de 50 % față de amindoaia la temperaturi sub 0° și raport molar NaOH/R₂NH.HCl de 2. Alături de clorura de tion-carbamoil disubstituită se obține și tiuren-monosulfura N,N'-tetrasubstituită. Tiofogenarea aminelor secundare, la 0°, în cloroform sau eter, folosind un raport molar R₂NH/CSCl₂ de 2 conduce la rendamente de 38-60 % ⁵⁵ și chiar mai mari %.

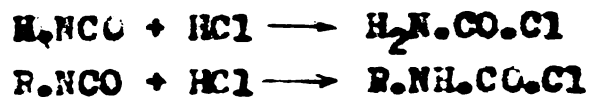
1.1.2. Hidroclorurarea isocianatilor.

In 1896 Gattermann ^{57,58} a preparat clorura de carbamoil prin reacția acidului cianic cu acidul clorhidric în fază gazosă. Acidul cianic se obține din piroliza acidului cianuric și reacționa cu acidul clorhidric care îl antrenă din zona de piroliză. La temperaturi de 550° se poate folosi pentru genera-



rarea acidului cianic ureea sau biuretul ⁵⁹. Este evident că se formează și multe produse secundare : amoniac, cianohidră, bicarbonat de carbon, etc. "Metoda a fost folosită și mai târziu ⁵⁸".

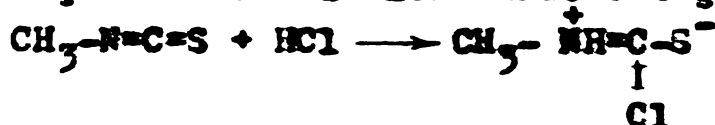
Inlocuind acidul cianic cu un izocianat, produsul de reacție este o clorură de carbamoil N-substituită. Similaritatea este evidentă dacă acidul cianic se scrie sub forma "izo" H-NCO :



Reacția are loc în acid clorhidric lichid în tub închis, în clorură de metilen saturată în acid clorhidric sau în fază gazoasă, la temperatură camerei sau ceva mai ridicată ⁶⁰. Metoda se aplică mai bine izocianatilor reactivi, cu R = CH₃, C₂H₅, C₃H₇, CF₃, CF₃S, etc. Pentru R = Ph, C₆H₅, reacția are loc mult mai greu, în fază gazoasă la temperaturi peste 300°. Uneori în locul izocianatilor se folosesc produsele de pirolyze ale ureilor N,N'-disubstituite. Produsul principal al reacției acestor urei în fază gazoasă, în prezența acidului clorhidric la 350° rămâne însă izocianatul ⁶¹.

O conversie remarcabilă de bună (44 % clorură de N-ariil-carbamoil) se obține la fabricarea izocianatilor din amină aromatică, uree și HCl în exces la 350°, reacție ce decurge probabil tot prin intermediul acidului cianic și a unui izocianat ⁶².

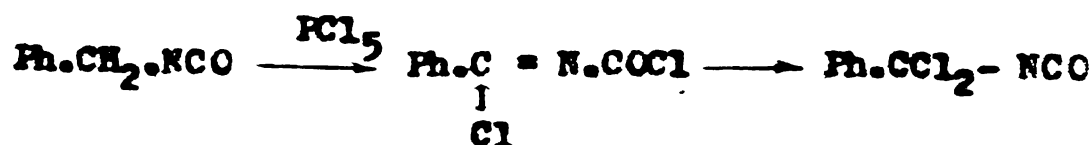
Încercările de a obține cloruri de tio-carbamoil prin reacția izotiocianatilor alifatici cu acid clorhidric nu au dus la rezultatele așteptate. Structura produsului de reacție, determinată pe baza spectrului IR, este probabil amfionică, atât pentru reacția cu acidul clorhidric cât și cu cel bromhidric ⁶³:



decic o structură polarizată a clorurii de tio-carbamoil.

1.1.3. Clorurarea izocianatilor.

Prin acțiunea pentaclorurii de fosfor asupra izocianatilor, în clorbenzen la reflux, 20 - 48 h, raport molar 1 : 1 rezultă produse de reactivitate remarcabilă, intermediari în obținerea unor izocianăti clorurate la carbonul adiacent grupării NCO. Renderentele reacției de clorurare sunt 65-90 %. La clorurarea izocianatilor de benzil



și de benzoil rezultă clorura de α -clor-benziliden-carbamoil, dar la clorurarea altor acil-isocianati rezultă alături de aceasta și isocianat de α,α -dicloro-alchil⁶⁴. Vinil-isocianatul⁶⁵ reacționează cu doi moli de pentaclorură dând un compus pe care se găsează și o structură fosforiu



Clorurarea cu clor gazos a fenil-isocianatului la 40° , în prezența urmator de apă, duce la clorura de p.clor.fenil-carbamil cu rendament de 75 % față de teorie⁶⁶.

Clorurarea isocianajilor elifatici sau aromatici duce la clorura de 3-cloro-iso-tio-carbamoil N-substituită, $\text{R.N}^{\ddagger}\text{C}-\text{Cl}$, cu răndamente cantitative⁶⁷.

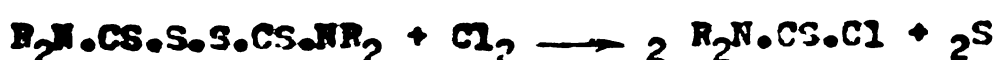
1.1.4. Clorurarea formamidelor și tioformamidelor.

Clorurarea dimetilformamidei cu SCl_2 sau SO_2Cl_2 duce la clorura de N,N -dimetilcarbamoil, iar obținerea clorurii de N,N -dimetil-tioncarbamoil se poate face în mod similar din acțiunea SCl_2 sau S_2Cl_2 asupra dimetil-tioformamidei⁶⁸. Produsele N-monosubstituite nu se pot obține pe această cale datorită trecerii în izocianat. Reacția este general valabilă pentru formamidele și tioformamidele secundare, care se pot halogena cu răndamente foarte bune sub acțiunea unor agenți ca PBr_3 , SOCl_2 , SCl_2 etc.^{69,70}.

1.1.5. Alte metode.

Dă și nu au caracter general, unele metode prezintă deosebită importanță preparativă datorită accesibilității lor.

Clorurarea tetra alchil-tiuram-disulfurilor⁷¹ duce cu răndamente excelente la clorurile de tion-carbamoil corespunzătoare prin introducerea unei cantități echimoleculare de clor în soluția sau topitura de tiuram-disulfură :



Prin clorurarea dialchil-ditiocarbamatului de sodiu în suspensie eterică sub 0° cu perclormetilmercaptan se obține clorura de N,N -dialchil-tion-carbamoil alături de tetraalchil-tiuram-disulfură, amindă secundară și alte produse⁷².

Prin clorurarea trimetilsilil-carbamajilor și -ditio-carbamajilor N,N-disubstituiți, $R_2N.CO.O.SiMe_3$, respectiv $R_2N.CS.SiMe_3$, cu clorură de tioanil sau pentaclorură de fosfor în mișcăre, rezultă clorurile de carbamoil și tio-carbamoil corespunzătoare, cu rendamente cantitative⁷³.

O metodă deosebită este cea de carbonilare a cloraminoelor secundare sau primare cu oxid de carbon în prezența palladiului, diclorurii sale sau triclorurii de rodiu. Cloraminoile secundare reacționează și în absență catalizatorilor dar la $100-250^\circ$ și 275 at.⁷⁴.

1.2. PROPRIETĂȚI FIZICE.

Degi cunoscută de multă vreme proprietățile fizice ale clorurii de carbamoil au fost puțin studiate. Se știe doar că fierbe la $61-62^\circ$, este solubilă în solvenți organici și are mărimea iritantă². Existența unei forme solide cu punct de topire 50° este o ipoteză neverificată mai târziu^{4,5}, degi cristalizează sub 0° . O asemenea lacună este justificată de greutățile întâmpinate în obținerea ei, mai ales prepararea unui produs de puritate rezonabilă acestor tipuri de cercetări; ea se descompune rapid: în două ore la 2° cea mai mare parte din produs trece în clorură de alfanil, clorură de acid biuret-carboxilic, etc. Clorura de carbamoil este stabilă totuși în soluție de clorură de metilen la 0° ⁵, sau ca atare la $-80^\circ C$ ⁴.

Cu excepția punctelor de topire sau de fierbere întâlnite în lucrările tratând sinteza clorurilor de carbamoil și tio-carbamoil substituite, proprietățile fizice ale acestora sunt aproape necunoscute; unele date apar cu total accidental.

Pentru clorura de carbamoil sunt cunoscute datele termodynamice rezultate din calcule teoretice: moment de inerție, căldură specifică la presiunea constantă, entropie standard și potențialul izoterz-izolar, între 300 și 1500° calculate la fiecare 100° ⁷⁵.

Utilizând metoda CLQA-CM s-a calculat frecvența benzii tio-carbonilice din mai multe compuși în vederea corelației cu

coeficientul Hückel pentru orbitalul de energie minimă neocupat π_{NLR}^* . Frevenția tranziției $n-\pi^*$ pentru clorura de N,N-dimetil-tion-carbaroil este de 28.410 cm^{-1} (352 nm)^{76,77}.

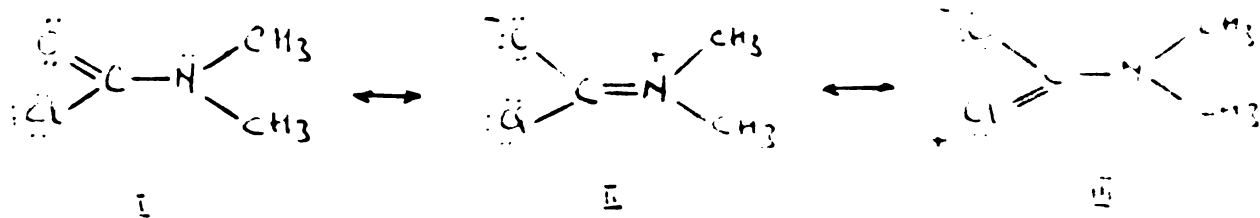
Dacă se amintește de cîteva ori în legătură cu puritatea produselor că s-a determinat spectrul IR, în literatură pentru aceste produse nu se dau spectrele și nu se fac atribuirile de benzi, cu o singură excepție¹⁷⁴.

Pentru clorurile de carbaroil disubstituite se cunosc în mare parte indicii de refracție și densități; pentru cele de tion-carbamoil se cunosc punctele de topire. Există o singură lucrare sistematică care consemnează refracția molară pentru clorura de dimetil-carbamoil⁷⁸.

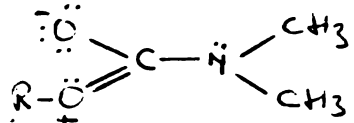
De o deosebită importanță pentru determinarea structurii acestor produse sunt studiile cu privire la bariera energetică la rotație internă în jurul legăturii N-CO, efectuate prin metoda RMN. Produsele studiate sunt clorurile de N,N-dimetil-carbamoil și tioncarbamoil (DMCC respectiv TMCC).

Datorită conjugării caracteristice în amide, legătura N-C are caracter particular de dublă legătură, ducind la împiedecerea liberei rotații în jurul acesteia. Aceasta face ca în spectrul RMN să apară un dublet caracteristic la 3,5 și 3,6 ppm pentru DMCC. La diluarea cu tetrachlorură de carbon sau dibromometan valoarea deplasării chimice scade mult⁷⁹. Dubletul grupării $\text{N}=\text{C}_2$ se datoră neechivalenței celor două grupe metilice. Prin încălzire pînă la temperatură de coalescență dubletul trece în singlet, cele două grupe metilice devinând identice datorită măririi vitezei rotației grupării NMe_2 .

Fără de alte dimetilamide (dimetilacetamide, dimetil-formamide) energia de activare are valori mult mai reduse, dar acordătoare cu valorile întinse la amidele acizilor aromatici sau heterocyclici; în aceste din urmă există posibilitatea conjugării grupării carbonilice atât cu acizul amidie cât și cu radicalul acidului. Valorile reduse ale energiei de activare dovedesc participarea în proporție mai mare a unei结构uri limită III, alături de structura bine cunoscută II în care libera rotație este împiedicată, la structura reală a DMCC⁸⁰. În combinații lichizi,



datorită contribuției mari a structurii IV la starea fundamentală, cele două legături C-O devin aproape identice și în locul dubletului apare quartetul 1:3:3:1, semnalul obținut al grupei N-e₂, deoarece deplasările chimice ale protonilor grupelor metilice sunt aproape egale.⁸¹



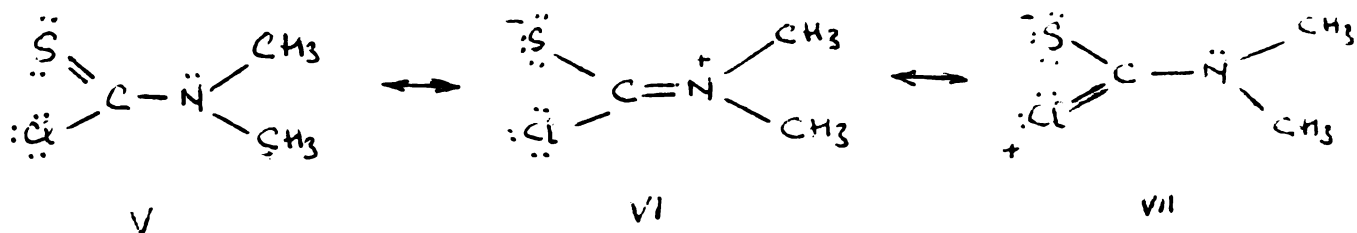
Parametrii de activare pentru rotația internă impiedcată în DTCC s-au determinat prin metodele: separarea picurilor (SP)⁸², raportul intensității maximului/minimul central al dubletului (RI)^{79,82}, esoul de spin (ES)⁸² și analiza completă a liniilor spectrului calculat comparativ cu cel experimental (ATL)⁸³.

Tabelul 1. Parametrii de activare pentru rotația internă impiedcată a DTCC și NTCC.

Corpul	Solventul	E _a Kcal/mol	log A	ΔF ₂₅₀ da	Veto-	Bibl.
DTCC	CCl_4 1,2 mol/l	16,9 [±] 0,5	12,9 [±] 0,4	16,8	ATL	83
		14,0 [±] 0,9	10,9 [±] 0,6	16,6	ES	82
		9,7 [±] 0,5	7,7 [±] 0,4	16,6	RI	82
		8,6 [±] 1,7	6,9 [±] 1,2	16,6	SP	82
		7,3 [±] 0,5	6,1 [±] 0,3	16,4	RI	80
	"	17,7 [±] 0,9	13,8 [±] 0,7	16,3	ATL	83
	CH_2Br_2	6,8 [±] 0,2	5,9 [±] 0,2	16,2	RI	79
		8,6 [±] 0,6	6,0 [±] 0,4	16,6	RI	79
NTCC	CCl_4	19,5	13,2	19	ATL	83
	$\text{C}_6\text{D}_5\text{Br}$	13,7 [±] 0,4	9,4 [±] 0,2	19,1 [±] 0,4	RI	84

Clorura de N,N-dimetil-tion-carbamoil (DTCC) prezintă un spectru RMN în care diferențele între deplasările chimice caracteristice dubletului sunt foarte mici și depind mult de temperatură. Din această cauză determinarea parametrilor energetici și rotației impiedcate a grupei -N-e₂ este mai puțin precisă. S-au determinat totuși parametrii de activare. Bariera de rotație este doar ceva mai înaltă decât în DTCC. În

alte tioamide barierele sunt mai înalte cu 5-11 Kcal/mol. Aceasta se explică prin participarea unei structuri de tipul VII. La înlocuirea oxigenului carbonilic cu sulf diferența de sarcină electrică va fi primită tot de la atomul de clor, astfel încât densitățile electronice ale atomului de azot și ordinul legăturii C-N vor fi puțin afectate.



Determinarea mesei moleculare a D'TCC prin cromatografie duce la valori de 172-180, în loc de 123,6, în soluții de 0,03-0,1 molare. Considerind că în soluțiile diluate D'TCC există doar sub formă de monomer și dimer, înseamnă că 40-45 % din produs este asociat în dimere. Se pare că structura limită VI contribuie cu o pondere mai mare la starea fundamentală a tioamidelor decât structura limită II la cea a acidelor^{83,85}. Astă înseamnă că la D'TCC ne putem aștepta la apariția unor dimere de tip dipol-dipol.

Un calcul al ordinului de legătură π , p_{CN} , în amide și tioamide, efectuat printr-o metodă cu ameliorată, face la concluzia că în D'CC și D'TC ordinul de legătură π al legăturii C-N este mai mare decât în oricare altă dimetil-amidă și respectiv tioamidă, cu o singură excepție. În D'CC $p_{CN} = 0,419$ iar în D'TCC $p_{CN} = 0,452$, valori ce sunt depășite doar cu puțin în dimetilformamidă (0,422) și dimetil-tioformamidă (0,455)⁸⁴. O asemenea distribuție a sarcinii este confirmată și de măsurările de dipolmoment efectuate asupra clorurii și fluorurii de dimetil-carbamoil⁹¹. Bariera energetică pentru clorurile de dietil-carbamoil și -tioan-carbamoil, determinată în $CDCl_3$, este doar cu puțin mai ridicată decât în compuși metilici, iar valoarea energiei libere de activare este mai redusă, adică 15,8 respectiv 18,6 Kcal/mol⁹². În clorura de N,N-difenil-carbamoil la 40° în CCl_4 rotația în jurul legăturii C-N nu este impiedicată, în timp ce la alte difenil-amide apare neechivalență magnetică a celor două grupe fenilice⁸⁶. Această fapt este un rezultat al contribuției unei structuri limite de formă III

pe de o parte și indisponibilității electronilor și azotului pentru mărirea ordinului legăturii C-N centrale. Prin aceeași metodă s-a determinat și bariera la rotația în jurul legăturii N-C_{aril} din clorura de N-benzil, N-(o-metil-fenil)-carbamoil, dar careiese din subiectul acestei prezentări.⁸⁷

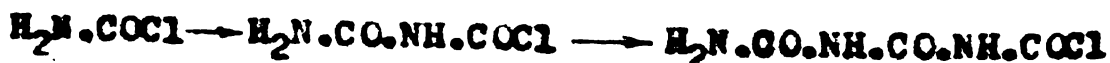
Alte date de spectroscopie NMR întâlnite în literatură că privire la clorurile de carbamoil disubstituite sunt: deplasările chimice ale ¹³C 0-2 ppm⁸⁸, frecvența rezonanței de quadrupol a ³⁵Cl 31,8 la MHz și 31,877 Hz/sec. la clorura de diethylcarbamoil⁸⁹, de asemenea deplasarea chimică a ¹⁴N 270 ppm/⁹⁰.

Structura grupei carbamoil N-CO-Cl a fost elucidată definitiv prin determinarea conformatiei clorurii de N-stil, N-(p-nitro-fenil)-carbamoil în stare solidă prin difracție de raze X. Cu această ocazie s-a găsit că lungimea legăturii centrale C-N este de 1,527 Å, față de 1,52 Å a acestei legături între grupă amidică planară, deci nesemnificativ alungită, în ciuda efectului inductiv al atomului de clor. Aceasta înseamnă că electronii neparticipanți și azotului vor compensa și efectul atrăgător de electroni al clorului. Se observă de asemenea o mică torsionă a grupei amidice în jurul legăturii C-N de 12°, mai semnificativă decât la acetanilidă și fenil-uretan. Acest fapt era de așteptat din cauza interacțiunii celor doi substituenți și azotului cu atomii de oxigen și clor din cealaltă parte a legăturii C-N.⁹³

1.3. PROPIEȚĂȚI CHIMICE

1.3.1. Reactivitatea clorurilor de carbamoil.

Clorura de carbamoil este un compus instabil, extrem de reactiv. Prezența în aceeași moleculă alături de funcția de clorura acidă a grupei aminice, face ca reacția de autocondensare să se producă foarte ușor, rezultând clorura de alocenil, clorura acidului biuret-carboxilic, ciamelidă, etc.^{2,94}:



Reacționează violent cu apa și energetic cu alcoolii și aminele. Prin introducere de substituenți la atomul de azot, rezultă

...//..

produse tot foarte reactive, care dă reacții de autocondensare cu obținerea clorurilor de alefanil N,N'-disubstituite și trece ușor în izocianajă.



Totuși, clorurile de carbamoil se pot păstra mai multă vreme fără degradări evidente.

Disubstituirea atomului de azot face ca posibilitățile de reacție să scadă mult. Clorurile de carbamoil N,N-disubstituite se comportă ca slabii agenți electrofili. Posibilitatea de compensare a sarcinii parțiale pozitive a carbonului carbonilic cu electronii π ai azotului face ca reactivitatea acestor produse, în raport cu cele cloruri acide, să fie mai scăzute⁹⁶. Compararea parametrilor de activare⁹⁷ pentru hidroliza clorurii de acetil, de benzoil, a cloroformiatului de etil și DCC arată o clară diferență în comportarea ultimelor. Se poate evidenția apariția unui ion de carbamoiliu H_2NCO^+ ⁹⁵ și dimetil-carbamoiliu^{97,98}, fapt ce pledează pentru un mecanism SN1 și în reacțiile DCC cu reactanții nucleofili⁹⁷. Totuși, cu aminele alifatici și aminele ciclice se sesizează reacții bimoleculare^{98,99}. Se pare că apariția mecanismului SN1 în hidroliza DCC are o aplicabilitate mai largă în această clasă de compuși, deoarece și clorurile de sulfamoil, $\text{Me}_2\text{N.SO}_2\text{Cl}$, și fosfamoil $(\text{Me}_2\text{N})_2\text{PO.Cl}$, coresponde reacționează după același mecanism¹⁰⁰. Reacția cu azotatul de argint duce la azotatul de dimetil-carbaroil și se supune de asemenea unei cinetici de ordinul 1¹⁰¹ iar N-aceilarea formamidei implică un mecanism similar¹⁰².

Vom trece în revistă în continuare principalele reacții ale clorurilor de carbamoil și tio-carbamoil, conform grupelor funcționale cu care interacționează.

1.3.2. Reacțiiile cu aminele.

ACTIONEA aminelor aromatic asupra clorurii de carbamoil se soldează cu obținerea de urei N-aryl-substituite, reacție energetică ce are loc și la temperaturi scăzute. Clorurile de N-metil- și N-ethyl-carbamoil reacționează în mod similar². Compușii disubstituiți reacționează ușor cu aminele alifatici

...//..

primare, la rece, în soluții eterice 103 . Rândamentele nu sunt totdeauna bune, chiar dacă

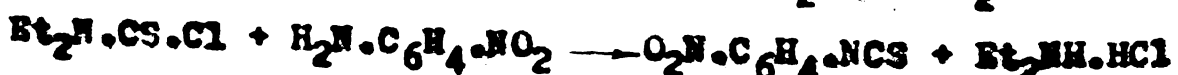
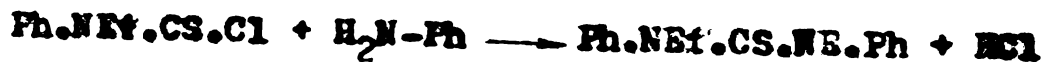


tempul de reacție este scurt: reacția diethylaminei cu clorura de N-etyl, N-fenil-carbamoil dă ureea corespunzătoare doar cu răndament de 12 % 28 . Deși reacția decurge exoterm, dibutil-amine reacționează foarte ~~în condiții considerate~~ energic pentru acilașarea aminelor alifatice 29 . În general însă reacțiile decurg mult mai blind, iar răndamentele depășesc 75 %, chiar și cu clorura de difenil-carbamoil a cărei reactivitate este mult redusă 104 . Studiul reactivității aminelor alifatice cu DCC arată că desfășurarea reacției se supune unei cinetici de ordinul 2 iar constantele de viteză se coreleză conform ecuației Swain-Scott 99 .

Majoritatea aminelor aromatic, de bazicitate mai redusă decât a celor alifatice, reacționează cu clorurile de carbamoil disubstituite în solvent organic (benzen, toluen, xilen, alcool, clorură de metilen) la cald, în prezență de piridină sau trietilenimă sau $NaHCO_3$, cu răndamente ce sting uneori $99\% - 29, 105$. În cazul reacției în prezență piridinei se formează intermediar un compus ionic, clorura de dialchil-carbamoil-piridiin iu, responsabil de reactivitatea nucleofilă a sistemului, a cărui mecanism de reacție pare să fie SN1 indiferent de nucleofil 107 . Altă metodă generală este de a folosi HMP drept solvent, cunoscută fiind activitatea acesteia de a forma un intermediar ionic, instabil, reactiv față de amine 96 ; aminele secundare alifatice cu catenă perfluorurată dau însă răndamente reduse $^{26, 106}$.

Uneori reacțiile au loc și în mediu a pos., în prezență de $NaOH$, cu rezultate bune ca de exemplu: cianamida, hidroxilamina și chiar metil-amina 108 .

Reacțiile clorurilor de tio-carbamoil secundare cu aminale sunt mai complexe, putind rezulta, funcție de condiții și ureea ditiocobiuretul sau isotiocienatul corespunzător $^{51-53, 109}$.



...//...

Cu un raport molar amină/clorură de tio-carbamoil 2:1 și temperaturi de 30-40°, rezultă tiourea și clorhidratul aminei. Dacă însă amestecul de reacție se încălzește la 100° apare în fază următoare izotiocianatul. La un raport molar 1:2 produsul de reacție este mai ales N,N'-dietyl-N,N'',N'''-trifenilditiobiuretul ^{52,53}, care rezultă și din clorura de N-fenil, N-etyl-tio-carbamoil și N-etyl-N'-difenil-tiouree. La 110-130°, în solvent organic, cu aniline substituite în nucleu cu grupe dezactivatoare, rezultă izocianări aromatici cu randamente de 50-50 % ¹⁰⁹. Se pare că reacția implică un mecanism SN2, în care azotul aminic atacă nucleofil carbonul tiocarbonilic. Faza următoare, de obținere a izotiocianatului, necesită un transfer de proton urmată de eliminarea clorhidratului ¹⁰⁹.

1.3.3. Reacțiile cu alcoolii și fenolii.

Prin acțiunea clorurii de carbamoil asupra alcoolilor sau fenolilor, în exces de alcool sau soluție eterică de fenol, printr-o reacție energetică exotermă are loc obținerea carbamatului de alchil sau aril cu randamente adesea cantitative. Folosind un exces de clorură de carbamoil rezultă slofanatul corespunzător ². Clorurile de N-metil- și N-etyl-carbamoil reacționează cu l-naftolul în ligroină și rezultă N-metil- și N-etyl-carbamatul de 1-naftil cu randament de 95 % ¹¹⁰.

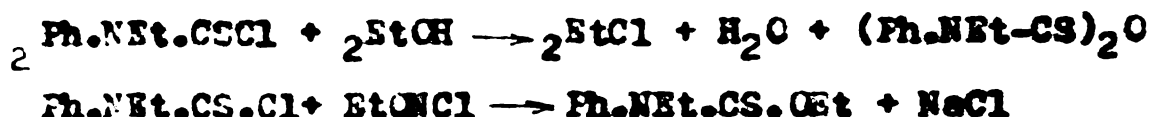
Clorurile de carbamoil secundare reacționează foarte lent cu alcoolii, putindu-se folosi acestia drept solvenți de recristalizare sau chiar medii de reacție în determinările cinetice ale amonolizei ^{99,111,113}. La cald însă reacția are loc uneori cu randamente excelente ^{9,112}:



Se preferă însă folosirea unei amine terțiare (piridina, trietilamina) drept catalizator și acceptor de HCl, într-un solvent organic ca toluenul, piridina, dioxanul sau acetona, cîteva ore la reflux sau cîteva zile la temperatură ambientă ^{21,113}. În aceleasi condiții au loc și reacțiile cu fenolii și naftolii, cu randamente pînă la 90 % ^{19,39,114}.

O metodă generală de obținere a carbamajilor de alchil sau aril N,N-disubstituiți constă în reacția clorurii de carbamoil corespunzătoare cu alcoksizi sau fenoxizii, în solvent organic (alcool, acetonă, toluen, dimetilsulfoxid)^{23,111,115}. Sub 0° reacția cu alcoxidul are loc în mică măsură: clorura de N-metil-N-(β-clor-ethyl)-carbamoil cu N-ediNa în metanol, sub 0°, dă cu răndamente de 65-85% produsul β-alcoxi corespunzător¹¹⁶.

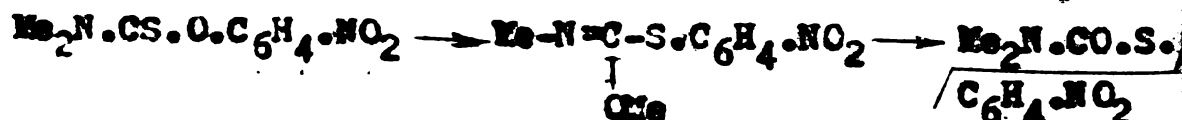
Clorurile de tio-carbamil (secundare se dizolvă în alcooli fără să reacționeze. La încălzire are loc însă o reacție complexă de decompunere și scivolariză, rezultând clorura de dialchil-amoniu, clorura de alchil și o ditiono-anhidridă⁵¹) de dialchil-amoniu, clorura de alchil și o ditiono-anhidridă⁵¹



Cu etoxidul de sodiu în soluție eterică rezultă tiono-carbamul acceptat^{52,117}. Reacția poate lua și un curs neacceptat, de obținere a tioformamidei disubstituite alături de tiono-carbamat și mici cantități de tiuran-monosulfură N,N'-tetra-substituită¹¹⁸:



Printr-o încălzire progresivă cu fenolul pînă la 150°, clorura de N-etyl,N-fenil-tiono-carbamoil dă tionocarbamatul de fenil corespunzător⁵². La reacția cu fenolații rezultă tiono-carbamajii de aril¹²⁰, care însă la 200° se transformă în proporție de 90% în tiolo-carbamajii corespunzător¹¹⁹.



Uneori rezultă doar tiolo-carbamatul. Se pare că reacția de conversie tiono-tiolo are loc prin intermediul unui imino-tio-carbonat, din care cauză clorurile de tiono-carbamoil N-mono-substituite nu prezintă o asemenea comportare^{119,121}.

1.3.4. Reacții de acilare Friedel-Crafts.

Clorura de carbamoil în prezență clorurii de aluminiu anhidre reacționează cu hidrocarburile aromatiche în sulfură de carbon la 50-60° pentru a da amidele corespunzătoare



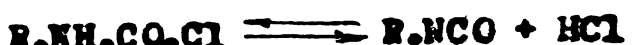
metoda a fost introdusă de Gattermann² și aplicată inițial la nu mai puțin de 31 de substraturi aromatice. Ulterior el a simplificat metoda, formind clorura de carbamoil direct în mediul de reacție din acid cianic și clorhidric, și a aplicat-o asupra altor hidrocarburi și eteri fenolici^{57,58}. Metoda se cunoaște astăzi în literatură sub denumirea de "sinteză Gattermann a amidelor" și i s-a consecrat un capitol în monumentala monografie asupra reacției Friedel-Crafts¹²². Sinteză este însă inconvenientă pentru lucrări uzuale din cauza instabilității termice a clorurii de carbamoil. Această dificultate a fost depășită de Hopff, care a stabilizat-o sub forma complexului cu clorura de aluminiu, $\text{H}_2\text{NCOCl} \cdot \text{AlCl}_3$, stabil și în timp și la temperaturi înalte¹²³. Metoda astfel modificată a fost aplicată în reacțiiile cu un mare număr de hidrocarburi aromatice, cu randamente de 85-95 %^{4,124}. Reacția s-a aplicat ulterior asupra tiofenului, hexaetilbenzenului, hexadentro benzenului, polistirenului și hexametilbifenilului cu aceleși rezultate foarte bune¹²⁵. Procesul și-a găsit chiar o aplicare industrială, în fabricarea acidului tereftalic din toluen^{5,126}.

Datorită tendinței de a trece în izocianat, clorurile de carbamoil N-monosubstituite se prezintă mai puțin la această reacție, deși există o indicație în acest sens¹²⁷.

Stabilitatea termică bună face ca clorurile de carbamoil disubstituite să se prezinte acestui tip de reacții. DCC acilează difenilul, difenil-oxidul și difenil sulfona în une sau ambele poziții para¹²⁸. Clorura de difenil-carbamoil acilează ușor hidrocarburile benzenoide, dinu difenil-amidele corespunzătoare¹²⁹, iar clorura de N-fenil, N-metil-carbamoil acilează de asemenea hidrocarburi și eteri fenolici¹³⁰. Reacția se poate folosi și pentru închidere de cicluri prin autoacilare: clorura de dibenzil-carbamoil, în benzen, în prezență clorurii de aluminiu duse exclusiv la 2-benzileftalimidină¹³¹.

1.3.5. Reacții de obținere a izocianatilor.

La determinarea masei moleculare a clorurii de N-metil și N-ethyl-carbamoil, prin metoda presiunii de vapori, s-a constatat că, la cald, acestea se descompun cu formare de acid clorhidric și izocianat, iar la rece se retranșformă în produsul inițial²:



Metoda industrială de obținere a izocianatilor din amine și fosgen are ca intermedier clorura de N-alchil sau N-aryl-carbamoil. Aceasta nu se separă, ci se trece într-o singură etapă în izocianat. Rendamentele de transformare ating 97 %, iar puretatea produselor 98 %¹³². Alături de izocianat se mai poate obține și ureea N,N'-disubstituită¹⁴. Reacția are loc la 140-160°, în prezență de acizi Lewis, în fază gazosă sau în solvent organic cu punct de fierbere înalt, în prezență amoniac terțiare¹³³.

Reacția este similară pentru clorurile de carbamoil secundare, cind la 150-160° cu eliminarea de clorură de alchil are loc trecerea în izocianat²² cu rendamente de 84 %. Această reacție



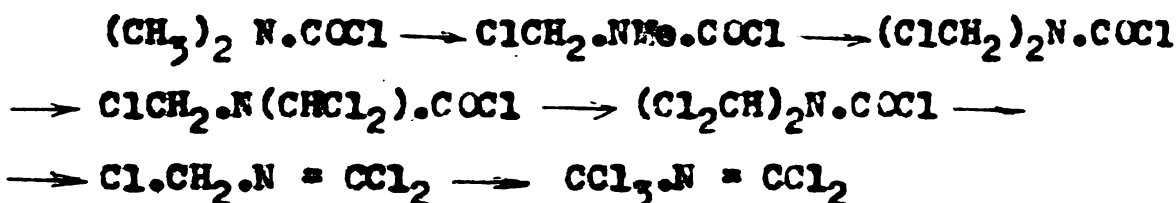
de piroliză decurge ușor în solvenți polari cind R'=t-Bu¹³⁴. Rezultatele sunt ameliorate și condițiile de lucru devin mai blînde la folosirea drept catalizator a clorurilor metalice¹³⁵.

Dehidroclorurarea clorurilor de N-aryl-carbamoil a fost studiată cinetică datorită importanței industriale. La simplă încălzire în solvent organic eliminarea acidului clorhidric urmărește o cinetică de ordinul 1, viteză de reacție crescând în solvenți mai polari¹³⁶. Parametrii termodinamici ai sistemului său sunt: energia de activare 13-14 Kcal/mol, entropia de activare + 31 cal/grad¹³⁷. Din comportarea clorurilor de alfanil la dehidroclorurare¹³⁸ și studiul acțiunii solventului asupra vitezei de reacție¹³⁹ se propune un mecanism. Se pare că reacția are loc prin eliminarea inițială a protonului sub acțiunea aminei terțiare atunci cind nucleul arilic este substituit cu o grupă respingătoare de electroni, sau printr-o eliminare concertată a protonului și ionului clorură, analog unui mecanism E2, cind nucleul conține grupe atrăgătoare de electroni¹⁴⁰.

...//...

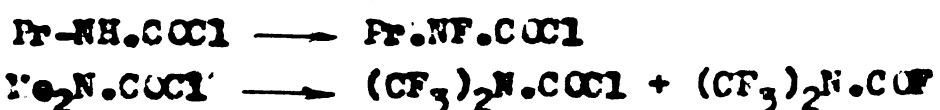
1.3.6. Reacții de halogenare.

Clorurile de N,N-dialchil-carbamoil se clorurează cu clor gazos în lanțul alifatic. Clorurarea are loc în trepte, obținind pe rând toți produgii posibili de clorurare. Clorurarea la 140° a DCC duce la un amestec de produse în care predomină derivații N-metil,N-clorometil- și N,N-diclorometil slături de produsul inițial și policlorurat¹⁴¹. Sub acțiunea radiațiilor UV, la 140° , produsul majoritar este cel N,N-di-(clorometil)-, care clorurat la 180° , elimină fogen pentru a da clorometil-diclor-isocnitril, iar acesta la 200° se clorurează la triclorometil-diclor-isocnitril cu randamente foarte bune. Eliminarea fogenului are loc și în fază gazosă în contact cu cărbunele activi¹⁴².



Primele două etape de clorurare se pot realiza și cu clorura de sulfuri în prezența paroxidului de benzoil¹⁴¹. Prin clorurarea clorurii de dietil- sau di(β -cloroetil)-carbamoil la 180° , rezultă cu randament foarte bun produsul cu catena perclorurată. Alte cloruri de dialchil carbamoil dă de asemenea amestecuri de produse¹⁴¹.

Tratarea cu floră a clorurilor de alchil-carbamoil la -78° duce la o N-florurare. Această reacție se pare că degurge prin intermediul unei C-florurări a lanțului alifatic, urmată de transpoziția la azot¹⁴³. Clorurile de carbamoil secundare se florurează doar în catenă¹⁴¹. Prin florurarea electrochimică a DCC rezultă,

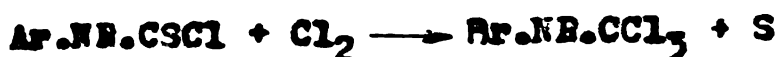


funcție de concentrație acesteia în electrolit, diverse amestecuri de clorură și florură de di(trifluor-metil)carbamoil¹⁴⁴.

Tratarea cu clor gazos la temperatură camerei a clorurii de dietil-tion-carbamoil disolvată în tetrachlorură de carbon, dășe la un produs perclorurat, Et₂NCSCl·Cl₂, care cedează ușor clorul, reformind produsul inițial. Se folosește drept

agent de clorurare în obținerea clorurilor de dialchil-tion-carbamoil din tetraalkil-tiurom-disulfuri ¹⁴⁵.

Clorurarea cu clor găsos în solvent organic la 0-50° a clorurilor de N-aryl-N-alkil-carbamoil distrugă grupele N-CSCl, cu eliminarea sulfului și formarea unei grupe triclorometil, proces ce are loc cu răndament de 90% ⁵⁶.



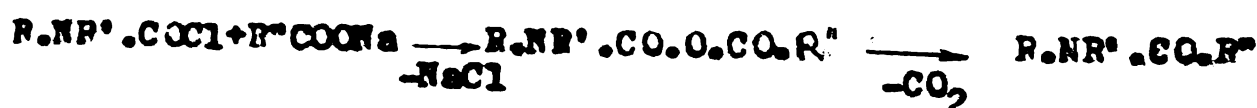
1.3.7. Alte reacții.

În acest subcapitol se vor introduce reacțiile clorurilor de carbamoil și tion-carbamoil cu alte funcții organice decit cele prezentate, piroliza și unele reacții cu compuși anorganici și organometalici.

Reacția clorurilor de dialchil-carbamoil cu unele aldehide și cetonă duce la formarea de dialchil-carbamăți de alchini cu răndamente de 25-50%, prin simpla încălzire la 160° a celor doi reactanți. Unii carbamăți se decarboxilează în aceste condiții introducind grupa dialchil-amino în locul oxigenului carbonilic. Reacția decurge foarte ușor în prezența t-butoxidului de potasiu ¹⁴⁶:



Reacția cu acizii carboxilici duce la amide. Se poate ușor imagina, ca etapă intermedieră, formarea unei anhidrii de mixte, care apoi se decarboxilează. Anhidrida se poate pune în evidență pentru acidul antranilic ¹⁴⁷ și pentru acizii N-aryl,N-alkil-carbamici ¹⁴⁸. Cu acizii sau sărurile lor reacția are loc la 150-160° și rezultă direct amidele ^{11,149}:

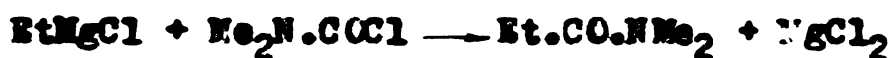


Carbonamidele și sulfonamidele sodate reacționează foarte ușor cu clorurile de carbamoil, pentru a da N-alkil-ureile corespunzătoare ¹⁵⁰, iar anhidridele dă N-alkil-imidele acizilor dicarboxilici ¹⁵¹.

Tiofenul și pirolul se pot carbonarida în poziția 2 cu clorură de carbamoil la 20° cu randament de 20 %¹⁵². Alte hidrocarburi conținând hidrogen ușor protonabil reacționează cu DFCC după o preșalabilă metalare cu sodiu sau BuLi, cind rezultă dimetil-amidele corespunzătoare. Uniți heterociclii în condiții identice dau cetone: din benziazol rezultă di(2-benziazolil)cetonă¹⁵³.



Compusii organo-magnezieni ai hidrocarburilor alifatice reacționează ușor dind dialchilamide cu randamente bune, cei ai hidrocarburilor aromatici dau direct acizii, iar cei provenind de la clorometil-trialchil-silani dau amide cu randamente scăzute sau nu reacționează¹⁵⁴.



Așa că clorura de carbamoil cît și derivații ei disubstituiri reacționează în mediu etanolic cu mercaptanii, tiofenoli sau cu grupele tiocarbonilice din oxadiazol-tionă cu formarea de tiolo-carbamăți^{104,155}. Reacționează de asemenea cu grupele aminice și iminice din: cianamidă¹⁰⁸, pirazol, piroolidină, hidroxilemină, hidrezină, etc.^{3,108,156}.

Clorurile de difenil-carbamoil și cele fenil-substituite acționează asupra unor sisteme enzimatici ca inhibitori cholinesterazici, blocând tripsina și chimotripsina din nucleotidul trifosfopirimidinic prin acilară¹⁵⁷.

Clorura de carbamoil și prolusele N-mono- și disubstituite reacționează cu acizii Lewis, dind complexe moleculari 1:1 stabili, halogenura metalică fixându-se la oxigenul carbonilic^{123,124,158}.

Acidul azotic la 0° , în anhidridă trifloracetată scindează clorurile de dialchilcarbamoil la dialchil-nitr-amine, cu randamente de 42 %¹⁵⁹.

Reacția cu rodonura și azida de sodiu duce la izotiocianate și respectiv azidă de carbamoil N,N-disubstituiri, utile pentru închideri de cicluri oxatiazolice și indazolice^{27,160}.

Clorurile de tio-carbamoil disubstituite se utilizează mult mai puțin în sintezele complexe. În toate cazurile este vorba de închideri de heterociclii: benzoxazinic, chinolinic, tiazolic sau tiazinic¹⁶¹.

2. PREZENTAREA REZULTATELOR PROPRII

Lucrările prezentei teze s-au desfășurat în trei direcții, și anume: sinteza unor produse, caracterizarea lor prin spectroscopie IR și determinarea reactivității, direcții ce corespund capitolelor ce urmează :

2.1. Sinteza produselor studiate.

2.1.1. Prepararea clorurilor de N,N-dialchil-carbamoil ¹⁶².

S-au preparat șapte produse din această serie. În continuare aceste produse vor fi denumite prescurtat, conform denumirii științifice din limba engleză sau germană, prescurturi folosite astăzi în literatură. Produsele obținute sunt următoarele :

Clorura de N,N-dimetil-carbamoil (NCC) : $\text{Fe}_2\text{N.CO.Cl}$

Clorura de N,N-diethyl-carbamoil (DECC) : $\text{Et}_2\text{N.CO.Cl}$

Clorura de N,N-dipropil-carbamoil (DPCC) : $\text{Pr}_2\text{N.CO.Cl}$

Clorura de N,N-diisopropil-carbamoil (DiPCC) : $\text{i-Pr}_2\text{N.CO.Cl}$

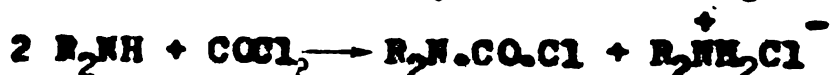
Clorura de N,N-dibutil-carbamoil (DBCC) : $\text{Bu}_2\text{N.CO.Cl}$

Clorura de N,N-pentametilen-carbamoil

sau N-clorocarbonil-piperidină (5RCC) : $(\text{CH}_2)_5\text{N.CO.Cl}$

N-clorocarbonil-morfolină (MRC) : $\text{O}(\text{C}_2\text{H}_4)_2\text{N.CO.Cl}$

Metoda de preparare folosită a fost cea a fosgenării aminelor alifatici secundare în soluție de benzen sau toluen, după Nichler și Escherich ⁷, conform reacției :



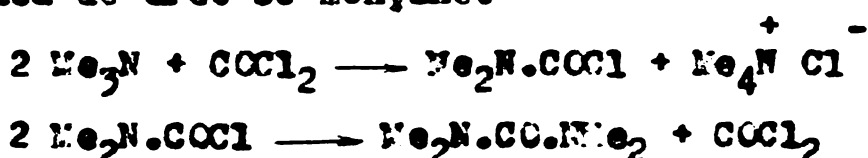
Reacția este puternic exotermă; s-a lucrat la temperaturi de -5° - $+5^\circ$. Se preferă soluția toluenică deoarece benzenul se solidifică la $+2^\circ$ cu degajarea abundentă a fosgenului conținut. În soluția toluenică de fosgen, răcită sub 0° , s-a picurat sub agitare soluția toluenică de amindă secundară, s-a menținut 3-4 ore la 0° , apoi s-a adus la fierbere pentru eliminarea excesului de fosgen. Se filtrează clorhidratul aminei iar solventul se evaporează în vid. Produsele se purifică prin distilare fracionată în vid.

Reacția secundară nedorită este formarea tetraalchilureii, care apare la rapoarte molare amină/fosgen mai mari de 2. Primele sinteze ale D'CC s-au făcut folosind un raport molar teoretic de 2, cind s-a putut evidenția ușor prin spectroscopie IR și cromatografie gazosă cantități de pînă la 15 % tetrametil-uree.



Cum aceasta complica mult purificarea produselor s-a lucrat cu 100 % exces de fosgen, raport molar 1. În aceste condiții cantitatea de tetrametil-uree, determinată spectroscopic la 1643 cm^{-1} s-a scăzut sub limita sensibilității spectrografenului. În D'CC s-a rămas 0,8-1,2 % tetrametil-uree, determinată printr-o cromatografie gazosă, în ciuda fracționărilor repetate. S-ar putea ca aceste cantități să apară în procesul de fracționare datorită încălzirii evanșate a balonului de distilare. Un caz similar de preparare a unei tetraalchilurei necesită doar $60^\circ 14$.

În încercarea de eliminare a tetrametilureii prin sinteză s-a preparat D'CC din trimetil-amină și fosgen, raport molar 1,8. Chiar și în aceste condiții, cind reacția de formare a tetrametilureii din D'CC și amină este puțin probabilă, cantitatea de uree se menține.



Se se datorează probabil pirolizei D'CC în perioada de eliminare a fosgenului sau fracționării.

Sintiza celorlalte produse s-a făcut utilizând un raport molar de 1,03 - 1,15, cind produsele s-au dovedit spectroscopic libere de tetraalchil-uree, cu excepția FCC la care fracționarea a durat mai mult. Probabil prin fracționarea unei cantități mai mari de produs la un vid mai avansat puritatea produselor se îmbunătățește.

Rândamentele față de amină sunt de 41-61 %, față de rândamentul teoretic de 50 % (raport stoichiometric 1:2). Rândamentele cele mai bune se obțin la D'CC și FCC unde s-a lucrat cu cantități mai mari. În două cazuri rândamentul este mai mare decât cel teoretic. Aceasta se explică prin reacția exo-

sului de fosgen cu clorhidratul aminei, la cald, în perioada de refluxare a masei de reacție pentru eliminarea fosgenului. În cazul IBCC, la terminarea eliminării fosgenului soluția mirosesc a acid clorhidric, iar cantitatea de clorhidrat solid din masa de reacție a scăzut și mai mult. De altfel, se cunoaște o reacție de fosgenare a clorhidratului n-butil, t-butil-amini în toluen la reflux ¹³⁴. O altă explicație ar fi disocierea termică a clorhidratului la amina liberă care să reacționeze cu fosgenul. Rendamentele sunt date în tabelul 2.

Clorurile de N,N-dialchil-carbamidă preparate sunt lichide incolore, care în timp se colorează în galben; DIFCC este un solid alb, cristalizat acicular, care în spropierea punctului de topire trece în plăcuțe rombice. Toate produsele au un miros aromat caracteristic, sunt solubile în benzene, toluen, eter, alcoolii, acetona, dimetil-formamidă, ciclohexană și acid formic; sunt insolubile în apă. Sunt solvenți polari, dizolvă clorhydratele aminelor din care rezultă, poli-clorura de vinil, polistirenul, nitroceluloza, difenil, clorura de aluminiu anhidră, aminoconchinonele, având proprietăți de solubilizare asemănătoare dimetilformamidei. Punctele de fierbere, indicii de refracție și conținutul de clor ale produselor obținute sunt date în tabelul 2.

**Datoul 2. Răndamentele și proprietățile clorurilor
de N,N-dialchil-carbonyli preparate**

Producător	Pord.	Functia filtrului	Prep.	Litiera-	Prep.	Litiera-	Prep.	Litiera-	Conc. de clor %	Ref.
WCC	47	65°/17 torr	67°/20 torr	1,4559	1,4530	53,02	32,95	73		
WCC	42	68°/9 torr	72°/13 torr	1,4513	1,4511	26,20	26,63	75		
WCC	51,1	100°/12 torr	100-104°/21 torr	1,4541	-	21,71	22,16	165		
WCC	41	88°/12 torr	P.0.12570	-	21,71	22,44	-			
WCC	61	127°/13 torr	144-15°/13 torr	1,4570	1,4571	18,54	19,06	20		
WCC	47	108°/14 torr	108°/14 torr	1,4960	1,4950	24,07	25,11	73		
WCC	42,5	110°/8 torr	108-111°/9 torr	1,5002	-	25,75	24,39	73		

2.1.2. Prepararea N,N'-tetrealchil-tiuram-disulfurilor¹⁶⁴.

Prințele N,N'-tetrealchil-tiuram-disulfuri au fost preparate în 1902 de von Braun prin oxidarea dialchil-ditiocarbamăilor de dialchilaroniu cu iod în mediu de metanol la reflux¹⁶⁵, conform reacției :



În locul iodului s-a mai utilizat o sulfoclorură, care se reduce pînă la acidul sulfinic corespunzător. Rândamentele de oxidare ating 80 % pentru R=Me¹⁶⁶. Mai tîrziu acesti compuși s-au obținut prin oxidarea dialchilditiocarbamăilor alcălini cu diverse agenți de oxidare¹⁶⁷: perhidrol, clor, hipoclorit, persulfat, aer, fericiamură, oxizi de azot, etc. Majoritatea indicațiilor de literatură se referă la compusul R=Me; literatura este săracă în date referitoare la generalizarea sintezei.

Tetrametil-tiuram-disulfura se cunoaște sub denumirea comercială de "Thiuram" sau "Vulcxit T" ca ultrasaccelerator de vulcanizare a cauciucului, inițiator de polimerizare¹⁶⁸, sau "Powersol" fungicid pentru protecția nerilor¹⁶⁹. Tetraetil-derivatul este cunoscut sub denumirea de "Antabus" sau "Antelcool" și are unele proprietăți terapeutice¹⁷⁰, celelalte compuși avind mai alea calități ca ultrasacceleratori de vulcanizare¹⁶⁸.

În continuare, pentru tetrachil-tiuram-disulfuri se vor face denumirile presecurtate, conform terminologiei standard folosite în literatură de specialitate :

- N,N'-Tetrametil-tiuram-disulfură (TTD) : (Me₂N.CS.S)₂
- N,N'-Tetraetil-tiuram-disulfură (TETD) : (Et₂N.CS.S)₂
- N,N'-Tetrapropil-tiuram-disulfură (TPTD) : (Pr₂N.CS.S)₂
- N,N'-Tetraisopropil-tiuram-disulfură (TIPID) : (iPr₂N.CS.S)₂
- N,N'-Di(pentametilen)tiuram-disulfură (DPTD) : (CH₂)₅N.CS.S₂
- N,N'-Dirorfolinil-tiuram-disulfură (RPTD) : (OCH₂)₂N.CS.S₂

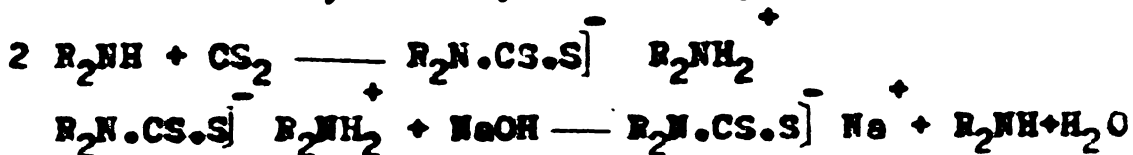
2.1.2.1. Prepararea N,N-dialchil-ditio-carbamajilor de sodiu.

Prepararea s-a făcut după metoda generală de obținere a ditiocarbamajilor din amindă, sulfură de carbon și NaOH sau Na_2CO_3 , conform reacției generale



Reacția are loc în mediu apic. Amina secundară și sulfura de carbon se arată cu apa și la temperaturi în jur de 0° se introduce treptat soluția de NaOH; reactanții sunt în rapoarte aproape stoichiometrice. Dacă se folosește carbonatul de sodiu, reagentul final este sulfura de carbon, și cum să se lucreze în reacția cu piperidină și morfolină. Fondamentul în dialchil-ditiocarbamat este aproape cantitativ față de amindă. Reacția este puternic exotermă pentru aminele mai bazeice și ușor solubile în apă (Pr, Et). Pentru morfolină, mai puțin bazică și mai puțin solubilă în apă reacția este slab exotermă; de asemenea la folosirea carbonatului de sodiu. Soluția de ditiocarbamat obținută este transparentă, incoloră, uneori slab galbenă, cu miros neplăcut caracteristic, miros ce nu spargine nici sulfurii de carbon, nici aminei secundare. Dacă se utilizează apă industrială, în soluție apare o suspensie foarte fină, în cantități extrem de reduse, de culoare brună, de dialchil-ditiocarbamat de fier, care trebuie filtrat.

Pentru dimetil- și diethyl-amină reacția implică și un dublu schimb, decarece inițial se formează dialchil ditiocarbamatul de dialchilamoniu, care apoi este deplasat de NaOH :



Este necesar un mic exces de NaOH, din care cauză soluțiile ditiocarbamajilor rămân puternic alcalez. $\text{pH} = 11-12$. Reacția se conduce astfel ca final să nu mai rămână amindă liberă. Solubilitatea sării de dialchil-amoniu este mult redusă decit a sărurilor de sodiu și în condițiile de lucru în soluție concentrată de ditiocarbamat se obține o suspensie de sare de dialchil-amoniu. Reacția trebuie să continue pînă cînd aceasta dispără. Aminele puțin solubile în apă (dipropil-amina, piperidina, morfolina) reacționează mai lent, și atunci nu se obține nici sulfura

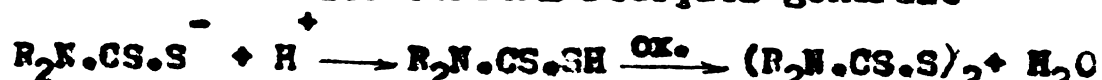
de carbon nu se solvă. În mediul de reacție sulfura de carbon există sub formă de suspensie nestabilizată și la o agitare mai puțin eficace cantitatea nereacționată se depune la fundul vasului. Solubilitatea ditiocarbamajilor derivați de la piperidină și morfolină este mai mică decât a derivatilor cu catenă scurtă ($\text{Et}_2\text{N}, \text{Et}$), și la păstrarea soluțiilor concentrante peste noapte la rece, are loc o cristalizare în masă, fenomen evitat ușor prin mărirea diluției.

Prepararea ditiocarbamajilor în stare solidă, necesari studiilor fizico-chimice sau analizelor s-a făcut prin utilizarea unor soluții concentrate (50-60%) care la răcire la -5° cristalizează abundent. Purificarea s-a făcut prin spălare cu eter și recristalizare din etanol.

Studiul termogravimetric a Ve_2NCSSNa recristalizat a arătat că el conține 2 moli de apă de cristalizare. În soluție apă este prezentă trei maxime de absorbție în UV : 256, 282 și 350 nm, ultimul de extincție mică. Primele două s-au folosit pentru determinarea cantitativă a concentrațiilor dimetil-ditiocarbamatului de sodiu.

2.1.2.2. Oxidarea N,N -dialchil-ditiocarbamajilor de sodiu 164.

Procesul are loc conform reacției generale



Campusul care se oxidează efectiv se pare că este acidul dialchil-ditiocarbamic. Deoarece cei mai mulți agenți de oxidare acționează în mediul acid, alături de oxidare apare reacție secundară de decompunere a acidului dialchil-ditiocarbamic în cataliză scidă :

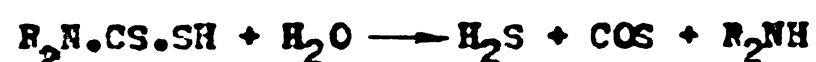


Viteza reacției de decompunere depinde în primul rînd de aciditatea mediului. În cazul obținerii b5MTD, scăderea p_{H} -ului de la 6,41 la 4,32 mărește de aproximativ 100 ori viteza reacției de decompunere a ditiocarbamatului ¹⁷¹. La obținerea TETD s-a constatat că p_{H} -ul limită este 5, sub această valoare ionul dietilditiocarbamat se decompune foarte rapid, iar ob-

ținerea TETD prin oxidarea sa devine ineficientă. Prin acidulare foarte lentă a unei soluții de dietil-ditio carbamat de sodiu de 20 %, cu acid sulfuric 2 %, la $-5 - 0^{\circ}$, la $p_H = 5$ începe separarea picăturilor de sulfură de carbon. Alți factori ce favorizează descompunerea sănătăresc temperaturii și scădereea constantă dielectrică a mediului de reacție¹⁷⁴.

In cadrul experimentelor se constată că cel mai stabil la descompunere în mediu acid este anionul de dimetil-ditio carbamat, iar cel mai sensibil cel de dietil-ditio carbamat.

Încercările de neutralizarea alcalinității datorată excesului de NaOH sau Na_2CO_3 au eguat. La introducerea acidului sulfuric de 5 % și chiar 2 %, la 0°C , sub agitare continuă, în soluția de dimetil-sau dietil-ditio carbamat duc la obținerea temporară a unui produs insolubil alb, care se redizeolvă în soluția apăsă după aprox. un minut cu degajare de H_2S . Introducerea acidului clorhidric are aceleși rezultate. La partea inferioară a vasului decantează sulfura de carbon. Dacă acidularea este mai rapidă apare un precipitat alb buretos din care se degajă H_2S și un alt gaz cu miros întepător, probabil oxisulfura de carbon, precipitat ce dispără la agitare cu decantare de sulfură de carbon. Precipitatul alb poate fi acidul dialchil-ditio carbamic liber, puțin stabil. Probabil că la p_H scăzut slături de posibilitatea de descompunere prezentați în reacția anterioară apare și o alta



O încercare de reducere a alcalinității prin barbotare de bicarbonat de carbon la 0° pînă la $p_H = 7,5$ descompune aproape complet diisopropil-ditio carbamatul de sodiu din soluție, astfel încît la oxidare nu rezultă de loc tiuram-disulfură.

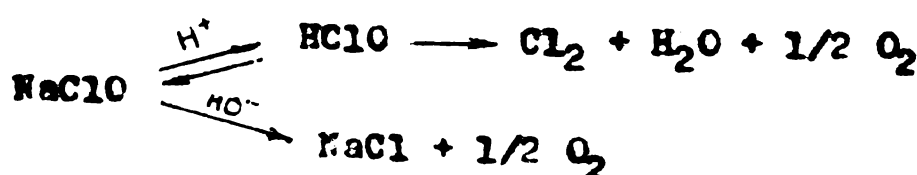
Pentru evitarea descompunerii este necesar ca oxidarea să se facă în mediu slab alcalin. În acest mediu dialchil-ditio carbamatul este stabil, iar descompunerea acidului dialchil-ditio carbamic, eventual format, este relativ redusă. Pentru reducerea vitezei reacțiilor de descompunere trebuie luerat la temperatură scăzută, chiar dacă și reacția principelă devine mai lentă. Agenții de oxidare utili în aceste condiții sunt perhidrolul, hipocloritul, fericianura și halogenii. Oxidarea cu acești agenții a dimetil-ditio carbamatului de sodiu este deja

cunoscută. Verificarea valabilității unui agent de oxidare util pentru întreaga serie de dialchil-ditiocarbamăți s-a făcut folosindu-se cel mai sensibil anion : distil-ditiocarbamatul.

Introducerea unei picături de brom sau a apei de brom în soluția de distil-ditiocarbamat a dus la obținerea unui produs ceros de culoare galben-cranje, cu p.t. 45-50°. Utilizarea clorului gazos a dus de asemenea la un produs galben, spugnos cu p.t. 52-56°, cu miros puternic de hidrogen sulfurat. În ciuda tamponării repetitive a acidității rezultate la barbotarea clorului în soluție aproape cu o soluție NaOH 20%, decompunerea a 56% din distil-ditiocarbamat nu a putut fi evitată. Iodul și fericianura rămân niste reactivi scumpi, iodul prezintând și dezavantajul că necesită soluții alcoolice de reacțanții. Desigur că fericianura rămâne oxidantul ideal în mediul alcalin, dar nu a fost disponibilă în cantitățile necesare.

Încercările de oxidare cu perhidrol la p_H final 9 nu au dus la rezultate acceptabile. La introducerea soluției de distil-ditiocarbamat în soluția acidă de perhidrol la 0° rezultă un produs baretos cu p.t. 53-59°, ce degajă mult hidrogen sulfurat și în procesul de uscare. Rendamentul este doar 44%. Introducerea oxidantului în soluția alcalină de ditiocarbamat se soldează cu decompunerea violentă a perhidrolului, iar la tamponarea alcalinității (ce provoacă decompunerea) cu acid sulfuric diluat se pierde ditiocarbamat.

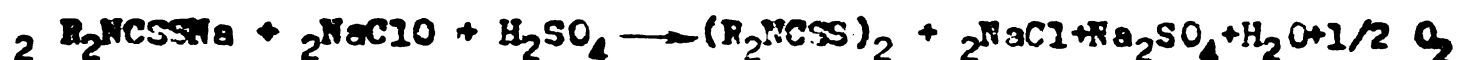
Hipocloritul de sodiu este stabil în mediul alcalin la rece. În soluțiile de hipoclorit de sodiu tehnic există 0,05-0,5% NaOH pentru stabilizare, de aceea p_H -ul soluțiilor de hipoclorit concentrat este peste 10. Decompunerea hipocloritului în mediul acid duce la degajare de clor, iar în mediul alcalin la eliberare de oxigen. Sub $p_H = 8$



hipoclоритul se decompune, iar peste $p_H = 9$ este un oxidant slab.

Oxidarea dialchil-ditiocarbamatelor de sodiu s-a făcut cu soluție de hipoclorit de sodiu tehnic de cca 150 g/activ/l la temperatura de 0° și $p_H = 8 - 9$, prin neutralizare...//...

alcalinității hipocloritului și ditiocarbamatului cu o soluție de acid sulfuric 10 %. Cantitatea de hipoclorit este determinată de pH-ul la care se face oxidarea. Introducerea oxigenantului se face pînă la dispariția ionului dialchil-ditiocarbamat (cu ionul cupric rezultă o colorație brună caracteristică). Lucrînd cu o hîrtie impregnată cu soluție de sulfat de cupru 1 % sensibilitatea reacției este asigurată pînă la concentrații de ditiocarbamat de 10 mg/l. Stoichiometria procesului nu este respectată exact. Considerăm că reacția de oxidare are loc după următoarea schemă :



Se vede că la un mol dialchilditiocarbamat corespunde un atom gram de cloractiv. Cantitatea consumată real este însă aproape dublă din cauza descompunerii hipocloritului după : $NaClO \longrightarrow NaCl + 1/2 O_2$. Oxigenul rezultat nu este un oxidant efectiv în acest proces. La introducerea acidului sulfuric apare o reacție locală de obținere și apoi descompunere a acidului hipocloros: $HClO \longrightarrow HCl + 1/2 O_2$, cu același efect de mîrire a consumului specific de oxidant.

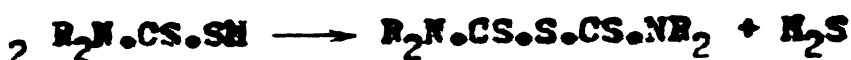
Cantitatea de acid sulfuric necesară este cu 50 % mai mare decît cea prevăzută de stoichiometrie, și este justificată de formarea și descompunerea acidului hipocloros, reacție secundară nedorită dar greu de evitat.

Dări se lucrează în mediu alcalin și la temperatură scăzută, reacția de descompunere a dialchil-ditiocarbamajilor are loc local la introducerea acidului sulfuric. Formarea aminelor secundare este evidențiată de apariția mirosului caracteristic de cloramină, produs ce rezultă ușor din aminele secundare și hipoclorit în mediu alcalin 172 . În sinteza TiPTD s-a putut chiar separa clorammina corespunzătoare, sub formă unui ulei galben, cu tensiune de vaporii mare, iritant, cu miros caracteristic și densitate mai mică decît a soluției. Existența reacțiilor concurente de descompunere a dialchilditiocarbamajilor și de formare a cloraminelor secundare face ca, în cazul unei desfășurări defectuoase a reacției, la scădere a pH-ului sub 7, produsul de reacție, tiuram-disulfura, să se aglomereze sub formă de pastă sau clei prin înglobarea aminei secundare, a cloraminei corespunzătoare și a sulfurii de carbon. Deoarece produsul cleios se lasă cîteva minute la tempera-

tura camerei la uscat, devine un solid friabil, datorită evaporației acestor componente volatile.

Rendamentele de reacție sunt 55-70 %, cu excepția TTD unde rendamentul este 85 %. Acest fapt este justificat de relativă stabilitate în mediu acid a dimetil-ditiocarbamatu lui.

Punctele de topire ale produselor brute sunt de obicei scăzute datorită impurificării cu tetraalchil-tiuram-monosulfură. Aceasta este principala impuritate din produsele brute, și apare conform reacției :



Eliminarea acesteia se face greoi, și în 3-5 recristalizări din etanol sau metanol, pînă la punct de topire constant.

Tetraalchiltiuram-disulfurile sunt solide cu punct de topire scăzut față de greutatea moleculară, albe sau gălbuie, solubile în cloroform, toluen, benzen, mai puțin solubile în tetraclorură de carbon, solubile la cald în metanol și etanol. Proprietățile fizice sunt date în tabelul 3. Produsele s-au caracterizat prin punctul de topire, conținutul de sulf și spectrele IR.

2.1.2.3. Prepararea N,N'-tetrametil-tiuram-disulfurii

Acest prim compus al seriei tiuram-disulfurilor se utilizează astăzi în stare brută ca ultraaccelerator de vulcanizare și pur drept suxiliar în tehnologia produselor foto. Proprietațea de a se scinde în doi radicali de forma $\text{Me}_2\text{NCSS}'$, de viață lungă, sub acțiunea căldurii (la vulcanizare) sau radiațiilor (la stabilizarea produselor foto), îl face util în propagarea unor reacții radicalice de grefare a sulfului la catenele poli-isoprenice și înrujite, respectiv în blocarea unei reacții radicalice care ar duce la degradarea produselor foto.

S-au elaborat tehnologii pentru obținerea a trei produse cu posibilități de valorificare independentă, exclusiv pe baza materiilor prime indigene, și anume : dimetilditiocarbamatul de sodiu, tiuramul tehnic și tiuramul pur, luându-se trei subcapitole corespunzătoare acestora.

Tableau 3. Propriétés tissu-titre-alchimie-sel pour filer

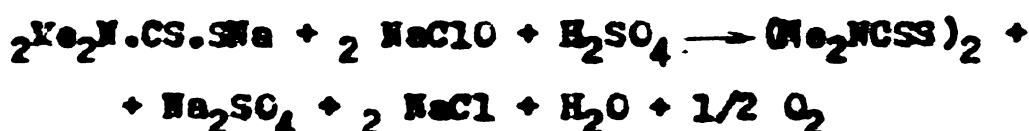
Produit	Aspect	Funct de tissage	Contenu de sel	Ref
TITD	Ondesale albe se leuare	148-149,5	146-147	52,40
TITD	Cristale galben ecu-	114-116	-	35,88
TITD	Cristale galben ecu-	143-144	-	38,72
PRTD	Cristale galben ecu-	127-129	128	39,43
PRTD	Cristale albe se leuare	127-129	-	40,00
PRTD	Plăcuțe argintat	143-144	-	39,06
PRTD	Plăcuțe argintat	163	42,52	43,24
PRTD	Plăcuțe argintat	165	36,18	36,36
PRTD	Plăcuțe argintat	166	-	-

S-a efectuat 14 sinteze de ditiocarbamat urmărind stabilirea valorilor optime ale principiilor parametrii ai sintezei: temperatură, concentrație, timpul de reacție, stabilitatea soluției, etc. Procesul adoptat duse la obținerea soluției de dimetil-ditiocarbamat de sodiu de 46 % sau de 53 % cu răndamente cantitative.

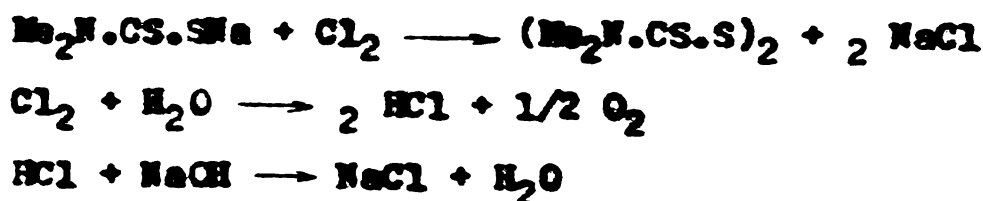


Oxidarea dimetil-ditiocarbamatului în fază apăsă duse la obținerea tiurorului tehnic. S-a utilizat patru agenți de oxidare: hipocloritul de sodiu, perhidrolul, clorul și aerul în prezența exizilor de azot.

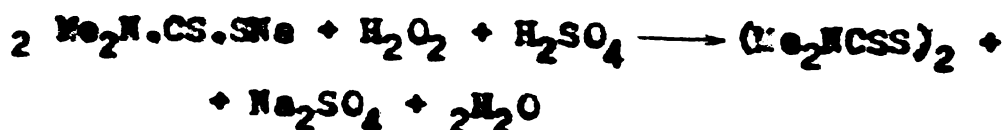
Din cele 10 încercări de laborator de oxidare cu hipoclorit tehnic s-a stabilit valorile cele mai avantajoase pentru: raportul reactanților, pg, consumul de hipoclorit și acid sulfuric, concentrația acidului sulfuric, temperatură și timpul de reacție. Procesul adoptat conduce la un răndament de 85 % și punct de topire 145-146°C.



Oxidarea cu clor gazos, barbotat direct în soluția de dimetil ditiocarbamat și excesul de aciditate tăpionat cu hidroxid de sodiu s-a studiat în patru sinteze. Răndamentul obținut abia atinge 80 % iar punctul de topire este cu 10° sub cel al produsului pur.

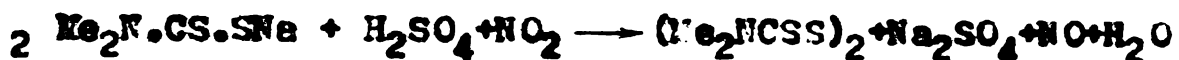


Perhidrolul s-a utilizat drept oxidant în 9 sinteze și s-a studiat ordinea introducerii reactanților, viteză adăgării lor, raporturile între reactanți, timpul de reacție, P_H -ul optim și temperatura de reacție. Cele mai bune rezultate obținute în această oxidare sunt răndamentul de 95 % și punctul de topire 146-152,5°C.



...//...

Ultimul oxidant utilizat este aerul atmosferic în prezența oxizilor de azot. S-a efectuat 14 sinteze pentru a studia acțiunea asupra răndamentului de reacție și puritate produsului a următorilor parametri: cantitatea și concentrația acidului sulfuric, concentrația ditiocarbamatului, timpul și temperatura de reacție, etc.



Decareea volumul masei de reacție crește de pînă la 10 ori în timpul barbotării aerului s-a folosit un agent de antispumare care a eliminat acest neajuns. Procesul tehnic la care s-a ajuns conduce la răndament de 85 % și punct de topire $143-145^\circ\text{C}$.

Obținerea produsului pur s-a făcut prin recristalizări repetate din solvent organic. Dintr-un număr de 14 solvenți testați rezultate calitative bune au dat numai 5. S-au determinat răndamentele de recristalizare și puritatea produsului obținut din acești solvenți, după care s-a trecut la recristalizări repetate. S-a optat pentru un amestec de solvenți din care după trei recristalizări rezultă un produs cu punct de topire $152-154^\circ$ (teoretic 155°) cu răndament de 26 % față de produsul brut.

Pentru urmărirea sfîrșitului de oxidare s-a pus la punct o metodă calitativă pe baza reacției ionului cupric cu ionul dimetil-ditiocarbamat. Pentru determinările cantitative s-a elaborat o metodă de spectroscopie UV, cu utilizarea maximului de la 256 nm a ionului dimetilditiocarbamat, utilă pînă la concentrații de 20 mg DTC/l .

Din studiul de laborator referitor la sinteza tiuramului se desprind următoarele concluzii :

- 1.- Tiuramul este un produs cu multiple utilizări industriale, dintre care menționăm ca dominante întrebunțarea ca ultraaccelerator de vulcanizare a cauciucului natural sau sintetic și ca fungicid în protecția plantelor, care justifică actualitatea realizării industriale, în vederea eliminării importului și eventualării producției pentru export.

- 2.- Faza de laborator elaborată perfectează condițiile pentru obținerea dimetilditicarbonatului de sodiu pentru care s-au realizat răndamente cantitative în condițiile sintezei DTC-12. Tiuramul obținut în a doua etapă a sintezei prin folosirea unei gaze largi de oxidanți, se preconizează să rezulte prin oxidarea cu oxizi de azot în condițiile sintezei T-34, care asigură răndamente de 85 % și elimină pericolul de deversare prin utilizarea antispumantilor. Răndamentele sensibil ameliorate obținute în sintezele T-26 și T-28, sugerează respectarea condițiilor recomandate, în ipoteza eliminării pericolului de deversare datorită spumării, prin soluții tehnice adecvate. Tiuramul tehnic obținut are indicii calitativi superioiri celui de import.
- 3.- Studiul experimental întreprins fixează condițiile de purificare a tiuramului, care recomandă recrystalizarea din solvent mixt, și de asemenea determinările calitative și cantitative a dimetilditicarbonatului de sodiu și a tiuramului în vederea realizării unui control eficient al procesului tehnologic.
- 4.- Din acest studiu se desprind informații utile referitoare la rentabilitatea realizării produsului la indicii de calitate preconizați, principalele caracteristici ale apelor reziduale, normele de tehnica securității și protecției muncii, care vor servi în ansamblu la conturarea parametrilor de transpunere în fazele pilot și industriale.

Protocolul are o extindere de 63 pagini, conține 102 indicații bibliografice și a fost predat în septembrie 1974.

2.1.3. Prepararea clorurilor de tio-carbamoil N,N-disubstituite.

Obținerea acestor produse s-a făcut prin două metode și anume : clorurarea tetraalchiltiurem-disulfurilor prin metoda Goshorn⁷¹ și tiofogenarea aminelor secundare prin metoda Billeter⁵¹⁻⁵³. Produsele obținute au fost următoarele:

Clorură de N,N-dimetil-tion-carbamoil (ETCC): Me₂N.CS.Cl

Clorură de N,N-diethyl-tion-carbamoil (DETCC): Et₂N.CS.Cl

Clorură de N,N-dipropil-tion-carbamoil (DPTCC): Pr₂N.CS.Cl

Clorură de N,N-diisobutil-tion-carbamoil (DIETCC): iBu₂N.CS.Cl

Clorură de N,N-pentametilen-tion-carbamoil (SMTC) : (CH₂)₅N.CS.Cl

N-cloro-tiocarbonil-morfolină (CPTCC): C(C₂H₄)₂N.CS.Cl

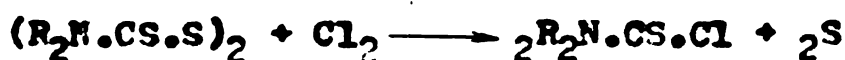
Clorură de N-metil, N-fenil-tion-carbamoil

(PhMTCC): Ph.NMe.CS.Cl

Clorură de N-ethyl,N-fenil-tion-carbamoil

(PhETCC): Ph.NEt.CS.Cl

Clorurarea tiuram-disulfurilor s-a făcut prin introducerea clorului gazos în soluția benzenică sau de tetraclorură de carbon a tiuram-disulfurilor, la temperaturi de 20-40°, pînă la absorbția cantității teoretice de clor. Măsurarea cantității de clor absorbită s-a făcut prin cintărirea instalației de lucru. Reacția de clorurare este exotermă în prima fază, apoi devine autotermă la 25-30°. În tubul de barbotare temperatura este însă de 60-70°, din care cauză depozitul de sulf din tub evapora și solventul conținut și devine solid.



Este necesară degajarea periodică a căii de acces a clorului, deoarece în depozitul buretos de sulf reacția este mult mai energetică decât în soluție din cauza temperaturii și a concentrației de clor ridicate. Se depune un precipitat de sulf, în cantități mai mari sau mai mici. La sinteza DPTCC prin clorurarea TFD sulful s-a separat doar la eliminarea solventului. Această eliminare de solvent se face după filtrarea depositului de sulf, prin evaporare în vid la evaporator rotativ pînă la 60° la o presiune de 15 torr. În aceste con-

dijii reziduu rimes este o topitură de sulf și clorură de dialchil-tion-carbamoil, care la rece se solidifică. Aceast reziduu are un miros pregnant de protochlorură de sulf. Se pare că alături de clorură de tio-carbamoil se mai obțin nici cantități de produs suprACLORURAT, de forma $R_2NCS\cdot Cl_2$, și protochlorură de sulf. Solventul evaporat are reacție puternic acidă și miros iritant. Rezidiul brut se purifică.

A doua posibilitate de sinteză este tiofogenarea aminelor secundare. Metoda inițială constă în reacția concomitantă a aminei, tiofogenului și hidroxidului de sodiu, în rapoarte stoichiometrice.



Pentru evitarea reacțiilor hidrolitice ale clorurilor de tio-carbamoil obținute cu soluția apăsă alcalină, s-a folosit la neutralizarea acidului clorhidric în locul soluției de NaOH o soluție de carbonat de sodiu. Reacția constă în introducerea soluției cloroformice de amine secundare peste soluția cloroformică de tiofogen la 0° . Reacția este exotermă și se degajă acidul clorhidric care conferă gazelor de deasupra soluției caracter puternic acid. În nici o sinteză nu s-a separat în soluție cloroformică clorhidratul aminei, care sigur se formează dar rămâne solubilizat. Pentru utilizarea rezultului de azină se neutralizează soluția cloroformică cu soluție de carbonat de sodiu. Reacția este energetică, se degajă bisulfid de carbon și final pH-ul soluției apăsă ce rămâne la suprafața cloroformului este 7-8. Prin separarea soluției cloroformice, urmarea ei și evaporarea solventului la evaporator rotativ pînă la maximum 60° și 15 torr se obține o topitură de clorură de tio-carbamoil brută, care se supune purificării.

Produsele brute obținute se purifică relativ greu. Deoarece produsele au puncte de topire scăzute ($35-35^\circ$), cristalizarea topiturilor se produce lent. Unele produse nici după 10 zile la 0° nu au cristalizat. Deoarece produsele obținute prin prima metodă inglobează și o parte din sulful rezultat din reacție, ele se prezintă ca solide ce topesc sub 70° , aspectul fiind asemănător cu cel al topiturilor rezultate la tiofogenare directă.

Se efectuează distilarea sub viță a produselor brute. Din topiturile rogii-orange se obțin clorurile de tio-carbamoil sub formă unor lichide galbene sau solide albe gălbui, cu miros neplăcut caracteristic. Să din lichidele galbene cristalizarea are loc foarte lent. Determinarea spectrului IR iese în evidență cauza acestei comportări: prezența unei benzii la 1740 cm^{-1} indică în produsul obținut a mici cantități de cloruri de carbamoil disubstituiri. Este semnalată deja sensibilitatea la oxigen a clorurilor de tio-carbamoil disubstituite⁸³. Probabil în procesul distilării, cu aerul de între-nare uscat, clorura de tio-carbamoil reacționează înlocuind atomul de sulf cu unul de oxigen. Caracterul polar al clorurilor de carbamoil face ca acestea să solve foarte bine clorurile de tio-carbaroil, cu formarea unui lichid viscos din care cristalizarea are loc foarte greu. S-a procedat la o fracționare suplimentară a produselor, la presiuni sub 1 torr, intercalindu-se două trape cu aer lichid. S-au separat 3-5 fracțiuni, iar din determinarea spectrelor IR s-a văzut clar că primele fracțiuni conțineau majoritar clorurile de carbamoil disubstituite corespunzătoare. În continuare, în lucrările efectuate s-au folosit fracțiunile ce nu prezentau banda carbonilică de la 1740 cm^{-1} . În trapele cu aer lichid s-au separat cîteva picături de protocloruri de sulf, lichid galben cu miros imitant învecinătice reacționează violent cu apa cu degajare de HCl și depunere de sulf. În tîrziu, o probă de DPTCC închisă într-un balon în prezența aerului și-a mărit intensitatea benzii carbonilice de la 1740 cm^{-1} cu 15% în 10 zile la temperatura camerei. Fracțiunile în care banda carbonilică este absentă s-au recristalizat pînă la punct de topire constant, adică 2-3 recristalizări din eter de petrol sau eter etilic anhidre.

Cu excepția DPTCC clorurile de tio-carbamoil obținute sunt substanțe solide, bine cristalizate, albe sau gălbui. Punctele de topire, rândamentele și metodele de obținere sunt date în tabelul 4. Tensiunile de vapori ale D'TCC și DSTCC sunt relativ mari. O probă lăsată peste noapte la 20° și 10 torr într-un exiștor cu acid sulfuric a sublimat integral, iar acidul sulfuric degajă miros intens de hidrogen sulfurat. Produsele purificate utilizate în determinările spectrale și cinetice s-au păstrat înfrigate la 0° .

Tabelul 4. Obținerea și proprietățile clorurilor de tian-gerberoil N,N-disubstituuite.

Produsul de clorură *)	Rand.	Funcție		Conținutul de sulf %	Ref.
		oc	gbit.		
DFTCC	A	81	din eter de petrol	41,5-42 45,5	42 26,40 25,91 73 72 55
DFTCC	1	74	" "	47-48,5 49-51 46-46,5	73 72 55
DFTCC	A	86	fractionare sub vid	net, 5288 -	18,95 17,83 -
DFTCC	B	71	din eter	45-47 46-48	15,70 15,42 71
DFTCC	A	88	din eter de petrol	63-65 66,5	19,64 19,57 71
DFTCC	A	94	din eter	63,5-69 69	19,55 19,34 73
DFTCC	B	87	"	34-35 34,5-35	17,35 17,25 55
DFTCC	B	83	din eter + CH ₂ Cl ₂ apoi eter	36,5-37 36,5-37	16,61 16,04 53

*) Prință A constă în clorarea tetralchililor sau diulfur ilicei ar metoda B în tiofogenarea emineelor secundare.

Un cas deosebit este DiPTCC. Prin ambele metode de sinteza s-a obtinut un produs bine cristalizat cu miros aromatic characteristic pentru DiPCC. Punctul de topire și spectrul IR arată preponderență acesteia în produsul obținut. O incercare de determinare cinetică duce la timp de reacție extrem de scurt, characteristic produsului carbonilic, iar hidrogenul sulfurat este absent. Probabil că în acest caz reacția de transformare a grupei tio-carbonilice în carbonilic este foarte rapidă. Dacă în reacția de tiofoagenare produsul ajunge în contact cu apa de unde ar putea lua atomul de oxigen, la clorurarea TiPTD, contactul cu oxigenul este foarte redus, solventul este îngrijit anhidrificat, și totuși cristalele albe fine formate, ce sublimă pe peretele balonului în care se păstrează la rece produsul brut, sunt de DiPCC. Spectrele IR ale tiofoagenului și cloroformului utilizati la tiofoagenarea diisopropileaminei infirmă posibilitatea de existență a fosogenului în sistemul de reactanți. Probabil DiPTCC să nu poată fi obținute în atmosferă inertă.

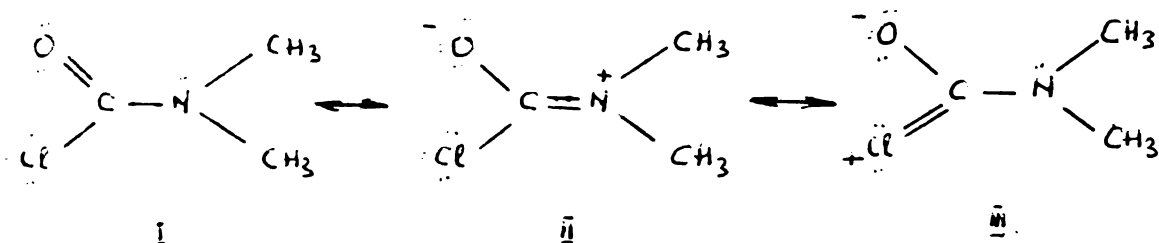
2.2. Spectrele IR ale produselor obținute.

2.2.1. Spectrele IR ale clorurilor de N,N -dialchilcarbamoil 162 .

S-au determinat spectrele IR ale clorurilor de N,N -dialchilcarbamoil în film lichid în domeniul $400\text{--}4000\text{ cm}^{-1}$. Acestea sunt prezentate în figurile 1-7. În tabelul 7 sunt date atribuirile principalelor bensi.

În verificarea atribuirilor, de un real folos au fost lucrările lui Schmidt și colab. care la doi ani după comunicarea rezultatelor de fusă 162 , au dat principalele bensi ale DMCC și complexului său cu pentaclorura de stibiu 174 , a clorurii și bromurii de N -metil-carbamoil și produselor corespunzătoare N -deuterate 175 , și a azidelor de carbamcil N -metilate și N -deuterate 176 . În tabelul 5 dăm principalele rezultate ale acestor studii.

Spectrul de vibrație al DMCC trebuie să oglindescă structura sa. Din capitolul 1.2. (proprietățile fizice ale clorurilor de carbamoyl) a reesit că la structura reală a DMCC trebuie să participe în proporții diferite fiecare din structurile limite I-III, adică o structură nepolarizată (I), o structură amidică polarizată (II) și o altă prezentând polarizarea caracteristică grupelor N-CO-Cl (III), în care polarizarea grupării carbonilice implică participarea halogenului adiacent.



Se poate observa că frecvența vibrării carbonilice de la 1740 cm^{-1} este mai înaltă decât cea a amidelor disubstituite unde apare la $1680-1630 \text{ cm}^{-1}$, a carbamatelor terțiari $177-1691-1683 \text{ cm}^{-1}$, indicând o contribuție mai importantă a structurii carbonilice I în unele structurile II și III. În ceea mai mare măsură de aceasta este responsabilitatea electronă pozitivitatea atomului de clor, care prin efect inductive năregă caracterul de dublă legătură al legăturii carbonilice. Frecvența carbonilică din cloroformiții de alchil se situează la valori mai înalte ($1760-1800 \text{ cm}^{-1}$)^{177,178}, în acord cu efectul nezamări donor de electroni mai slab al grupării OR față de NMe_2 ; ceea ce face ca ordinul legăturii C-O să crească puțin față de cel din DMCC.

Forțarea polarizării carbonilice prin legarea unui gaz Lewis la oxigenul carbonilic face ca în complexul $\text{DMCC}\cdot\text{SbCl}_5$, frecvența carbonilică să coboare la 1625 cm^{-1} ¹⁷⁴. Înlocuirea atomului de clor cu unul de brom, sau introducerea unui atom de hidrogen în locul unei grupe N-metil modifică neessențial această frecvență, în schimb introducerea unui atom de oxigen și a unei grupe N₃ (carbamati sau azide) reduce numărul de undă al frecvenței carbonilice cu $40-45 \text{ cm}^{-1}$. Aceasta arată că o frecvență ridicată a vibrării carbonilice se datorează structurii NCOCl în totalitate, și că atribuirea v_{CO} sau v_{NCO} pentru această bandă exprimă mai puțin adecvat natura grupulei.

Taboul 3. Attributile principale ale spetru lui NCC 91

Attribut	IR			Raman		
	NCOCl	Na ₂ NCOCl	Na ₂ NCOCl·NaCl ₅	IR	Raman	Raman
Δ C≡N	2963 s	2952	2955 s	2950	2940 s	2975 s
Δ N≡O	1740 s	1732	1625 s	1630	1695 s	1735 s
Δ C≡C	2460 s	2445	1450 s	1469	1495 ss	-
Δ C≡S	C≡N ₃	?	1422 m	1425	1445 s	1420 m
δ _s	C≡N ₃	1412 s	1415	1412 m	1416	1412 w
δ _s	C≡C ₃	1369 m	1375	1360 m	1380	1395 m
δ _s	NCO ₃	1290 m	1252	1330/1232 w	1338/1240	1268 w
γ _{as}	N≡N≡N	1115 w	1152	1145 m	1152	1164 m
γ _{as}	defectat	1095 m	1100	?	1126 w	1122 w
γ _{as}	C≡N ₃	1038 s	?	1050 s	?	1003 ss
γ _{as}	N≡C ₂	892 m	899	905 ss	920	964 m
γ _{as}	N≡C ₂	672 m	677	711 m	718	848 s
γ _{as}	NCOCl	665 w	?	670 w	682	570 m
Δ NO ₂	NCOCl	468 s	470	?	?	513 w
Δ C-C ₁	NCOCl	434 ss	438	494	447 m	447 m
Δ NO ₂	NCOCl	380 s	385	389 s	389 s	389 s
Δ C=C ₁	NCOCl	?	287	?	287	287

*) s - foarte intens, i - intens, m - mediu, w - slab, f - foarte slab

de atomi ce o generează. Utilizarea acestor notații sau a denumirilor de "frecvență carbonică" sau "bandă amidă I" se justifică prin tendința spre abreviere și simplificare.

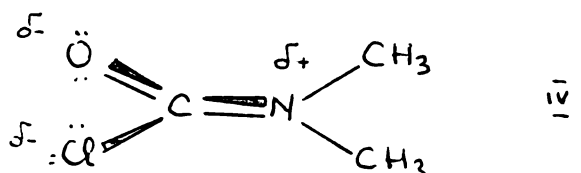
Banda $1410\text{-}1450 \text{ cm}^{-1}$ poate fi atribuită unei vibrații de valență C-N de ordin mare, apropiat de ordinul dublei legături. În literatură se cunoaște ca banda "amidă II", care la amidele terțiare apare la $1400\text{-}1420 \text{ cm}^{-1}$ ¹⁷⁸. La clorura de N-metil-carbamoil există o contribuție și a frecvenței de deformare NH, deoarece dă naștere la o nouă bandă la 1450 cm^{-1} prin deuterare, iar la trecerea din stare solidă în soluție frecvența scade puțin. Toate acestea pledează pentru "amidă II". Stabilitatea remarcabilă a benzii în clorurile de carbamoil N-substituite, N-disubstituite și N-denterate, complecși și azide face să poată fi atribuită și unei vibrații de deformare a grupăi metilice. Mai probabil, este o bandă cu caracter complex, la care participă în proporții diferite mai multe vibrații.

Banda "amidă III" este mai ușor de evidențiat. Ea apare la 1250 cm^{-1} . În amidele terțiare apare la $1260\text{-}1300 \text{ cm}^{-1}$ ¹⁷⁹. Aparține unui mod de vibrație în care participă atomii O-C-N, dovedind modificarea frecvenței la complexare semnalând participarea oxigenului carbonilic, iar mărirea sensibilă a frecvenței indică o sporire a ordinului de legătură, probabil o legătură C-H. Banda este sensibilă la deuterarea la azot a clorurii de N-metil-carbamoil.

În regiunea deformațiilor grupăi metil apare un dublet la $1100\text{-}1120 \text{ cm}^{-1}$. La complexarea N'CC la oxigenul carbonilic aceste frecvențe cresc puțin indicând o relație cu grupa NCO. Benzile nu sunt sensibile nici la solvatare nici la deuterare. În aminele alifatici terțiare există două benzile de frecvență apropiată ($1190\text{-}1028 \text{ cm}^{-1}$) care se atribuie legăturii C-N¹⁷⁸. Optăm pentru atribuirea unei vibrații de valență N-CH₃.

Pentru identificarea benzilor corespunzătoare frecvențelor asociate legăturii C-Cl trebuie explorat domeniul $500\text{-}700 \text{ cm}^{-1}$. Benzile de la 672 și 468 cm^{-1} par să corespundă. În cloroformiații frecvența de valență a legăturii C-Cl apare la $594\text{-}589 \text{ cm}^{-1}$, iar cea de deformare la $487\text{-}471 \text{ cm}^{-1}$ ^{177,178}. În spectrul N'CC aceste frecvențe sunt mai joase decât la cloro-

formiații, indicând constante de forță mai mici, o slăbire a legăturii C-Cl și o scădere a pozitivității carbonului carbonilic, datorită efectului mezomer mai puternic al grupei NR_2 față de OR . La complexarea DCC această frecvență de valență crește cu 40 cm^{-1} , din cauze măririi ponderii structurii limită III. Frecvența de deformare C-Cl scade mult la clorura și bromura de N -metil-carbamoil, indicând slăbiriile tăriei legăturii. Acest fapt este în concordanță cu ionizarea mai ușoară a halogenului față de cel din DCC , datorită unei polarizări a halogenului pe seama azotului, conform structurii IV. Faptul că în bromură această frecvență este și mai redusă confirmă această atribuire.



O ultimă bandă ce apare sistematic este cea de la 457 cm^{-1} . În clorurile acide regăsim o vibrație de deformare în plan, de intensitate mică, la $420-440 \text{ cm}^{-1}$ ¹⁷⁹. Această bandă este afectată de complexare, cind trece spre numere de undă mai mari, apare aproape la aceeași frecvență în produsul N -metilat, iar la înlocuirea clorului cu bromul scade similar. Această comportare ne face să o atribuim grupei COCl , afectată de complexare și înlocuirea halogenului.

În tabelul 6 dăm atribuirea benzelor de vibrație pentru DCC , care a servit ca bază pentru atribuirile sistematice date în tabelul 7 pentru clorurile de N,N -dialchil-carbamoil studiate. Vibrațiile de la $1063,900$ și 390 cm^{-1} nu se mai reîntâlnesc în celelalte cloruri de dialchil-carbamoil și le atribuim unor vibrații caracteristice scheletului.

În tabelul 7 se dău frecvențele caracteristice sistematice ale diferențelor vibrații ce apar în spectrele IR ale clorurilor de N,N -dialchil-carbamoil. Frecvențele caracteristice grupelor metil și metilen se găsesc la valorile corespunzătoare alcanilor^{177,178}. Deformațiile de legătare în afară planului și în plan ale grupelor metilenice ($\delta_{\text{CH}_2^w}$ și $\gamma_{\text{CH}_2^v}$) se situează la limita maximă a acestor frecvențe, din cauza catenei scurte ($1350-1305 \text{ cm}^{-1}$ ¹⁷⁸, respectiv $785-720 \text{ cm}^{-1}$ ¹⁷⁷),

Tabelul 6. Atribuirile bensilor de vibrație ale DMCC

Banda *) cm ⁻¹	Atribuire	Simbol
2948 m	vibrație de valență C-H din metil	ν_{CH_3}
1745 f	vibrația de valență a carbonilului	ν_{CO}
1457 i	vibrație de deformare asimetrică din metil	δ_{CH_3} as.
1414 m	vibrație de grup NCO, de valență C-N de ordin mare	Amidă II
1375 i	vibrație de deformare simetrică din metil	δ_{CH_3} s
1322 m	vibrație de grup NCO	Amidă III
1256 i	vibrație de grup NCO	-- --
1119 i	vibrație de valență a legăturii N-CH ₃	$\nu_{\text{C-N}}$
1102 i	vibrație de valență a legăturii N-CH ₃	ν_{NC_2} as
1065 m	vibrație de schelet asimetrică a grupăi NC ₂	ν_{NC_2} s
900 i	vibrație de schelet simetrică a grupăi NC ₂	δ_{NC_2}
672 i	vibrație de valență C-Cl	$\nu_{\text{C-Cl}}$
468 s	vibrație de deformare C-Cl	$\delta_{\text{C-Cl}}$
457 m	vibrație de deformare a grupăi COCl	δ_{COCl}
390 m	vibrație de deformare de schelet	δ_{NC_2}

*) notările conform tab.5

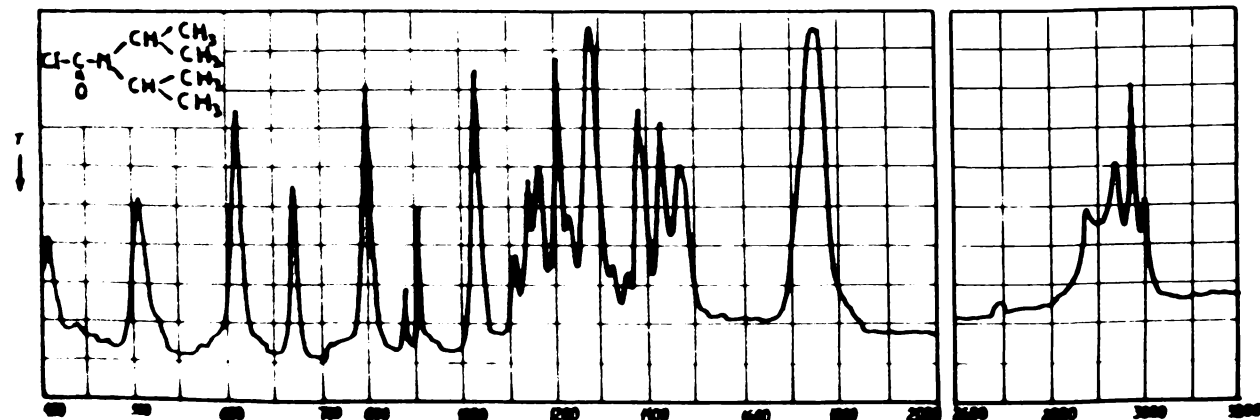
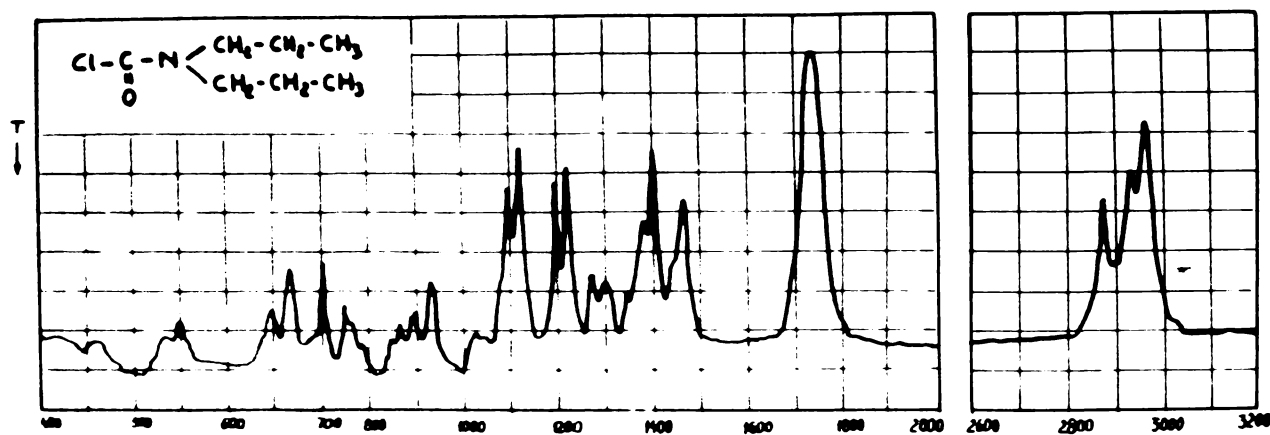
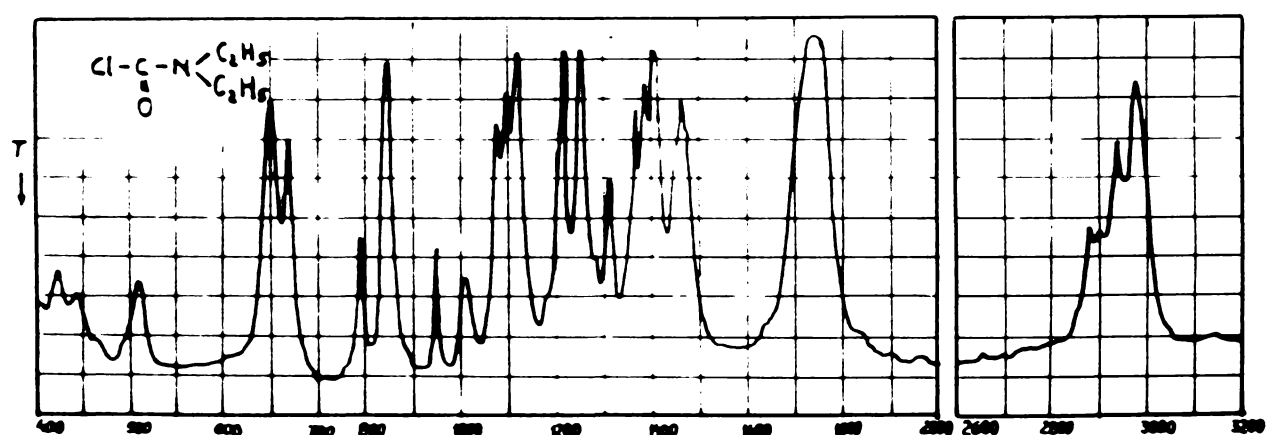
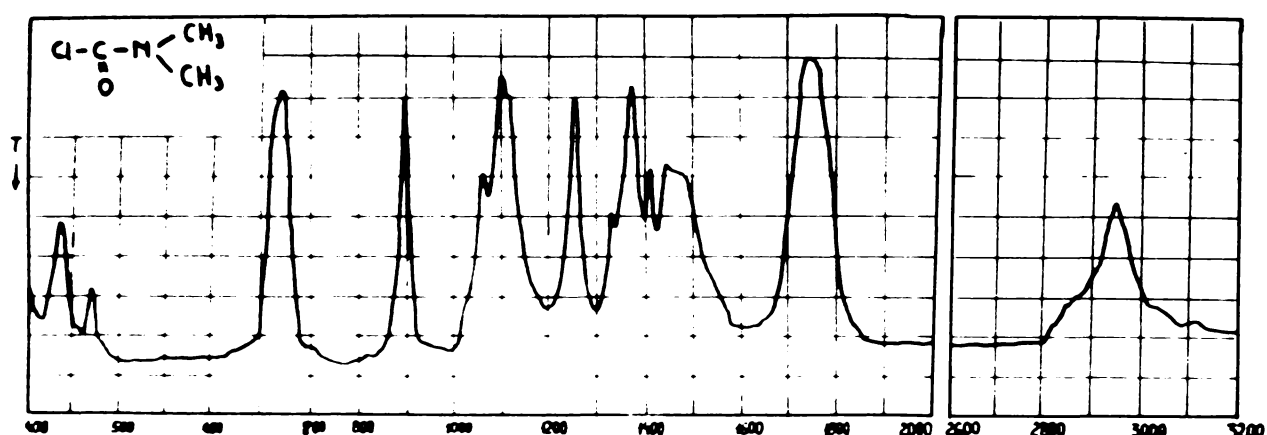
In spectrul DIPCC apar distinct la 3000 și 1321 cm⁻¹ frecvențele de vibrație ale grupăi metinice ¹⁷⁷, respectiv cea de deformare, de intensitate slabă, la numere de undă caracteristice aminelor substituite. Vibrații de schelet (care apar în toate spectrele în zona 1200-800 cm⁻¹) caracteristice grupăi isopropil le întâlnim la 1140 și 1164 cm⁻¹. De asemenea specifică grupăi isopropil este și scăderea frecvenței de deformare simetrică a grupăi metil.

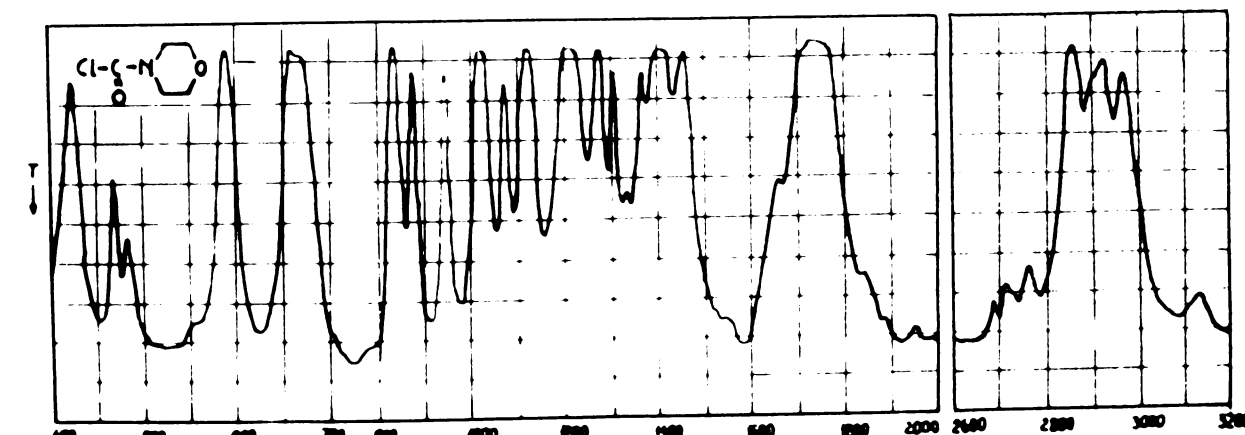
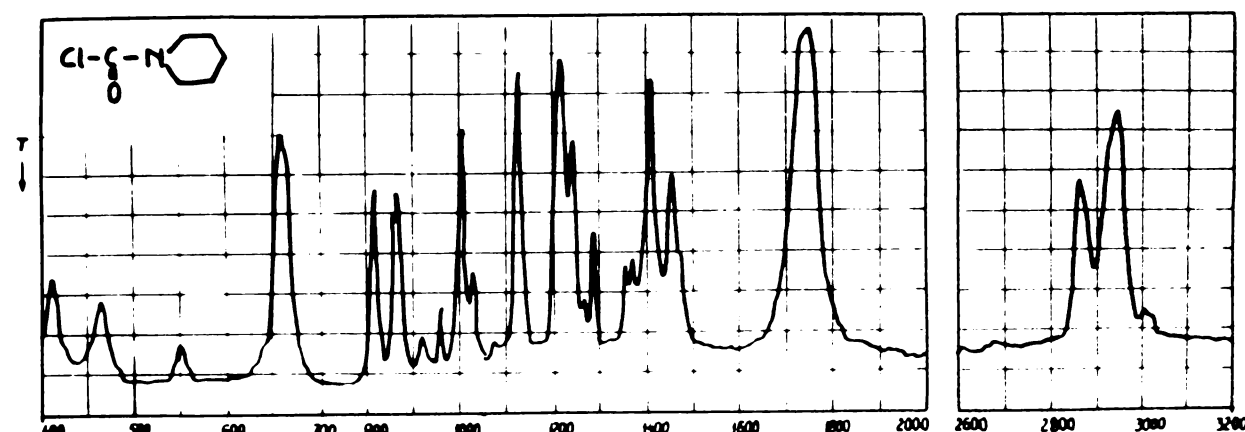
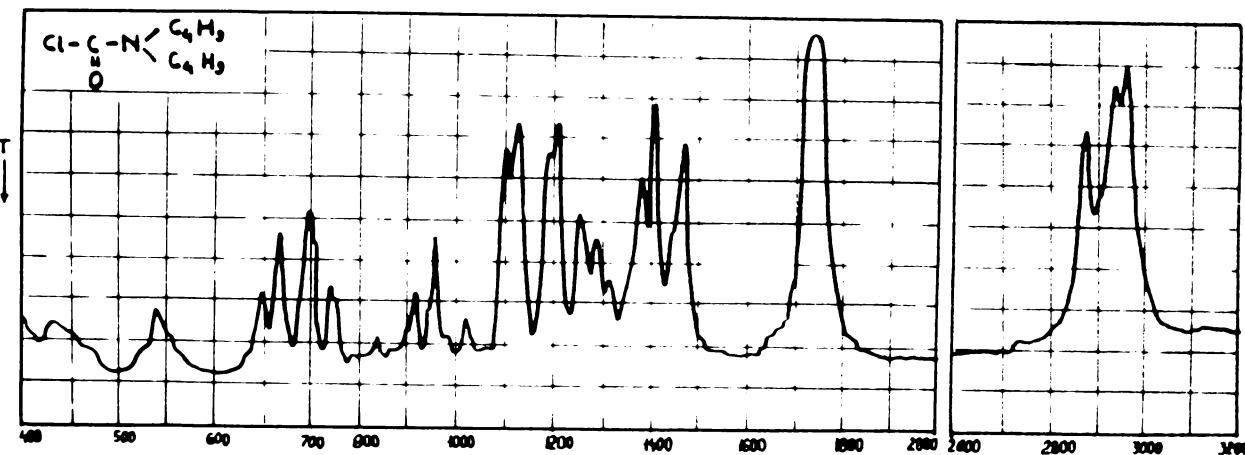
Tableau 7. Attributaires pour les bandes d'absorption dans le spectre IR de chlorophylle de N,N-disiocetylphénol

	DGCC	DPCC	DPCC	SYCC	SYOC
CH ₃ ss	2948 1	2982 1	2970 1	2979 1	2963 1
CH ₂ ss	-	2940 1	2940 1	-	2938 1
CH ₃ s	-	2900 w	2900 w	2900 m	-
CH ₂ s	-	2879 1	2880 1	-	2878 1
CO	1740 s1	1740 s1	1745 s1	1745 s1	1745 s1
CH ₂	-	1480 1	1475 1	-	1471 1
CH ₃ ss	1471	1467 1	1449 w	1465 w	1448 w
Aldehydes	1414 w	1409 1	1409 1	1425 1	1409 1
CH ₃ s	1373 1	1390 1	1390 1	1378 1	1385 1
CH ₂ w	-	1370 1	1350 w	-	1356 w
Aldehydes	1256 1	1215 1	1202 1	1277 s1	1210 1
C=H	1192 1	1100 1	1100 1	1053 1	1128 1
CH ₂ s	-	1119 1	1123 1	1130 1	1120 1
C=C1	672 1	670 1	670 w	671 w	658 w
C=C1	458 s	463 s	463 s	455 s	467 s
C=C1	457 w	423 s	445 s	438 s	435 s

a) nomenclature conforme à la 0.5

Figurile 1-7. Spectrele IR ale clorurilor de N,N-dialchilcarbamicil în film lichid în domeniul 4000 - 400 cm⁻¹





Bunile specifice eterilor ciclici se regasesc în spectrul IRCC : vibrațiile de valență asymmetrică și simetrică pentru grupa C=O-C- $\nu_{C=C}$ este intensă la 1120 cm^{-1} și $\nu_{C=C}$ este de intensitate medie la 945 cm^{-1} ($1140 - 1085 \text{ cm}^{-1}$ și $177,178$).

... ...

2.2.2. Spectrele IR ale N,N'-tetraalchil-tiuram-disulfurilor 180 .

In tabelul 8 sunt prezentate cele mai semnificative benzi IR ale tetraalchil-tiuram-disulfurilor preparate anterior. Pentru comparatie se dau si spectrele N,N-dimetil-ditiocan-benztului de sodiu si N,N'-tetrametil-tiuram-monosulfurii preparate doar in acest scop. In figurile 8-15 sunt prezentate spectrele IR ale acestor produse.

Numerul mare de heteroatomi face dificila atribuirea benzilor, desi exista numeroase studii referitoare la structurile mai simple tio-amidice. Singurele incercari de atribuire a unor domenii din spectrul IR unor anumite vibratii caracteristice structurii tio-amidice apar in lui Rao ¹⁸¹ si Susuki ¹⁸².

Datorită masei mari a sulfului ne acceptam ca vibratia C=S să apară în regiunea unor vibratii ca C-N de valență sau N-H de deformare. Vibratia C=S, datorită constantelor de forță apropiate se poate cupla cu vibratiile caracteristice și ale legăturii vecine, rezultind două sau mai multe benzi în care vibratia grupei C=S este implicată, vibratii mixte ce apar la $650\text{-}1570\text{ cm}^{-1}$.

In derivațiile tio-amidice cuplările vibratilor sunt situate de frecvențe încât este foarte dificil să se evidențieze vibratiile proprii fiecărei legături. Calculele de vibratii normale efectuate pentru cîteva tioamide ca : tioformamidă ¹⁸⁴, tiuree ¹⁸⁵⁻¹⁸⁷, N,N'-dimetil-tiuree ¹⁸⁸, ionul dimetilditio-carbaric ^{189,190}, demonstrează că vibratia C=S se cuplează în proporții foarte diferite cu vibratiile caracteristice legăturilor N-N, C-N sau C-C. Aceste cuplări determină apariția cîteva benzi caracteristice sistemului tio-amidic. Acestea se numesc "benzi tioamidice" I-V ¹⁸¹ sau A,B,C,D,E,F,G ¹⁸³.

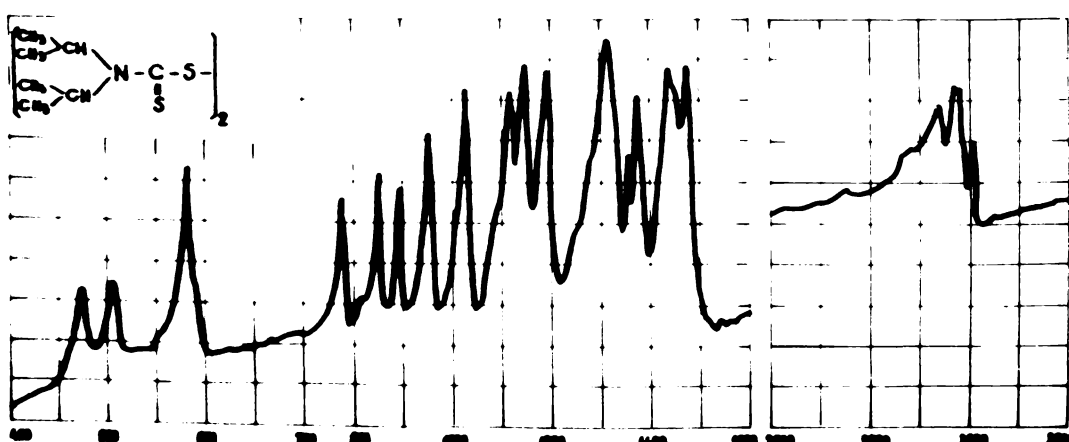
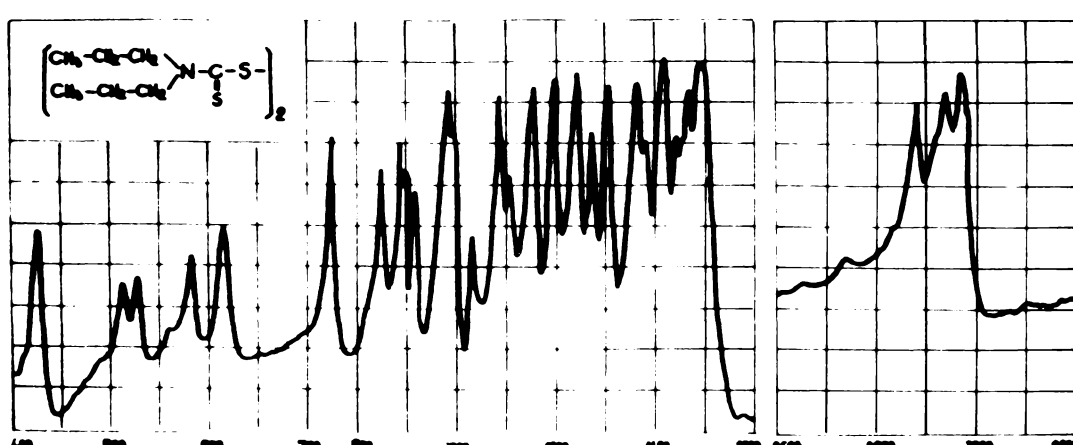
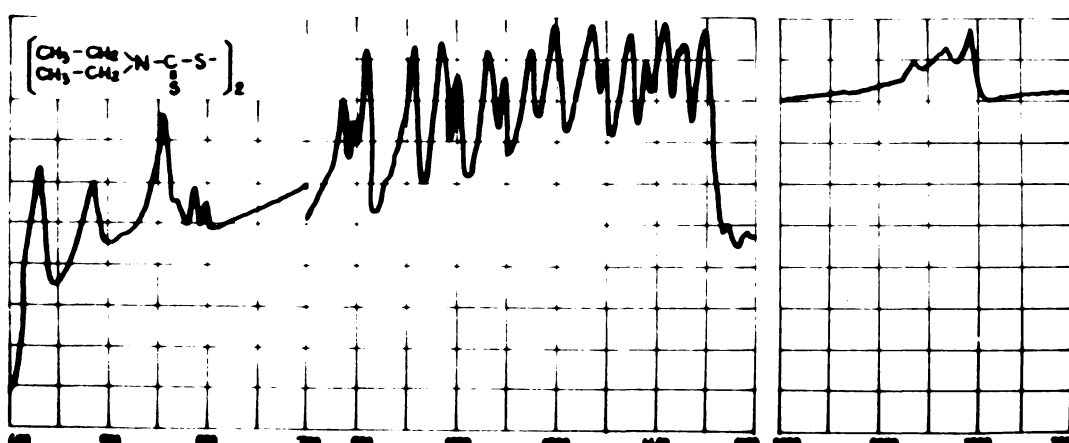
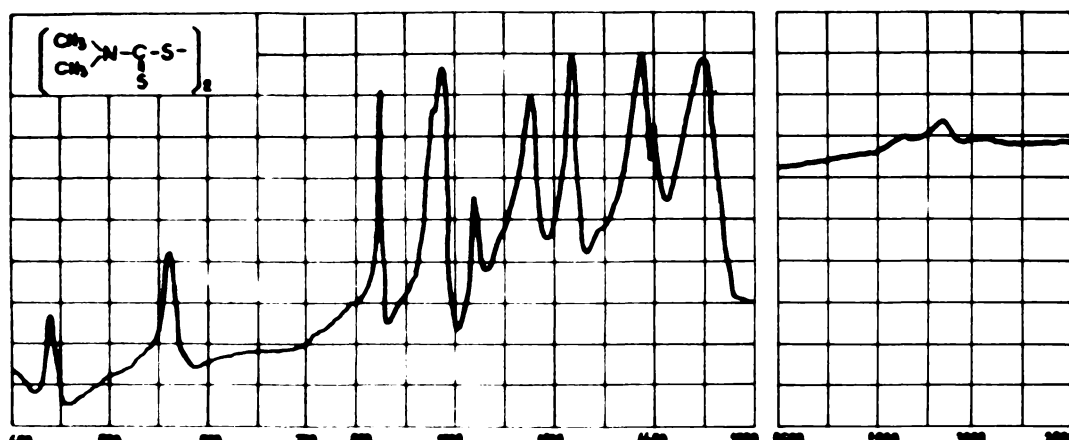
In literatură nu există un consens cu privire la care dintre diferențele moduri normale de vibrație contribuie la benzile tioamidice, așa că cea mai rezonabilă apreciere este să considerăm vibratii de schelet.

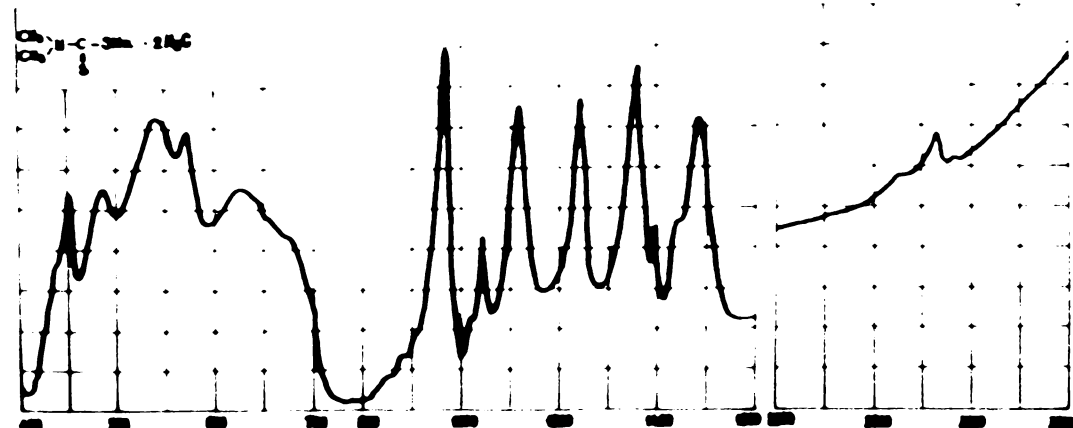
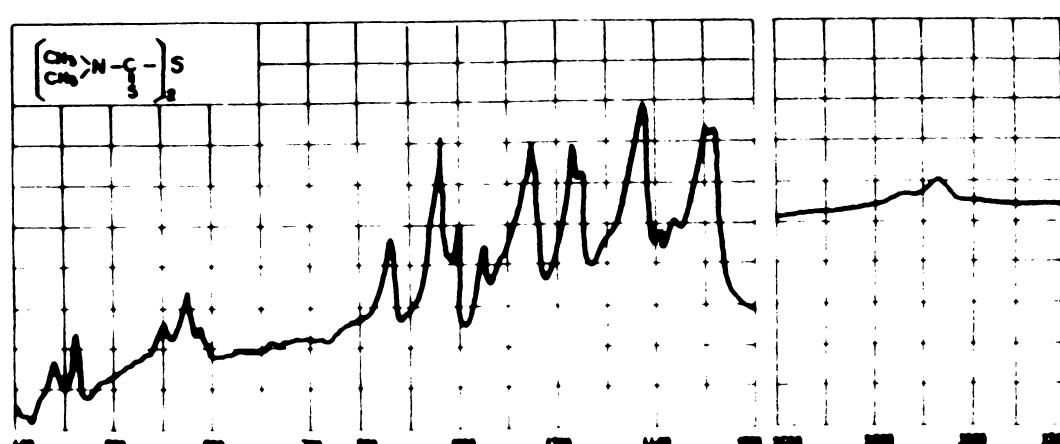
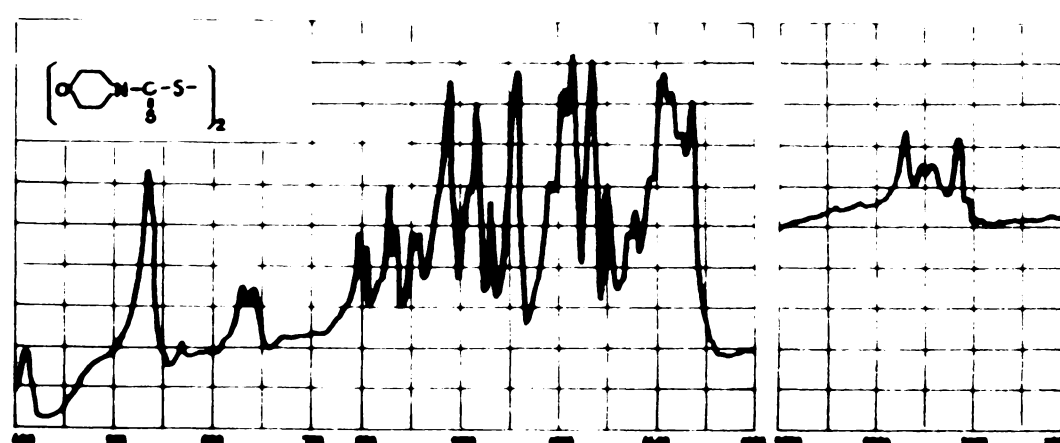
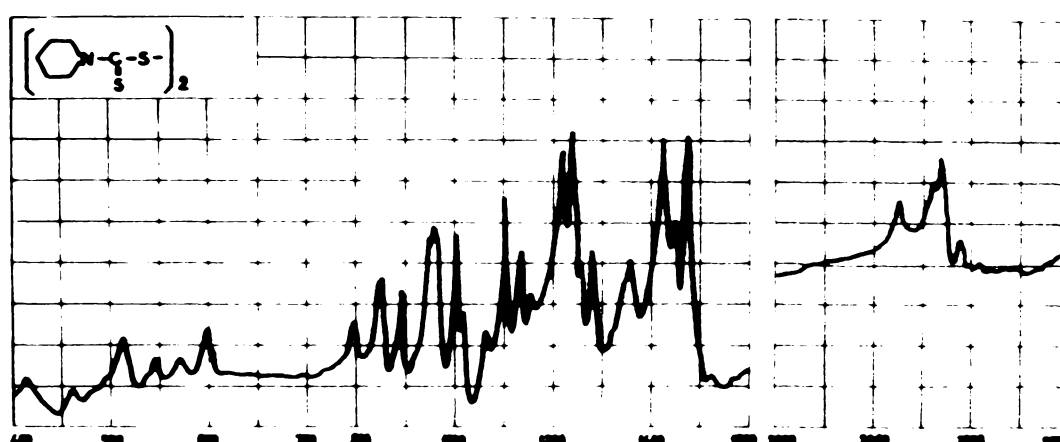
Tableau 8. Atribuirea principalelor benzi din spectrele IR ale N,N'-tetraethyl-tetra-m-difluorofluorof

Atribuiree	TTFD	TPEO	TTFD	DFTD	DFTD
$\nu_{\text{C-H}}$	440 s	-	-	485 s	511 s
NCS v	562 s	575 s	540 m	555 s	585 s
NCS rv	970 i	962 i	965 i	970 i	980 i
δ_{CH_2} r	-	-	-	772 s	750 s
NCS III	1040 s	1052 s	1045 s	1150 m	1050 s
δ_{CH_3} r	?	1130 m	?	1095 s	1110 s
NCS II	1238 i	1230 i	1242 i	1280 i	1310 i
δ_{CH_2} w	-	-	-	?	1240 i
δ_{CH_3} s	1387 i	1373 i	1360 i	1380 i	1365 i
δ_{CH_2} -	-	-	-	1460 s	1465 s
δ_{CH_3} ss	1410 s	1395 s	1420 i	1420 i	1440 i
ν_{CH_2} s	-	-	-	2840 s	2340 s
ν_{CH_3} s	2860 s	2860 s	2860 s	2870 s	2870 s
ν_{CH_2} ss	-	-	-	2940 w	2932 s
ν_{CH_3} ss	2935 s	2925 s	2930 s	2980 s	2972 s
ν_{CH}	-	-	-	-	-

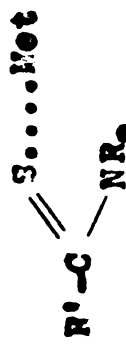
* Precurzorii cujii în cup 2,12; ** reziduul turișor, reconstituit ($\text{N}_2\text{NC}_2\text{S}$)₂; *** $\text{Me}_2\text{NCSNa} \cdot 2\text{H}_2\text{O}$
Cis pentru următoare: a judecății niciună din tabl. 5

Figurile 8-15. Spectrele IR ale N,N'-tetraalchil-tiurem-disulfurilor preparate, N,N'-tetrametil-tiuram-monosulfurii și ionului N,N-dimetil-citiocarbamic, în pastilă de KBr, în domeniul 4000-400 cm⁻¹.





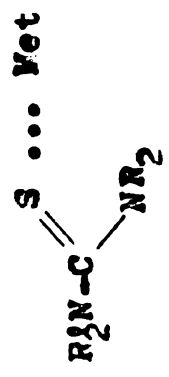
Tabelul 9. Posibile tăcimiuri în următoarele 52 de tablăuri lor.



	P_1	P_2	Not.	NCS I, B NCS II, C NCS III, D NCS IV, E NCS V L-3.
181	H	H ₂	-	
182	H ₂	-		
183	1432	1287		
184	1445	1288		
185	1435	1324	1046	
186	1435	1324	1046	
187	1432	1287		
188	1445	1288		
189	1432	1287		
190	H ₂	-		
191	H ₂	-		
192	1465	1365	1092	
193	1465	1365	1092	
194	1394	1393	974	
195	1393	1305	1307	
196	1394	1393	974	
197	1394	1393	979	
198	980	979	721	
199	980	979	721	
200	980	979	721	
201	626	641	641	
202	626	641	641	
203	1305	1305	1110	
204	1336	1305	1110	
205	1328	1305	1110	
206	H ₂	H ₂	H ₂	
207	H ₂	H ₂	H ₂	
208	1450	1375	1101	
209	1450	1375	1101	
210	1450	1375	1101	
211	H ₂	H ₂	H ₂	
212	H ₂	H ₂	H ₂	
213	1392	1375	1101	
214	1435	1375	1101	
215	1435	1375	1101	
216	H ₂	H ₂	H ₂	
217	H ₂	H ₂	H ₂	
218	1440	1325	970	790
219	1440	1325	970	790
220	1440	1325	970	790
221	1440	1325	970	790
222	1440	1325	970	790
223	1440	1325	970	790
224	1440	1325	970	790
225	1440	1325	970	790
226	1440	1325	970	790
227	1440	1325	970	790
228	1440	1325	970	790
229	1440	1325	970	790
230	1440	1325	970	790

R ₀	P ₂	P _{et}	NCS I, B	NCS II, C	NCS III, D	NCS IV, F	NCS V, L ₁₄ .
Pd	H ₂	H ₂	Cu, Cd, Zn, Hg	1615	1322	990	208
	H ₂	H ₂	Ou, Cd, Zn, Hg	1410-1420	1312	975	730
	H ₂	H ₂		970-77	1320	955	555
	H ₂	H ₂		698-712	450-470	196	506
	H ₂	H ₂		690	570	208	194
	H ₂	H ₂		676	570	208	194
	H ₂	H ₂		676	570	208	194

Tabelul 10. Sensibile ticanilice din urele ticaret și derivații lor.



R_2^{N}	R_2	-	1473	1415	1088	730	736	468	181/242	187
Met	Met	Nat	1476	1416	1090	733	-	-	205	191
Et ₂	Et ₂	NCS I, C	1460	1080	1086	655	629	207	196	191
Et ₂	Et ₂	NCS II, D	1472	1414	1086	730	-	-	207	191
Et ₂	Et ₂	NCS IV, P	1473	1418	1086	774	-	-	207	191
Et ₂	Et ₂	NCS V	1590	1296	972	774	-	-	207	191
Et ₂	Et ₂	Li ₂ O ₂	-	1555	1255	1115	-	-	-	191
Et ₂	Et ₂	NaH	-	1554, 1504	1287	1078/1020	722	495	196	196
Et ₂	Et ₂	NaH	-	1568, 1506	1287	1147	734	551	196	196
Et ₂	Et ₂	Na ₂	-	1497	1198	1119	1060	662	196	196
Et ₂	Et ₂	BuLi	-	1525	1250	1110	-	-	-	191
Et ₂	Et ₂	PtH	-	1520	1468	1060	810	640	207	207
Et ₂	Et ₂	PtH	-	1530	1460	1074	936	630	207	207
Et ₂	Et ₂	PtH	-	1485	1472	1073	820	628	207	207

R ₂	R ₂	Net	NCS I, B	NCS II, C	NCS III, D	NCS IV, P	NCS V	List.
H ₂	H ₂	Net	Pt, M ₆ , Cu	Zn, Cd, Zn	M ₄	Sn	M ₄	
H ₂	H ₂	Net	1490-1518	1387-1400	1100-1115	702-717	-	203
H ₂	H ₂	Net	1510-1525	1385-1390	1100-1105	683-700	-	204
H ₂	H ₂	Net	1565-1578	1282-1303	965-985	762-77	-	185
H ₂	H ₂	Net	1598	1298-1311	1144-1149	710-728	558-574	196
H ₂	H ₂	Net	Zn, Hg	1559-1584	1208, 1218	1106-1117		
H ₂	H ₂	Net	Cu, Pt, Cd	1521-1540	1057-1059	1057-1059		
H ₂	H ₂	Net	No	1548-70	1443-51	1085-1150	696-709	640-45
H ₂	H ₂	Net	No	1524	1429	1057	725	194
H ₂	H ₂	Net	No	1521	1429	1057	725	196
H ₂	H ₂	Net	No	1520	1429	1057	725	196

Tableau II. Sensible tioamidee fin aussi derivant d'acides dihalochloroformiques

$\text{R}_2\text{N}-\text{CS}_2$	$\text{S} \cdots \text{X}$	NCS I, B NCS II, C NCS III, D NCS IV, F NCS V, LIt	60
$\text{Me}_2\text{N}-\text{CS}_2^-$	$\text{Ba}^{2+}, \text{Mg}^{2+}$	1248-59 1498-1500	192
$\text{NH}_2\text{N}-\text{CS}_2^-$	$\text{NH}_2^{+}, \text{O}_2^{+}$	1238-47 1257-45	192
$\text{Me}_2\text{N}-\text{CS}_2^-$	$\text{Fe}, \text{Co}, \text{Cu}$	1252 1265-75	190
$\text{NH}_2\text{N}-\text{CS}_2^-$	Sn, Pb	1100-34 1071-76	190
$\text{Et}_2\text{N}-\text{CS}_2^-$	$\text{Pt}, \text{Ni}, \text{Pd}, \text{Cu}$	977-984 966-968	190
$\text{Et}_2\text{N}-\text{CS}_2^{2-}$	$\text{Zn}, \text{Cd}, \text{Hg}, \text{Co}$	961-82 968-85	190
$(\text{Me}_2\text{N}-\text{CS}_2)^2$	$\text{K}^+, \text{Pb}^{2+}$	971 981	190
$\text{Et}_2\text{N}-\text{CS}_2^{2-}$	$\text{Ru}, \text{Fe}, \text{Cr}, \text{V}, \text{As}$	980-995	190
$\text{Et}_2\text{N}-\text{CS}_2^-$	Sn, Pb	1280 1210	190
$\text{Et}_2\text{N}-\text{CS}_2^-$	Sn, Pb	996 915	190
$\text{Et}_2\text{N}-\text{CS}_2^-$	Sn, Pb	1480-1512	206
$\text{Et}_2\text{N}-\text{CS}_2^-$	Sn, Pb	1240-1260	206
$\text{Et}_2\text{N}-\text{CS}_2^-$	Sn, Pb	965-1078	206
$\text{Et}_2\text{N}-\text{CS}_2^-$	Sn, Pb	285	206

In tabelele 9-11 sunt prezentate benzile caracteristice ale unor tioamide, tiourei și derivați ai acizilor tiocarbogici. Deși interpretările originale ale benzilor tioamide sunt diferite pentru fiecare din compușii prezenți se poate vedea clar că cele cinci benzii apar în aceleasi domenii.

Banda tiosimidică I este foarte sensibilă la modificările de structură. Se vede clar că grupele donoare de electroni grefate la atomul de azot, coordonarea sulfului cu metale (complexi), cu proton sau legarea unui radical alchil (stăruile de sulfoniu), deplasează banda spre frecvențe mai înalte. Aceste fapte conduc la concluzia că la banda NCS I legătura C-N are o contribuție majoră. Poziția acestei benzii, la 1500 cm^{-1} , indică un ordin mărit pentru legătura C-N, conform efectului mezomer:



Spre deosebire de banda "amidă I" care are caracter de frecvență carbonilică, banda "tiosimidă I" corespunde benzii "amidă II" și are caracter de frecvență a legăturii C-N de ordin mărit ¹⁹¹⁻¹⁹³. Pentru derivații dialchil ditiocarbamici se poate aprecia pe baza dipolmomentelor că ordinul legăturii C-N este $1,25 - 1,35$ ¹⁹². Acest fapt este dovedit și de lungimea legăturilor implicate în grupa NCS, care în urma conjugării devin: C-N $1,32\text{ \AA}$ și C-S $1,71\text{ \AA}$ în timp ce lungimile normale ale acestor legături sunt: C-N $1,47\text{ \AA}$, C=N $1,27\text{ \AA}$, C-S $1,82\text{ \AA}$, C=S $1,96\text{ \AA}$ ^{190,194}.

Frecvența atribuită benzii "tiosimidă I" în FTID(tab.8) este ceva mai înaltă decăre ce implică o delocalizare serioasă a electronilor neparticipanți ai azotului din acest compus. Radicalii alchil mici (metil, etil, propil) prezintă un efect mai mare decât și radicalilor mai voluminoși (isopropil, pentametilen) care pot împiedica cel puțin parțial coplanaritatea moleculei, și astfel conjugarea întregului sistem.

Banda "tiosimidă II" apare la tioamidele simple în domeniul $1300-1400\text{ cm}^{-1}$ sau $1180-1265\text{ cm}^{-1}$ ¹⁹⁵, la tiourei în domeniul $1300-1470\text{ cm}^{-1}$ și în ditiocarbami la $1250-1265\text{ cm}^{-1}$. Ea corespunde benzii "amidă III" din carbonazide, care are un caracter mixt ¹⁹¹. Calcululele de vibrații normale, pe de o parte,

... ''...

și datele tabelelor 9-11, pe de altă parte, arată că această bandă trebuie să fie rezultat dintr-o vibrație de schelet în care au contribuții importante toate legăturile sistemului tioamidic: C=S, C-N și chiar C-C sau orice altă legătură din imediata vecinătate a sistemului.

După cum este de așteptat N,N'-tetraalchil-tiurom-disulfurile prezintă această bandă ($1250-1510 \text{ cm}^{-1}$) în același domeniu ca ditiocarbamajii.

Banda "tioamidă III" poate fi de asemenea considerată o vibrație de schelet și depinde mult de structura compusului (tab.9-11). De obicei apar două frecvențe, la 1030 și $1100-1150 \text{ cm}^{-1}$, pe care calculele de vibrații normale efectuate pe dimetilditiocarbamajii ¹⁸⁹ le atribuie unor moduri de vibrație mixte ce implică legăturile din C=S, CN și NC₂ ^{190,191}. Aceste vibrații li se pot atribui benzile de la $1120-1160 \text{ cm}^{-1}$ și $1010-1050 \text{ cm}^{-1}$ din spectrele N,N'-tetraalchil-tiurom-disulfurilor.

Banda "tioamidă IV" are cel mai pronunțat caracter CN și apare în jur de 970 cm^{-1} , fiind considerată una din cele mai characteristic pentru tioamide ^{181,182}. Această bandă apare și tioxamide ¹⁹³, compuși dimetilditiocarbamici ¹⁹⁶ și metil-tiouree ¹⁸⁵. Prin studii de solvent s-a dovedit că banda aparține unei grupe cu caracter polar ¹⁹⁷. Cum este puțin probabil să aparțină numai unei legături C=S, o considerăm aparținând grupului NCS, chiar dacă mai poate implica și legături vecine a acestuia ¹⁸⁹. În produsele studiate de noi apare în domeniul $960-980 \text{ cm}^{-1}$, similar altor derivați ai scizilor dialchil-ditiocarbamici (tab.11).

Banda "tioamidă V" aparține domeniului benzilor de deformare. Vibrația de deformare a grupelor NCS este considerată responsabilă de benzile de la $500-640 \text{ cm}^{-1}$ a tioamidelor, $470-660 \text{ cm}^{-1}$ a derivațiilor tioureici și $570-590 \text{ cm}^{-1}$ a derivațiilor dialchil-ditiocarbamici. Acestui mod de vibrație îi atribuim banda ce apare în N,N'-tetraalchil-tiurom-disulfuri la $410-530 \text{ cm}^{-1}$ de intensitate slabă.

O problemă rămâne atribuirea vibrațiilor de valență S= și C-S, care trebuie să apară în domeniul $400-800 \text{ cm}^{-1}$, unde întâlnim însă și vibrațiile de deformare ale grupelor CN, NC₂, CNC și NCS. Sheppard ¹⁹⁸ propune pentru banda vibrației de

valență a legăturii C-S domeniul 705-570, iar pentru banda de vibrație a legăturii S-S domeniul $500-520 \text{ cm}^{-1}$ pentru sulfuri de alchil, disulfuri de alchil și mercaptani. Pentru compusii organici cu sulf, mai ales sulfuri alifatice, Scott și Mc Cullough¹⁹⁹ au atribuit benzile sistematice din domeniul $640-695 \text{ cm}^{-1}$ și de cca 500 cm^{-1} vibrațiilor de valență C-S și respectiv S-S. Tot pentru disulfurile alifatice Allum și colab.²⁰⁰ au atribuit acelorași vibrații benzile întinute la $660-780 \text{ cm}^{-1}$ și respectiv $507-525 \text{ cm}^{-1}$.

Considerăm banda ce apare în spectrul N,N' -tetraalchil-tiuram-disulfurilor la $410-530 \text{ cm}^{-1}$ ca datorată vibrației de valență S-S.

2.2.3. Spectrele IR ale clorurilor de tio-carbamoil N,N -disubstituite²⁰⁹.

Literatura este săracă în date referitoare la spectrele IR ale derivațiilor acizilor tiocarbonici, iar cu privire la clorurile de tio-carbamoil N,N -disubstituite nu există date, deși produsele se cunosc de multă vreme și uneori se arintează că s-a înregistrat spectrul în vederea comparării cu cel al altor produse⁶⁸⁻⁷⁰.

Cum nu există nici un studiu anterior cu privire la clorurile de tio-carbamoil am atribuit benzile de absorție pe baza datelor existente la tiocamide, tiouri și derivați ai acizilor ditiocarbonici, prezente în capitolul anterior. Alte date de referință au fost cele cu privire la clorurile și tio-clorurile acidului carbonic.

În tabelul 12 și figurile 16-23 s-au prezentat principalele benzile de absorție IR ale clorurilor de tio-carbamoil N,N -disubstituite. Structura clorurilor de tio-carbamoil este asemănătoare formal cu cea a tetraalchil-tiuram-disulfurilor, în cele două grupe de substanțe grupările fundamentale vibraționale sunt:



Deoarece masele atomice ale sulfului și clorului sunt apropiate, masile reduse, momentele de inerție și constantele de forță sunt diferențiate doar de lungimea diferită a legăturii C-S respectiv C-Cl. Faptul că ordinul de legătură al legăturii C-Cl este similar cu cel al legăturii C-S face ca structura să fie mai apropiată de cea a anionului dialchiliditiocarbometat.

Ca și la tetraalchil-tiuram-disulfuri, cuplările vibracionales ale legăturilor C-N și C=S sunt deosebit de importante, așa că este foarte dificil de identificat vibratiile proprii legăturilor. Considerăm și aici cîteva bune caracte-

ristice sistemului tioamidic, drept vibrății de schelet și vom identifica doar benzile "tioamidă I-γ" 180 .

Banda "tioamidă I" este o contribuție majoră a vibrăției caracteristice legăturii C-N, cum s-a determinat prin calcule de vibrății normale pentru tioformamidă 184 , tiouree $^{185},^{187},^{202}$, N,N' -dimetiltiouree 188 și anionul dimetil-ditio-

carbometat $^{189},^{190}$. Această bandă este sensibilă la modificările structurale. În cazul clorurilor de tio-carbamoiil N,N -disubstituite această bandă apare în domeniul $1480-1535\text{ cm}^{-1}$, ceea ce dovedește că legătura C-N are un important caracter de dublă legătură. De remarcat că frecvența benzilor "tioamidă I" pentru clorurile de tio-carbamoiil N,N -disubstituite cu radicali alchilici mici sunt mai înalte decât cele ale produselor disubstituite cu radicali mai mari, care pot impiedica cel puțin parțial coplanaritatea moleculei, și astfel conjugarea sistemului NCS. De altfel, aceiași remarcă se facea cu privire la această bandă din tetraalchil-tiuram-disulfuri. Derivații substituiți cu grupă fenilikă (PhTCC și PhETCC) prezintă frecvențele cele mai joase, fapt justificat de efectul steric și mai ales cel mesomer al acestei grupe.

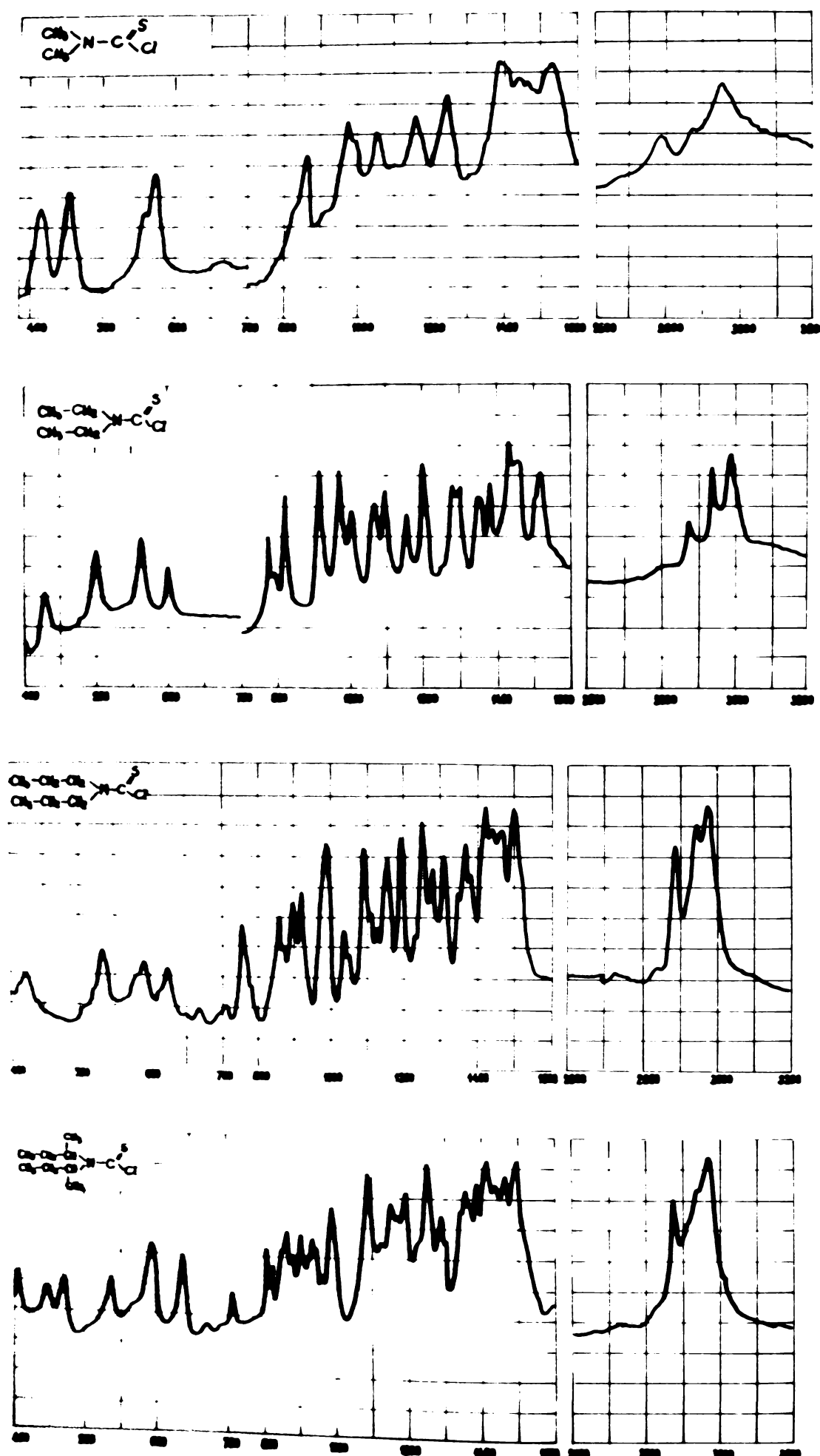
Dăsi datele de literatură nu concordă cu privire la frecvența și natura benzii "tioamidă II", atribuim banda $1200-1250\text{ cm}^{-1}$ din spectrele clorurilor de tio-carbamoiil disubstituite acestei vibrății. Natură benzii constă probabil într-un cuplaj al frecvențelor legăturilor C=S, C-N și chiar C-C, deci o vibrăție de schelet.

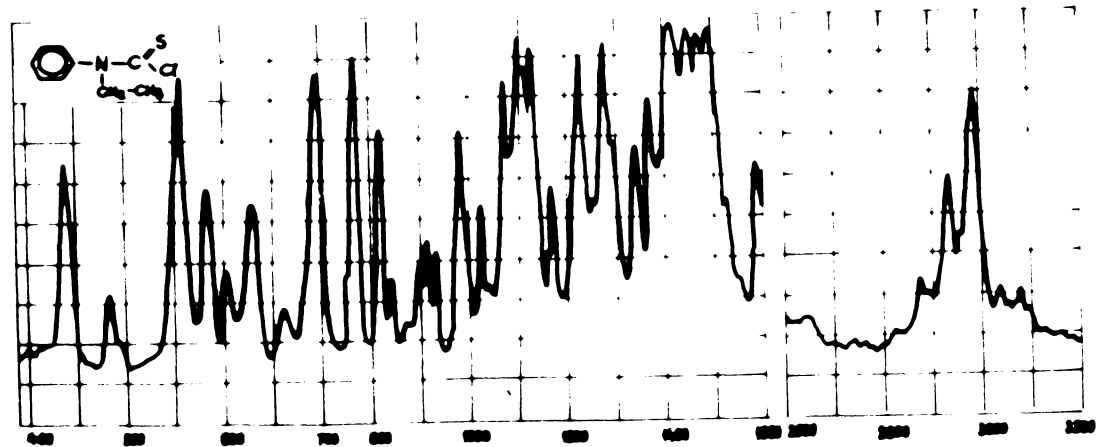
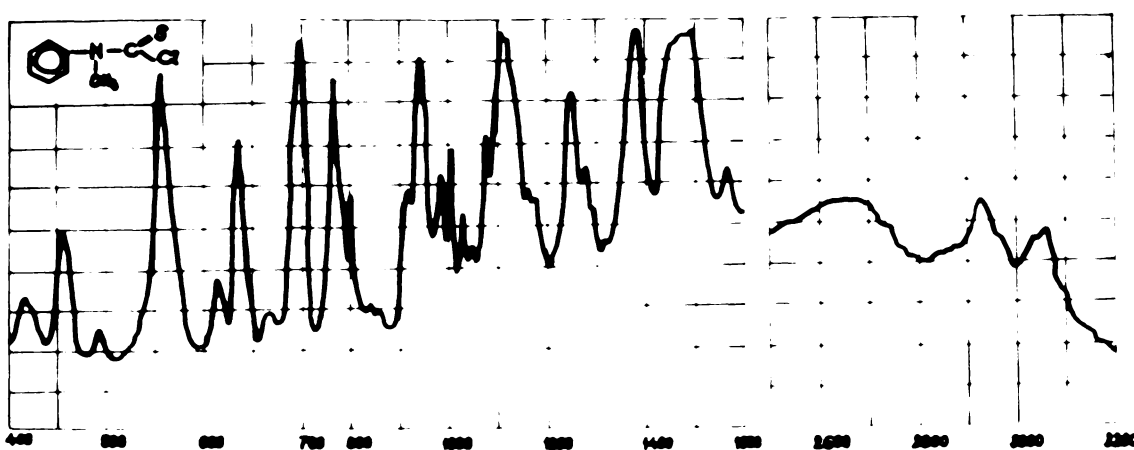
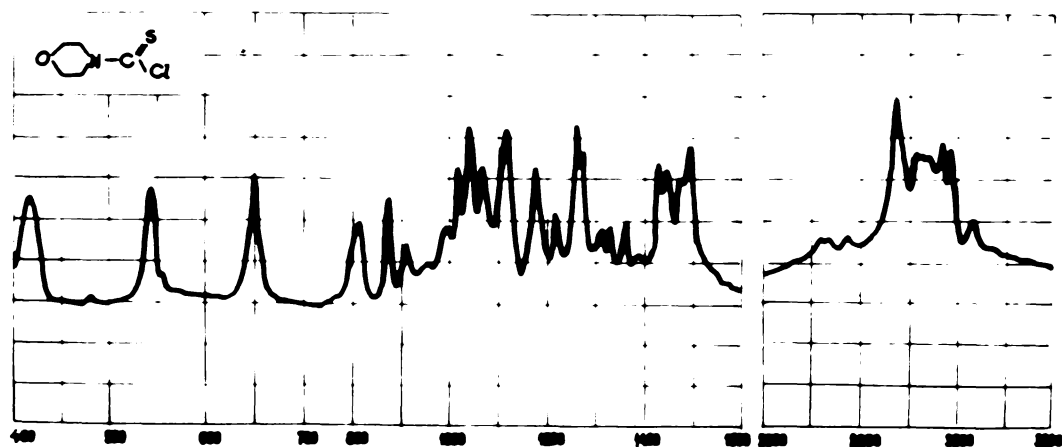
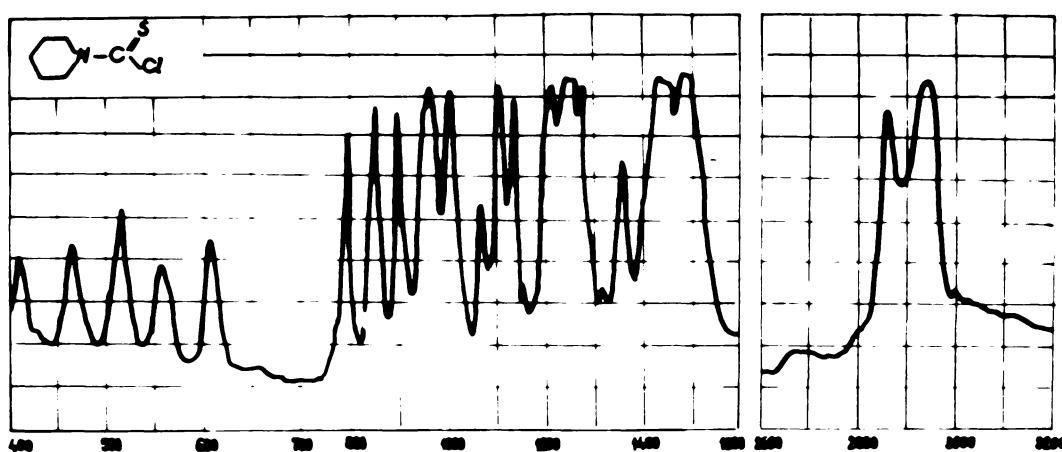
Tabelul 12. Atribuirea principalelor bengi din spectrul IR al clorurilor de tition-carbenozil N,N-disubstituite.

Atribuirea	DFTCC	DFTCC	DFTCC	5'TCC	1'P1CC	FH-TCC	FhE1CC
δ CH ₃ ss	2948 s	2988	2970 1	2968 1	-	2980 m	2982 1
δ CH ₂ ss	-	2940 1	2940 1	2945 1	2928 1	-	2922 m
δ CH ₃ s	2975 m1	2878 1	2880 1	2900 m	-	2875 s	2885 s
δ CR ₂ s	-	-	-	-	-	-	2970 s
NCS I	1532 1	15081/15201	1500 1	1498 1	1495 1	1495 1	1492 1
δ CH ₃ ss	1446 1	1460 1	1465 1	1470 1	-	-	1460 1
δ CH ₂	-	-	14321/14481	1440 1	1440 1 1443m/1455m 1432m/1447 m -	-	1448 1
δ CH ₃ s	13931/1410s	1380 m	1380m/14201	13901/14181	-	-	13801 / ? 1374m/14181
δ CH ₂ s	-	1355 m	1346m/1368m	1358 m	1360 m	1364 m	-
-	-	1310 m	1303 m	1280 1	1310 m	-	1296 m
NCS II	1245 1	1285 m	1248 1	1255 1	1245 1	1260 1	1250 1
-	-	1200 1	1190 m	1192 1	1222 1	1222 m	-
δ NC ₂ ss	1163 1	1058 m	1156 m	1155 m	1160 m	1180 m	1178 m
NCS III	1056 1	1072 1	1090 1	1090 1	1110 1	1118 1	1110 1
δ NC ₂ s	994 1-u	1008 m	1030 m	993 m	1010 1-u	1020 m	1008 m
δ CSCl	975 1	972 1	988 1	952 m.u	965 1	991 m	982 m
NCS IV	862 1	827 1	850 1	870 1	855 1	870 m	845 1
δ CH ₂ s	-	780s/793 s	753s/-	710s/811s	798 s	800s.u/812s	-
NCS V	575 m	562 m	590 m	595 m	555 m	542 m	557 1
δ C-Cl	560 m	500 m	525 m	535 m	615 m	645 m	615 m
δ NCSCl	455 m	500 m	?	445s/470s	465 s	482 s	457 s
δ CSCl	418 m	430 s	423 s	403 s	411 s	416 m	418 s

* Presecurtile denumitele benzilar corespund capitolului 2•1•3.
** Pentru intenitatile benzilar de absente se folosesc presecurtile din tab.5

Fig.16-23. Spectrele IR ale clorurilor de tio-carbamoil
 N,N -disubstituite preparate, in film solid,
in domeniul $400-4000\text{ cm}^{-1}$.





Benzile "tioamide III și IV" se consideră că au o contribuție majoră C=S 177, 186-190, și apar în domeniile $1050-1120 \text{ cm}^{-1}$ și respectiv $820-875 \text{ cm}^{-1}$ în compușii acestia. De obicei în tioamide banda NCS III are un dublet, de aceea poate considera și frecvența vecină, de la $1155-1180 \text{ cm}^{-1}$ aparținând aceluiași grup de vibrație, deși în acest domeniu poate săpare și frecvența de schelet caracteristică grupei di-alchilaminice, cu caracter majoritar de legătură N-C(alchil).

Decarece frecvența benzii "tioamide IV" scade mult la coordonarea unui cation la sulf și crește prin grefarea la axot a grupelor respingătoare de electroni 180 , trebuie să admitem că cea mai mare contribuție o are C=S. În produsele studiate aici această bandă apare într-un domeniu de frecvențe mai înalte față de tioamidele simple ($690-790 \text{ cm}^{-1}$) sau tioamei ($730-830 \text{ cm}^{-1}$), argumentând pentru un ordin de legătură mai apropiat de 2 pentru legătura C=S.

Banda "tioamide V" care aparține unor vibrații de deformare este mult mai caracteristică. Am atribuit acestei vibrații o bandă intensă sau medie în domeniul $550-600 \text{ cm}^{-1}$. Alte vibrații de deformare caracteristice clorurilor de tio-carboil N,N-disubstituite apar în domeniul $400-490 \text{ cm}^{-1}$ și le-am atribuit grupurile NCSCl și respectiv CSCL.

Vibrația de valență C-Cl este de obicei dificil de atribuit. Calculale de vibrații normale atribuie acestei vibrații două benzi din spectrul fosfogenului la 570 și 849 cm^{-1} ²¹⁰, tiofosfogenului la 810 și 780 cm^{-1} ²¹¹, pentru cloroformatul de metil 487 cm^{-1} ²¹² sau 822 cm^{-1} ²¹³, iar pentru cloroformatul de etil o bandă la 487 cm^{-1} ²¹⁴. Un studiu de intensități integrate efectuat pe câțiva cloroformiați de fenil substituiți atribuie acestei legături o bandă de la $480-586 \text{ cm}^{-1}$ ²¹⁵. Vibrației de valență C-Cl i s-a atribuit o bandă ce apare la $445-447 \text{ cm}^{-1}$ în spectrul clorurii de N-metil-carboil¹⁷⁵, și la $560-672 \text{ cm}^{-1}$ în spectrele clorurilor de N,N-dialchil-carboil¹⁶².

În cazul clorurilor de tio-carboil N,N-disubstituite atribuim o bandă din domeniul $500-695 \text{ cm}^{-1}$ acestei vibrații. Diferențele mari ce apar între frecvențele acestor benzi la compușii studiați sugerează o cuplare destul de puternică cu alte vibrații, ea cele aparținând legăturilor C=S sau C-X.

In spectrul D₁BTCC, se evidențiază clar vibrațiile corespunzătoare grupei metinice, de valență la 3008 și de deformare la 1370 cm⁻¹. Prezența nucleului fenilic în ultimii doi compuși este subliniată de benzile de vibrație de valență C-H, de deformare și de deformare în afara planului în Ph-TCC la 3042, 3067 și respectiv 1470 și 772 cm⁻¹, iar la PhETCC la 3040, 3068 și respectiv 1470 și 768 cm⁻¹.

2.3. Cinetica și mecanismul solvolizelor clorurilor de carbamoil și tio-carbamoiil N,N-disubstituite.

2.3.1. Cinetica și mecanismul solvolizei clorurilor de N,N-dialchil-carbamoiil ²¹⁶.

Clorurile acidului carbonic, un caz particular al clorurilor acide prezintă unele aspecte interesante în mecanismul de substituție nucleofilic. Unele dintre aceste aspecte sunt cunoscute din reacțiile cloroformiatului de etil cu anilinele substituite ²¹⁷ și hidroliza cloroformiajilor de fenil substituiți ²¹⁸.

Cu toate că solvolizele cloroformiajilor de alchil au fost studiate în repede rânduri, se cunosc puține lucruri cu privire la reacțiile clorurilor de N,N-dialchil-carbamoiil.

Hall ^{97,98} a demonstrat că mecanismul hidrolizei clorurii de N,N-dimetil-carbamoiil în apă-dioxan (86,1 % vol) este monomolecular. El s-a bazat pe efectul cinetic al legii acțiunii maselor și pe insensibilitatea vitezei de reacție la prezența unor agenți nucleofili puternici ca : ionul hidroxil, pirolidină și hidroxil-amină, de asemenea pe parametrii de activare ai reacției și acțiunea catalitică a ionului mercuric. Acest mecanism a fost confirmat pentru reacția de hidroliză a clorurilor de N,N-diisopropil - și N,N-pentametilen-carbamoiil în apă-acetonă (10,9 % vol) ²¹⁹ și a XCC în apă ⁹⁶.

Pentru reacția DMCC cu diverse amine alifatice Hall și propus un mecanism bimolecular ⁹⁹.

In acest capitol sunt prezentate datele cinetice ale reacțiilor DCC cu o serie de compuși hidroxilici, apoi ale hidrolizei și etanolizei clorurilor de N,N-disalchil-carbamoyl, precum și relațiile liniare de energie liberă corespunzătoare.

Constantele de viteză de pseudo-ordine 1 pentru solvoliza DCC cu diverși alcooli și cu acidul formic și parametrii de activare corespunzători sunt date în tabelul 13.

Reprezentind grafic logaritmul constantelor de viteză ca funcție de constantele de polaritate ale substituențiilor radicali alchilici, σ^* ²²⁰, alcoholiza DCC la 80° este reprezentată de dreapta din fig.24. Aceasta are forma

$$\log k = -1,855 + 8,50 \sigma^* \quad r = 0,999$$

Această corelație Hammett neașteptată de bună a constantelor de viteză cu σ^* demonstrează că în aceste cazuri grupurile alchilice din alcooli exercită doar un efect polar în starea de tranziție.

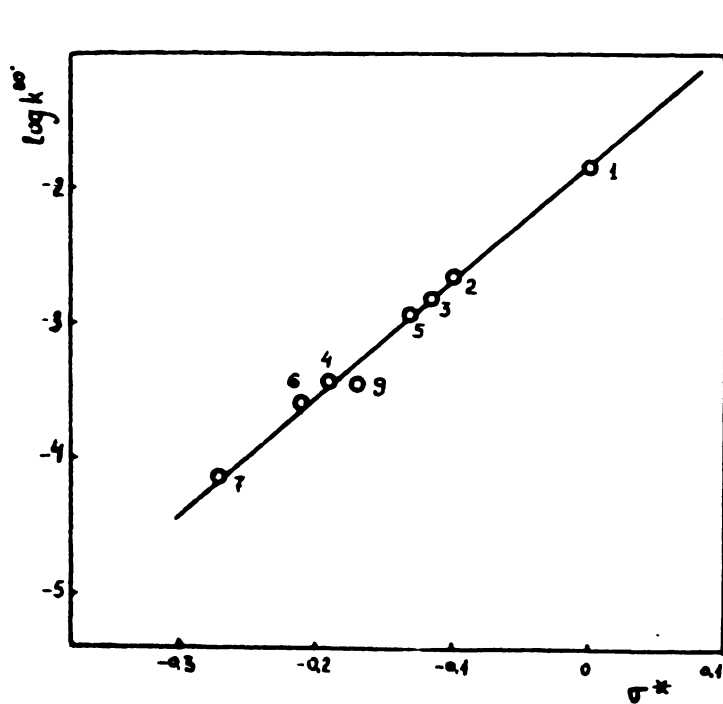


Fig.24. Dependenta logaritmului constantei de viteză de σ^* pentru alcooliză DCC la 80°. Alcooli sunt numeroatați ca în tab. 13.

Valoarea pozitivă a β^* arată că vitesa de reacție depinde de aciditatea protonului alcoolic, și amine de capacitatea sa specifică de a solvata gruparea reactivă. Acest fapt corespunde unui mecanism monomolecular. Pentru un mecanism bimolecular ar fi de așteptat valori β^* negative și de asemenea un important efect steric al radicalului alchilic, care s-ar manifesta printr-o corelare foarte proastă în cazul de mai sus²²⁰.

Văabilitatea acestei ipoteze este demonstrată și de excelenta corelare a logaritmului acestor constante de viteză cu parametrii empirici de solvent E_T . În figura 25 este dată reprezentarea grafică pentru această corelare, o dreaptă de formă :

$$\log k = -9,20 + 0,223 E_T \quad r = 0,991$$

Viteza de reacție crește cu mărirea polarității solventului. Valurile parametrilor empirici de solvent exprimă polaritatea solventilor, măsurată prin solvocromia unor compuși la care poziția maximului de absorbție depinde mult de polaritatea solventului²²¹.

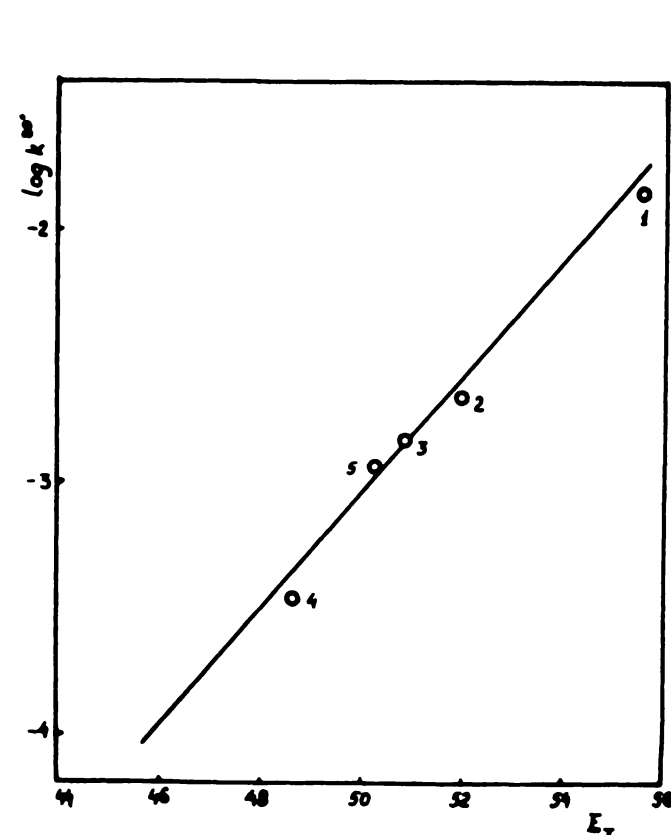


Fig.25. Dependenta $\log k$ de parametrii de solvent E_T ²²¹ pentru alcooliss DMCC la 80° . Alcooli sunt numerotăți ca în tabel 3.

Tabelul 15. Viteza de reacție și parametrii de activare pentru soluția DMSO

	No.	Compound	τ^* a	R_T^b	$10^2 [DMSO]$	Conc. d mol/l	Temp. °C	n^c	$\Delta H'$ Kcal/mol. mol. $^{-1}$	$\Delta S'$ cal. $^{-1}$ K^{-1}
1.-	NaOH	0,00	55,5	1,34	20,4	25	90	2,9540,01		
				1,10	30,0	20	95	9,1040,06		
				1,09	39,5	20	95	27,5040,06		
					80,0		1400f		19,9	-3,0
2.-	BuOH	-0,100	51,9	1,25	50,0			1,35f		
				1,23	40,0	25	80	5,0540,02		
				1,13	50,0	20	90	14,7340,05		
				1,28	60,0	15	90	35,6040,15		
				1,45	60,0	20	90	36,3040,20		
					80,0		224,0f		20,0	-14,0
3.-	PrOH	-0,113	50,7	1,07	60,0	20	85	21,440,1		
				1,10	70,0	20	95	57,040,4		
				1,93	80,0	20	90	149,040,9	22,7	-7,6
4.-	EtOH	-0,190	48,6		30,0			1,49f		
				1,40	50,0	20	79	6,0340,03		
				1,28	60,0	20	86	11,240,2		
				1,39	70,0	15	96	20,540,2	12,8	-38,4
5.-	BuOH	-0,130	50,2		80,0			34,5f		
				1,43	60,0	15	90	21,640,1		
				1,26	70,0	15	90	32,340,2		
				1,26	80,0	15	90	117,040,2	19,3	-16,7

	Nr.	Conținut crt. hidroxil 110	σ^* a	R_T	$10^2 [\text{DCC}]$	Tgmp. n_c	Conver- d (ktp) 10^5 sec ⁻¹	ΔH^\ddagger Kcal mol ⁻¹	ΔS^\ddagger cal mol ⁻¹ K ⁻¹
6.-	See BuOH	-0,210	1,43	70,0	20	90	11,620,1		
			1,37	80,0	20	90	28,220,3		
			1,31	90,0	20	90	58,420,2	17,9	-24,6
7.-	$2\text{C}_8\text{H}_{17}\text{-OH}$	-0,270	8	80,0		7,01			
			1,47	90,0	15	65	17,020,2		
			1,50	100,0	15	74	32,920,3		
			1,72	110,0	10	75	61,720,5	16,4	-30,7
8.-	$\text{HCCH}_2\text{CH}_2\text{OH} + 0,250\text{H}$	56,3	1,62	30,0	15	85	41,020,2		
			1,65	40,0	20	80	122,020,4		
			1,07	45,0	20	90	298,021,2		
			1,65	50,0	10	90	380,024,7		
			80,0			25800	21,1	-4,5	
9.-	Ciclo $\text{C}_6\text{H}_{11}\text{OH}$	-0,170	1,39	70,0	20	90	14,7520,05		
			1,35	80,0	20	90	32,220,1		
			1,24	90,0	20	90	68,820,1	18,5	-22,1
10.-	HCOOH (99,0%)		1,20	25,0	15	90	23520,5		
			1,56	30,0	10	95	37024		
			1,08	35,0	10	84	57921	15,3	-19,1

a. Constantele σ^* conform (220); b. Constantele și conform (221); c. Numele de constantă determinată d. Constanța f care ordonă reacție se menține: $\bullet p=0,675 \frac{\sum (x-x_i)^2}{\sum (\sigma^*_{\text{sec}})^2} / \eta^2$; f. Determinarea din ecuația Arrhenius: g. Calculat din factorul $f = 1,67$ ($f = \sigma^*_{\text{sec}} / \sigma^*_{\text{ref}}$) și h. calculat în valoarea limită pentru radicalii alchili lungi $\sigma^* = -0,162$; efectul indirectiv produs de grupe metilenă $\text{O}-\text{CH}_2-\text{CH}_2-$ este de $0,65$ (220).

Verificarea acestei comportări se poate face mai bine cu ajutorul parametrilor de solvent γ . Acești parametri caracterizează polaritatea unui solvent prin mijloace chimice, și anume prin măsurarea vitezei de ionizare a clorurii de t-butil, exemplu clasic de substituție nucleofilă monomoleculară²²². Corelarea Grundwald-Winstein duse la o dreaptă (fig.26) de forma

$$\log k = -3,42 + 0,620\gamma \quad r = 0,992$$

Ambele corelații cu parametrii de solvent dovedesc clar deosebită importanță a capacitatii de ionizare a solventului, și conform schemei Huges-Ingold de prevedere a efectului solventului asupra vitezei de reacție²²³, condus la concluzia unui mecanism de tip S_N1.

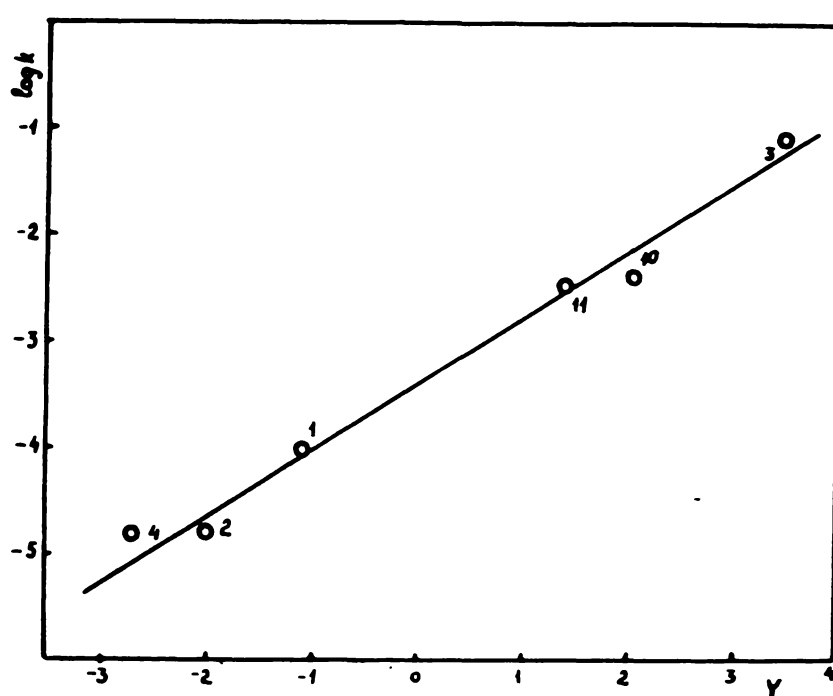


Fig.26. Dependența $\log k$ de parametrii de solvent γ^{222} pentru solvalizarea DECC la 30°; numerele corespund tab.13, 14 iar nr. 30 corespunde apoi 96.

Datele cu privire la hidroliza și etanoliza clorurilor de N,N-dialchil-carbamoil sunt prezentate în tabelele 14 și 15. Constantele vitezelor de reacție și parametrii de activare din tab.14 corespund hidrolizei cu apă-acetonă (1:1 vol) iar cele din tab.15 pentru etanoliza cu etanol pur.

S-a verificat valabilitatea mecanismului monomolecular prin extinderea de la DCC la celelalte cloruri de N,N-di-alchil-carbamoyl. Pentru aceasta s-a traseat graficul unei corelații de tip Taft (fig.27) care să ţină seama și de polaritățile și de influențele sterice ale substituenților grefați la atomul de azot. Constantele sterice de substituent, E_s , sunt determinate din reacția de hidroliză a esterilor în care predomină aspectele sterice (valoarea ρ^* foarte scăzută)²²⁰.

$$\frac{1}{2E_s} \log \frac{k}{k_0} = s + \rho^* \frac{E_s}{E_s}$$

Pentru hidroliza clorurilor de N,N-dialchil carbamoyl la 50° s-au determinat parametrii $\rho^* = -4,11$ și $s = +0,80$ ($r=0,992$) iar pentru etanoliză la 50° $\rho^* = -3,70$ și $s = +0,62$ ($r=0,956$) (fig.27). Valoarea negativă a parametrilor ρ^* din relațiile Taft indică

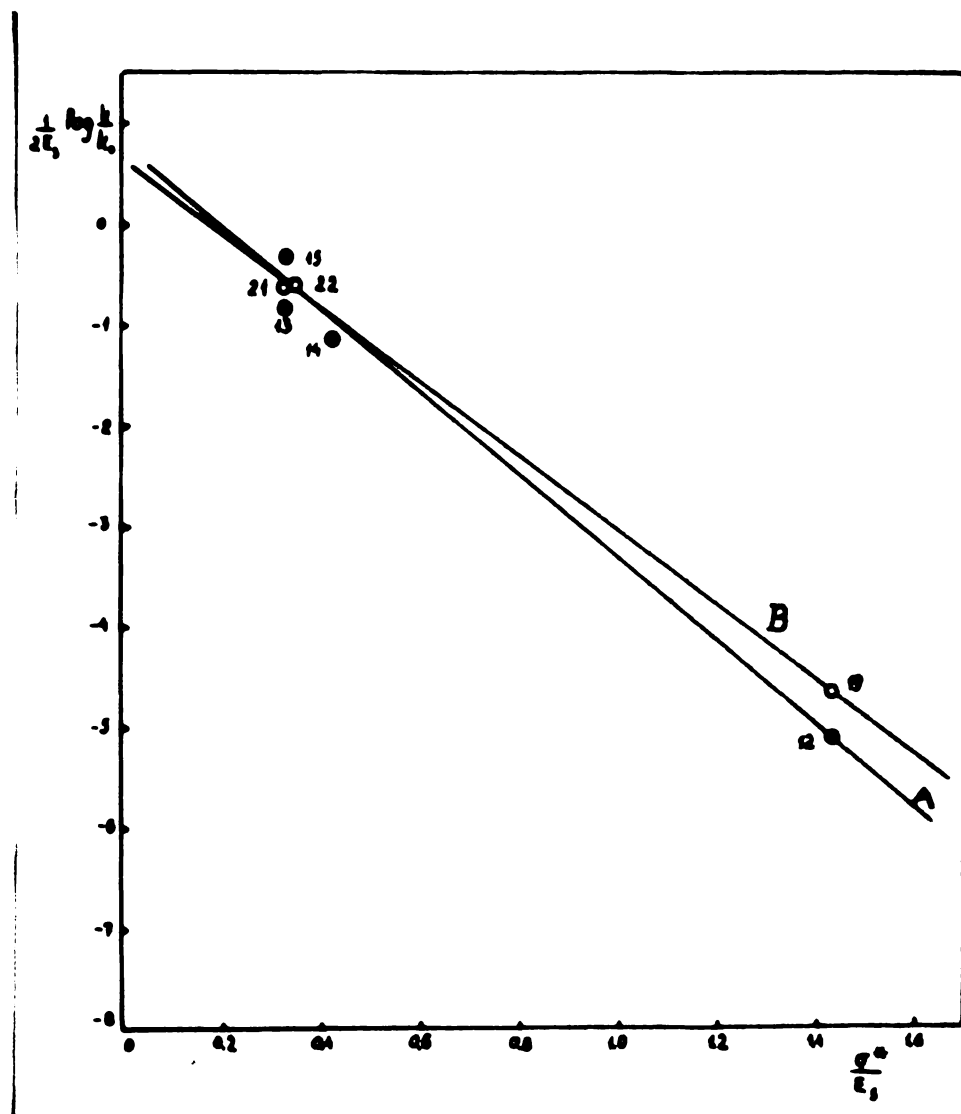


Fig.27. Corelare Taft a logaritmului constantei de viteză la hidroliză (A) și etanoliză (B) la 50° a clorurilor de N,N-dialchil-carbamoyl, funcție de σ^* și E_s ale radicalilor alchili numerele corespund tablelor 14 și 15.

Taboulul 14. Constanțele de viteza și parametrii de activare pentru hidroliza în apă-acetona (1:1 vol) a clorurilor de N,N-disiachil-carbanoli.

Nr. R ₂ NCOCl	R ₂ ext.	Temp °C	10 ² R ₂ NCOCl mol/l	Conver. %	Time sec. ⁻¹	kcal. mol. ⁻¹	kcal. mol. ⁻¹	ΔH [*] kJ. ⁻¹	ΔS ^t J.K. ⁻¹
11.- Me ₂	0,000	0,000	1,36	20,0	90	1,00±0,03			
		1,16	25,0	17	90	1,80±0,01			
1,02	30,0	20	90	5,27±0,01					
0,97	50,0	18	95	28,5±0,2	20,4	-2,6			
0,77	30,0	12	96	6,91±0,02					
0,69	40,0	10	90	25,4±0,4					
			50,0	14,6 ^f	18,3	-5,8			
12.- Et ₂	-0,07	-0,100	0,81	20,0	17	75	3,90±0,02		
		0,77	30,0	12	96	11,2±0,1			
0,69			50,0	8	85	10,6±2			
				0,65	20,0	12	90	227±0,7	
1,05				0,66	30,0	17	95	239±0,7	
14.- iPr ₂	-0,47	-0,190	0,65	20,0	8	85	21,2	+2,6	
		0,66	25,0	12	90				
0,97			30,0	17	95				
1,05			35,0	9	90	200±0,4			
15.- Bu ₂		-0,390	-0,130	20,0		2,25 ^f			
				0,74	30,0	13	90	6,26±0,03	
0,79				0,79	40,0	15	96	16,7±0,1	
0,64				0,64	50,0	10	94	50,2±0,2	17,4
									-21,2

notole a-c-f corespund taboului 15; b. constantele esteerio de substituent ale radicallor alchilici /220/.

Tabelul 15. Constantile de viteza și parametrii de activare pentru etanoliză
clorurilor de N,N-dicloroanilină

Nr. crv.	R_2KCl	E°	σ^{48}	$10^2 [R_2NCOCl]$	Temp. n° mol/l	Conver-d ($k_{trp} \cdot 10^3$) sec. ⁻¹	ΔH° kcal/mol-1	ΔS° cal/mol-1K-1
18.- Hg_2	0,000	0,00	1,25	40,0	25	80	0,0505±0,0002	-
	1,13	50,0	20	90	90	0,1475±0,0005	-	-
	1,28	60,0	15	90	0,356±0,002	20,0	-	-14,3
19.- Bi_2	-0,07	-0,100	1,61	50,0	20	89	0,665±0,004	-
	0,92	60,0	10	90	1,766±0,04	-	-	-
	1,08	65,0	10	90	2,78±0,02	20,4	-	-10,1
20.- Pt_2	-0,36	-0,115	1,03	50,0	14	84	0,447±0,003	-
	1,01	60,0	20	87	1,23±0,01	-	-	-
	1,24	65,0	10	85	2,15±0,02	22,0	-	-5,8
21.- Ag_2	-0,47	-0,190	1,05	20,0	15	95	2,02±0,02	-
	0,79	30,0	10	95	6,00±0,05	-	-	-
	0,95	40,0	10	95	15,1±0,2	-	-	-
	50,0	-	-	34,2	-	15,7	-	-16,8
22.- Ba_2	-0,39	-0,130	0,90	50,0	12	75	0,420±0,001	-
	0,82	60,0	10	70	1,23±0,006	-	-	-
	0,73	65,0	10	82	1,94±0,010	24,8	-	-6,7

notele a-f corespund tabelului 15.

pentru starea de tranziție formarea unei sarcini parțiale positive la atomul centru de reacție, și anume la atomul de carbon al grupăi COCl. Ori aceasta concordă cu mecanismul monomolecular de ionizare. Deoarece efectul steric al grupelor alchilice grefate la atomul de azot retardă reacția în următoarele cazuri ($S > 0$) înseamnă că starea de tranziție trebuie să fie mai solvatată decât molecula inițială de clorură de N,N-dialchilcarbamoil.

Studiul efectelor electronice ale substituenților din R_2NCOCl s-a făcut prin determinarea comparativă a constantelor de viteză la hidroliză, etanoliză și ciclohexanoliză pentru derivații piperidinici și morfolinici, DMCC și DFCC (tab.16). Se vede că derivatul morfolinic reacționează de aproximativ zece ori mai lent decât compusul piperidinic în toate cele trei solvolize, aceasta din cauza efectului atrăgător de electroni a atomului de oxigen. Niciodată la ciclohexanoliză DFCC nu reacționează mai repede decât DMCC, deși polaritatea scăzută a mediului ar trebui să promoveze un mecanism bimolecular. În realitate sarcina pozitivă marită a carbonului impiedică separarea ionului clorură.

S-a studiat de asemenea efectul polarității solventului asupra vitezei de reacție. În tabelul 17 sunt date constantele vitezei de reacție a DFCC cu etanolul și etilenglicolul în mediul acetonnic. Se observă că scăderea polarității mediului la conținut mai mare de acetonă, duce la scăderea vitezei de reacție.

Datele referitoare la efectul cinetic al legii acțiunii maselor asupra solvolizei acestor compuși sunt prezentate în tabelul 18. Mai este în cazul reacției cu etanolul și acidul formic se evidențiază acest efect de scădere a vitezei de reacție la mărirea concentrației ionului clorură în mediul de reacție.

Așa că efectul polarității solventului și efectul ionului de clorură asupra vitezei de reacție sunt dovezii în favoarea unui mecanism monomolecular.

Pentru a observa dacă starea de tranziție este similară în toate cazurile studiate s-au căutat relațiile iso-cineticice pentru alcooliza DMCC și hidroliza și etanoliză clorurilor de N,N-dialchil-carbamoil. S-au identificat trei seri

Tabeleul 16. Constantele de viteza și parametrii de activare pentru
reacția polimerizării R₂NCOCl.

Nr. expt.	R ₂ NCOCl	Solvent	10 ² [R ₂ NCOCl] mol/l	Temp OC	Convcr.-d sec. ⁻¹	(k ^t -p)10 ⁵ mol ⁻¹ sec ⁻¹	ΔH^\ddagger kcal/mol	ΔS^\ddagger cal/mol-K
						k ^t -p mol ⁻¹ sec ⁻¹		
16.- (CH ₂) ₅ C≡N-acetonă 50 % vol.	1,55	20,0	17	97	0,98±0,01			
	0,98	25,0	19	90	2,20±0,01			
	0,78	16	95	2,43±0,01				
	1,04	20,0	15	97	3,78±0,05			
	1,14	15	93	3,55±0,04				
	0,87	40,0	11	97	13,0±0,2			
	0,80	15	92	15,1±0,02				
	1,37	20,0	16	92	3,57±0,01			
17.- O-(CH ₂) ₂ -OPB-acetonă 50 % vol.	1,21	30,0	10	90	11,7±0,1			
	1,70	40,0	15	90	37,2±0,2			
	1,70	50,0	16	90	1,294±0,005			
23.- (CH ₂) ₅ C≡N-OH	1,35	50,0	16	90				
	1,33	60,0	15	90	3,11±0,01			
	1,15	65,0	10	98	4,45±0,05			
					18,1			-15,9

Nr. erf	R_2NCOC_1	Solvent mol/l	102 [R_2NCOC_1]	Temp °C	Converg. %	ΔH^\ddagger kcal mol ⁻¹	ΔS^\ddagger cal mol ⁻¹ K ⁻¹
------------	-------------	------------------	---------------------	------------	---------------	--	---

24 - $O\backslash(CH_2)_2/\backslash O_2H_5OH$	1,72	50,0	12	67	0,088 ± 0,005		
	1,48	60,0	14	88	0,298 ± 0,005		
	1,32	65,0	15	90	0,409 ± 0,005	21,7	-10,2
$(CH_2)_5\backslash<O\backslash CH_2CH_2OH$	1,05	90,0	21	90	3,45 ± 0,08		
$O\backslash<(CH_2)_2/\backslash O_2H_5OH$	1,27	90,0	16	98	0,410 ± 0,009		

θ, d, ε const from tabelulul 13.

Tabelul 17. Constantele de viteză și parametrii de activare pentru solvolația NCC în anestezie de solventi.

Nr. exp.	Hidroxilic component	$10^2 [\text{Me}_2\text{NCO}]$	T_{exp} °C	Conver- sie %		$(k_{\text{tp}}) \cdot 10^3$ s ⁻¹	ΔH^\ddagger kcal·mol ⁻¹	ΔS^\ddagger cal·mol ⁻¹ K ⁻¹
				c	d			
25.- EtOH		10	1,29	40,0	20	79	3,80±0,01	
		20	1,32	40,0	20	60	2,35±0,02	
		30	0,96	40,0	20	68	2,32±0,01	
		40	1,12	45,0	15	90	1,68,0±0,1	
26.- HOCH ₂ CH ₂ OH	12,5	1,97	45,0	20	90	99,5±0,2		
		2,45	40,0	20	90	59,8±0,1		
		2,40	35,0	20	90	29,8±0,1	22,3	-2,4
		2,5						

c,d,e conțin tabelul 13.

Tabelul 18. Constanțele de viteză pentru solvolația DICC în prezența LiCl

Nr. Hidroxilic	$10^2 [LiCl]$	$10^2 [Na_2CO_3]$	T_g^{mp}	n_c	Conver- sia %	$(k+p)10^5$	sec^{-1}
Crt. component	Mol/l	Mol/l					
27.- EtOH	2,41	1,41	60,0	15	85	27,8±0,3	
	5,73	1,20	60,0	20	80	23,2±0,6	
28.- $HOCH_2CH_2OH$	4,41	1,65	45,0	15	90	327±1,5	
	8,23	1,09	45,0	15	90	324±1,0	
29.- $NaOCH_3$	0,00	1,25	25,0	16	90	300±2	
	6,21	1,57	25,0	10	90	234±2	
	11,2	1,49	25,0	20	86	231±4	

c,d,e - conforme tabelului 12.

izocinetice prin metoda Petersen²²⁴ (convergența variatiei $\log k/T$ funcția de $1/T$) și Exner²²⁵ (coliniaritatea reprezentării $\log \frac{k}{T_1}$ funcție de $\log \frac{k}{T_2}$). Reprezentarea standard Leffler-Grunwald²²⁰ (coliniaritatea reprezentării entalpiei de activare funcție de entropia de activare) este mai puțin adecvată scopului urmărit și se recomandă a se evita. În figurele 28-33 sunt date aceste corelații de evidențierea seriilor izocinetice prin cele trei metode, iar în tabelul 19 se dau temperaturile izocinetice determinate astfel, valorile acestora concordând în bună măsură.

Tabelul 19. Temperaturile izocinetice determinate prin metodele Leffler-Grunwald²²⁰, Petersen²²⁴ și Exner²²⁵.

Reacția	Temperatură izocinetică °K		
	Seria Leffler- Grunwald ²²⁰	Petersen ²²⁴	Exner ²²⁵
Alcooliza N_2NCOCl	A 406 B 303 C 280	264 302 283	258 308 286
Hidroliza R_2NCOCl	A 274 B 330	254 342	250 327
Estanoliza R_2NCOCl	C 388 D 396	380 380	380 380

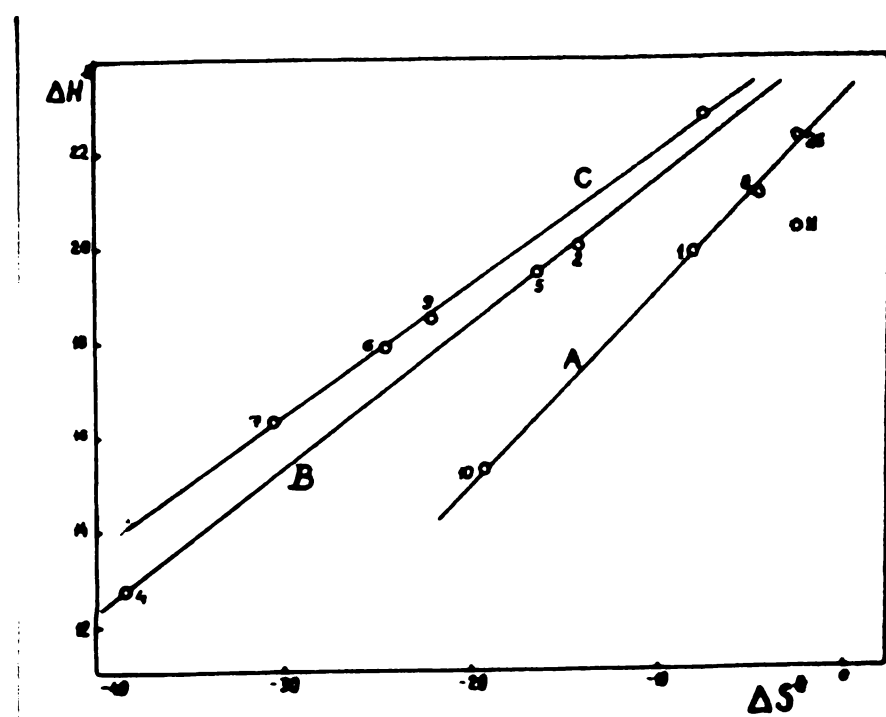


Fig.28. Dependența entalpiei de activare de entropie de activare²²⁰ pentru solvoliza DCCl . Numărurile corespund tabelelor 13,14 și figurilor linile tabelului 19.



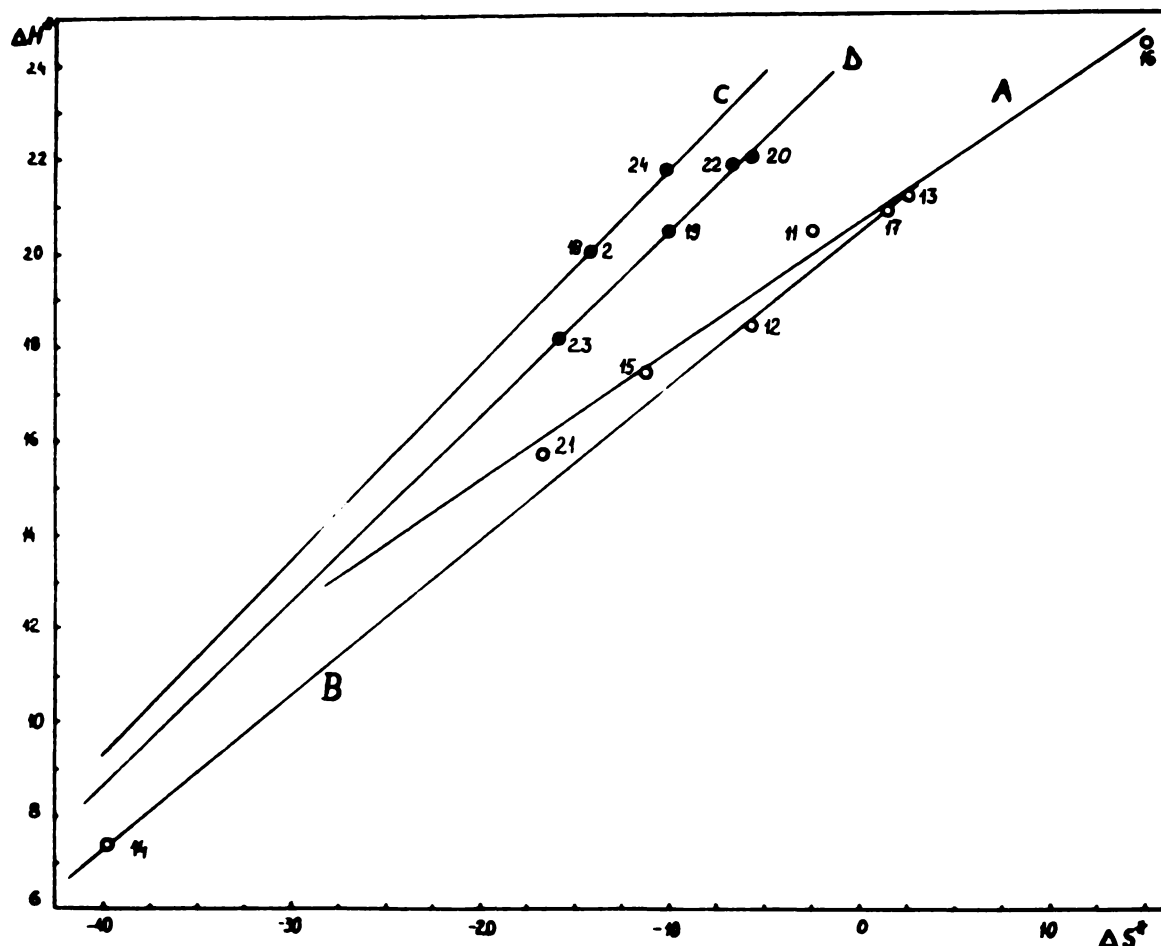


Fig.29. Dependența entalpiei de activare de entropia de activare²²⁰ pentru hidroliza și etanoliză $P_2\text{MCOC}_1$; numerele corespund tabelelor 14 și 15 iar linile tabelului 19.

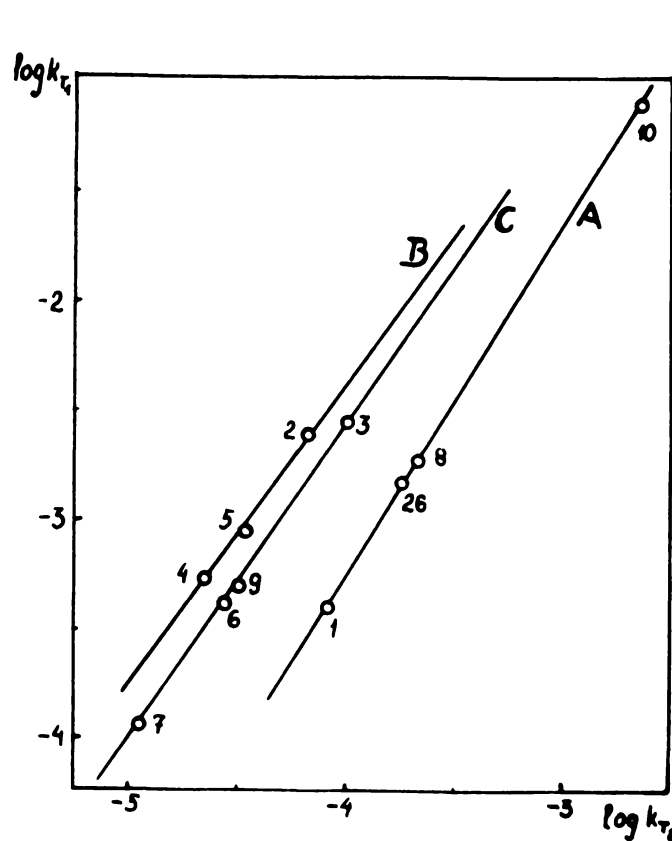


Fig.30. Dependența $\log k_{T_1}$ de $\log k_{T_2}$ ²²⁴ pentru solvoliza H^+CC ; numerele corespund tabelelor 13 și 17 (pentru seria A $T_1=313^\circ\text{K}$, $T_2=295^\circ\text{K}$, pentru serile B și C $T_1=358^\circ\text{K}$ și $T_2=328^\circ\text{K}$)

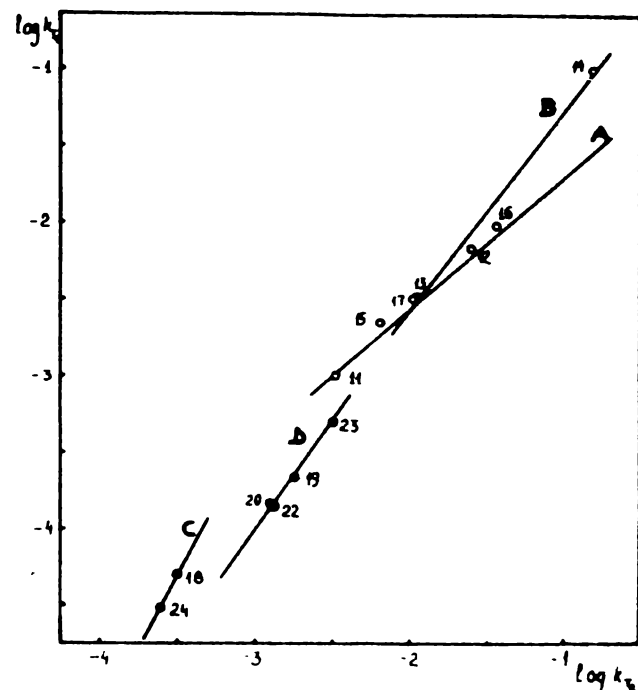


Fig.31. Dependența $\log k_{T_1}$ de $\log k_{T_2}^{224}$ pentru etanoliza și hidroliza R_2NCOC_1 , numerele corespund tab.14 și 15 (pentru etanoliză $T_1=313\text{K}$, $T_2=333\text{K}$ și pentru hidroliză $T_1=293\text{K}$ și $T_2=303\text{K}$).

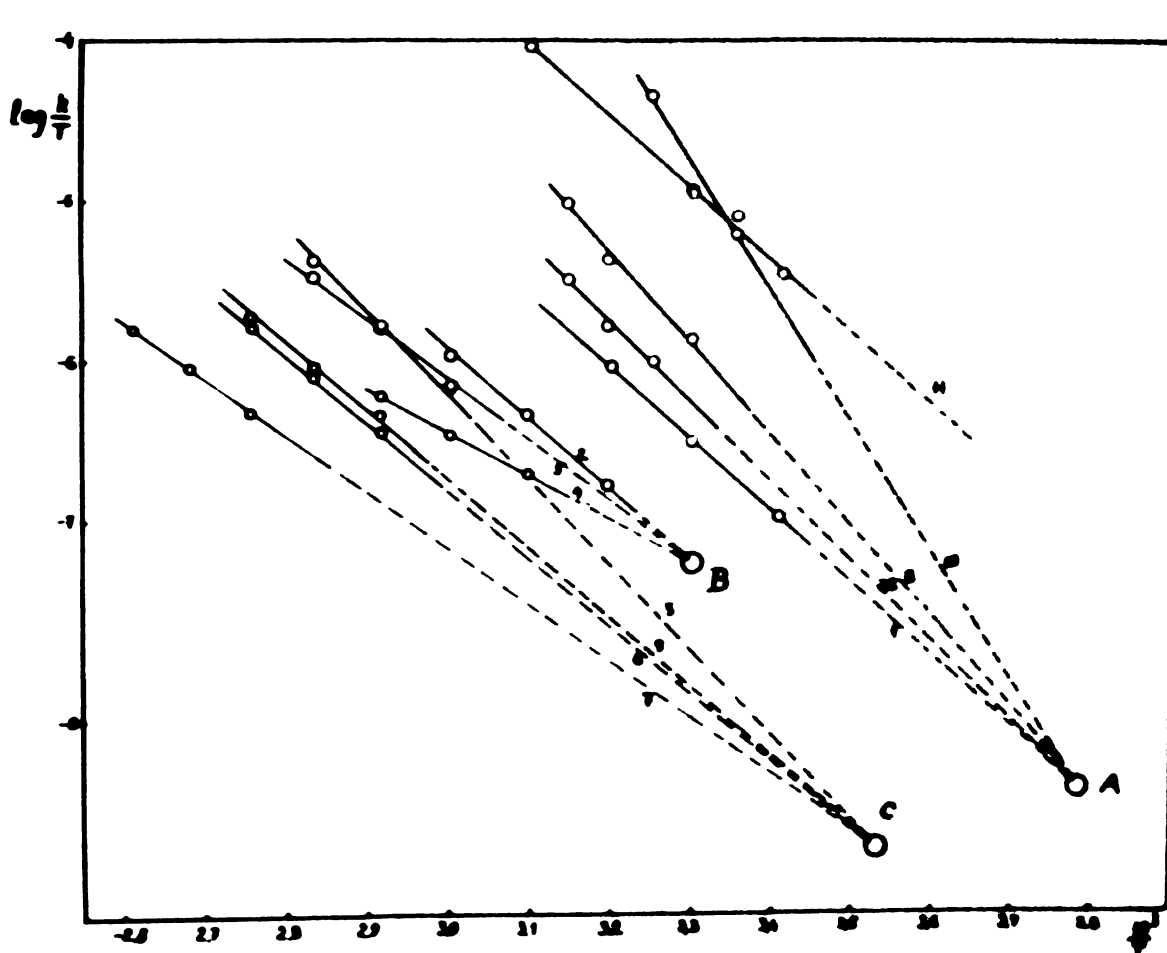


Fig.32 Dependența $\log k/T$ de $1/T^{225}$ pentru solvolizarea NCC; numerele corespund tab. 13, 14 și 17, iar seriile tabelului 19.

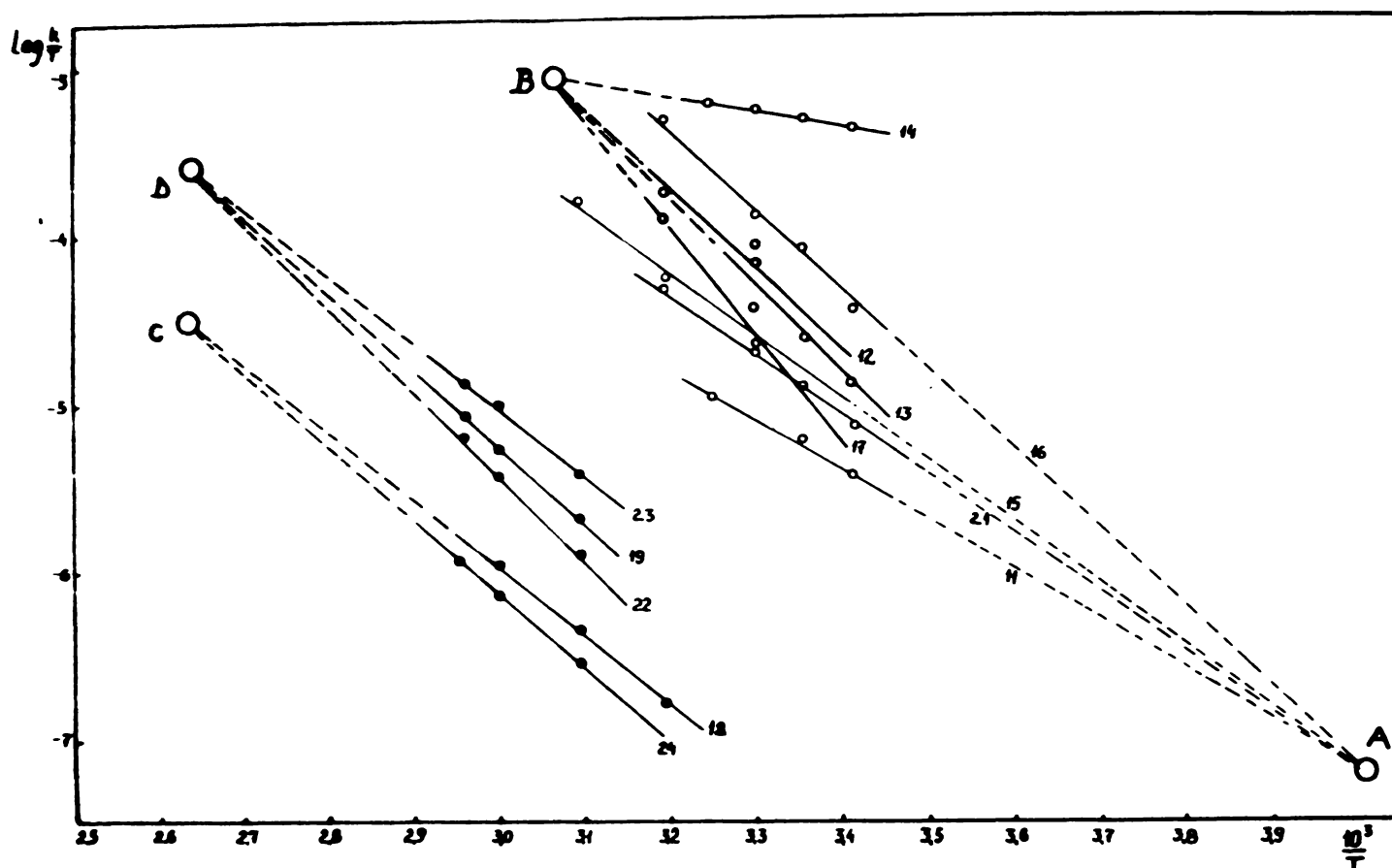
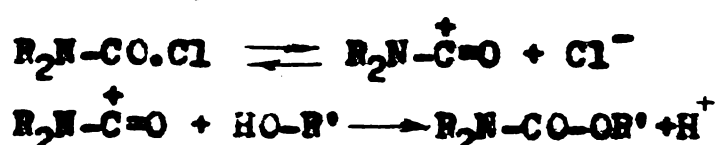


Fig. 53. Dependența $\log k/T$ de $1/T^{2.5}$ pentru hidroliza și etanoliza R_2NCOCl ; numerele corespund tabelelor 14 și 15 și seriile tabelului 19.

In toate solvolizările clorurilor de N,N -dialchil-carbamoil cu compușii hidroxilici studiați s-a demonstrat că mecanismul monomolecular este cel puțin predominant, solvoliza decurgind în două etape :



Este evident că efectul mezomer puternic donor de electroni al grupei R_2N stabilizează ionul aciliu și astfel favorizează un mecanism de ionizare.

Solvatarea stării de tranziție trebuie să joace un rol important în procesul de ionizare, fapt dovedit de efectul steric al grupelor alchilice legate la atomul de azot și din efectul polarității solventului asupra vitezei de reacție.

Seriile izocinetice sugerează că interacțiunile între clorurile de N,N -dialchil-carbamoil și solventi în starea de tranziție a procesului de ionizare este mai complicată decât

s-ar părea. În cazurile întâlnite aici se vede că relațiile izocinetice depind nu numai de aspectele majore ale mecanismului, ci și de unele mai fine, ca de ex. tipul de solvatare al stării de tranziție. Se poate că în fiecare caz să apară două sau trei reacții izocinetice ca urmare a existenței, a două mecanisme de interacțiune^{220,226} în solvatarea stării de tranziție.

Este remarcabil că în unele din reacțiile studiate valoările entropiei de activare sunt foarte scăzute deși mecanismul este monomolecular. Această faptă arată că folosirea criteriului entropiei în favoarea unui mecanism trebuie făcută cu prudență și numai dacă este în concordanță și cu alte argumente.

Efectul cinetic sensibil al legii acțiunii maselor cu privire la acțiunea ionului de cloruri în reacția cu etanolul și acidul formic sugerează că moleculele de solvent sunt competitive cu ionul de cloruri în formarea ionului carboniu din prima etapă, etapa de ionizare. Aceasta poate fi un nou argument al relativării stabilității a ionilor carboniu intermediari, cel puțin în condițiile menționate. Efectul nu se sesizează la reacția cu etilen-glicolul.

2.3.2. Cinetica și mecanismul hidrolizei clorurilor de tio-carbamoil N,N-disubstituite²⁴⁰.

Reacțiile de substituție nucleofilă la clorurile de tio-carbamoil N,N-disubstituite nu au fost studiate până în prezent. De altfel, în literatură există puține date și cu privire la reactivitatea clorurilor de carbamoil substituite. Compusii cei mai apropiati din punct de vedere structural sunt clorurile de carbamoil, tiol- și tio-cloroformișii.

Pentru hidroliza DMCC s-a demonstrat un mecanism monomolecular^{96-98,219}. Acesta este în capitolul anterior²¹⁶ că acest mecanism este valabil pentru hidroliza și alcoo-

lina clorurilor de N,N-dialchil-carbamoil, deci este caracteristic pentru reacția acestora cu nucleofili relativ slabii, cum sunt cei oxigenați. Nucleofili mai puternici, ca aminele alifatice, conduc la un mecanism bimolecular⁹⁹, iar piridina, mai puțin bazică, în solvenți neprotici polari reacționează după același mecanism¹⁰⁷. Un mecanism esențial diferit apare la clorurile de N-aril-carbamoil, care cu aminele alifatice trăc în aril-izociană și cu eliminare de HCl, după un mecanism de tip E₂¹⁴⁰.

Inlocuirea oxigenului cu sulf la cloroformiații de aril nu schimbă mecanismul bimolecular la hidroliză și alcooliză, deși viteza de reacție scade mult. Modificarea vitezei de reacție se datorează unui efect entalpic, probabil ca urmare a micorării polarității legăturii C=S față de C=O, și unui entropic, probabil datorită volumului mai mare al atomului de sulf față de cel de oxigen^{218,228,229}. Spre deosebire de aceeași, tiol-cloroformiații de alchil²³⁰ și ditiocloroformiații de alchil²³¹ hidrolizează în apă după un mecanism monomolecular.

Pentru precizarea mecanismului de reacție al clorurilor de tio-N-carbamoil N,N-disubstituite, care să pară că va fi monomolecular, am studiat hidroliza acestor produse, în soluții apă-acetonice de diverse compozitii. Singurele produse de reacție rezultate au fost clorhidrații aminelor respective, hidrogenul sulfurat și bioxidul de carbon. Clorhidrații aminelor să fie izolați și identificați prin compararea spectrelor IR cu cele ale unor probe autentice.

Reacția globală de hidroliză este :



Formarea ionilor de clorură și a hidrogenului sulfurat s-a urmărit cu ajutorul electroșilor selectivi la ionii de clorură, respectiv sulfură. Cinetica hidrolizei clorurilor de tio-N-carbamoil N,N-disubstituite s-a urmărit prin modificarea conductivității soluțiilor în timp ; constantele de pseudo-ordin 1 și parametrii aparenți de activare sunt prezentate în tabelul 20. În tabelul 21 sunt date constantele de pseudo-ordin 1 și parametrii de activare ai hidrolizei DTC.

resultate prin determinarea potențialometrică continuă a concentrației ionilor de clor cu ajutorul unui electrod selectiv la clorură.

După cum apare evident, constanțele determine conductometric și cele determine potențialometric sunt, în lirita erorilor experimentale, egale. Aceasta demonstrează în mod clar că măsurările conductometrice reprezintă etapa de formare a ionilor de clorură. Compararea parametrilor aparenti de activare determinați prin cele două metode ne poate face o imagine a ordinului de mărime a erorilor care afecteză în mod obișnuit aceste determinări.

Degajarea hidrogenului sulfurat în procesul de hidroliză are loc evident după eliminarea ionului clorură. În fig. 34 se reprezintă grafic variația concentrației ionilor de clorură și sulfură în timp, la hidroliza DMTCC în acetona-apă (70/30 v/v) la 10°C . Alte curbei sugerează variația concentrației unui produs rezultat prin reacții successive. Încercările de simulare pe calculator a unui proces format din două sau trei reacții successive de ordinul 1, ale căror constante de viteză să fie de același ordin de mărime, au dus la aluri diferite. Cele mai bune rezultate, în care curbele teoretice se asează bine peste punctele experimentale, se obțin dacă admitem o perioadă de inducție și un proces de ordinul 2. Rezultatele obținute pentru cîteva temperaturi sunt date în tabelul 22.

Etapa de formare a ionilor de clor în hidroliza DMTCC este puternic favorizată de creșterea polarității solventului, după cum reiese din tabelul 23.

Din corelația entropiei cu entalpia de activare (fig. 35) se poate conchide că toate produsele studiate formează o serie izocinetice. Corelația are forma

$$\Delta S^* = 3,33 \Delta H^* - 66,0 \quad (r = 0,996)$$

Decarece reprezentările seriilor izocinetice prin metodele lui Eyring²²⁵ și Petersen²²⁴ duc la aceeași concluzie am renunțat la reprezentările lor.

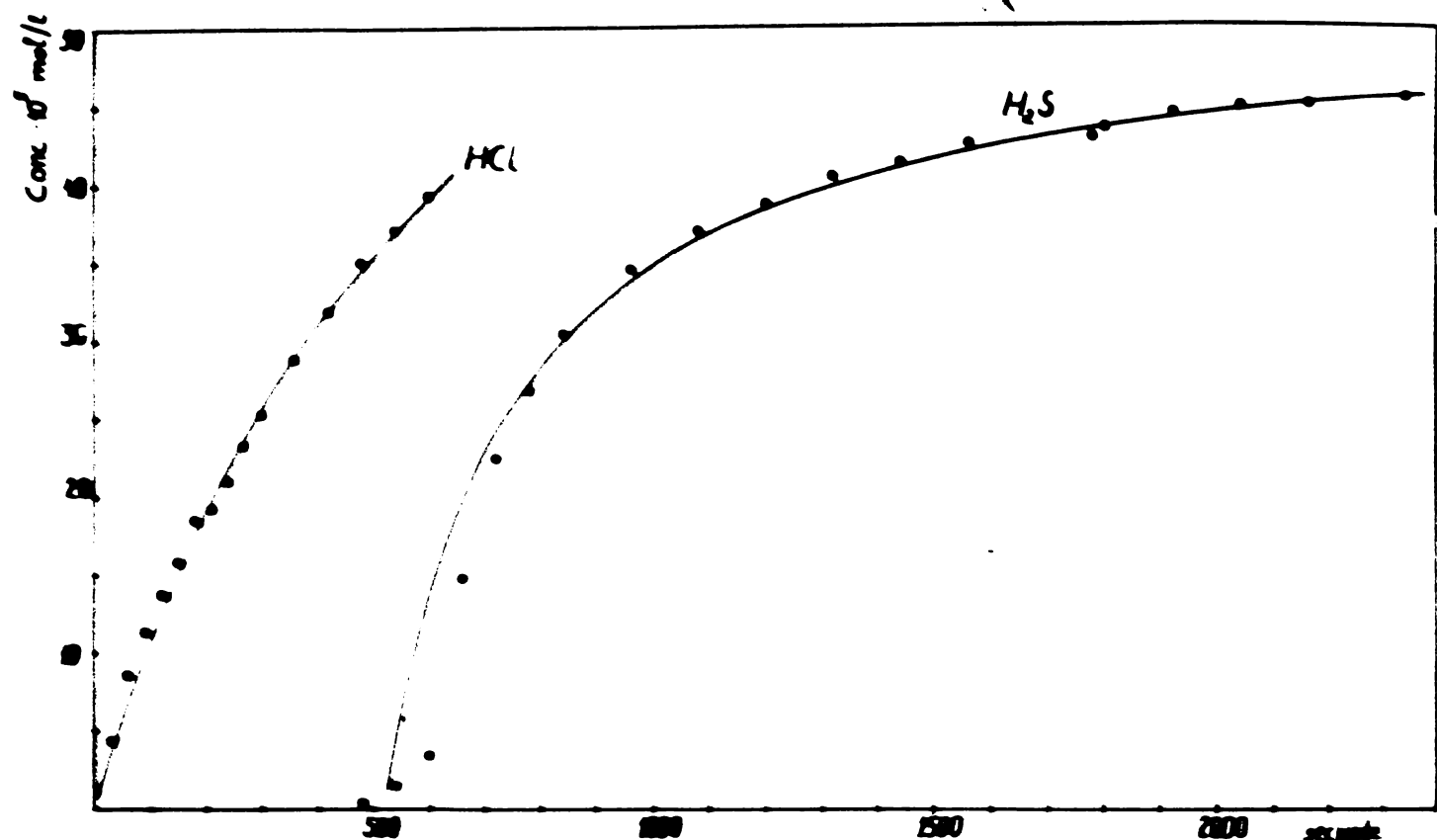


Fig.34. Variatia concentratiei ionului de cloruri si sulfuri in timpul hidrolizei PETCC la 10°C in acetan-epi (70:30 v/v), miciute potentiometrice.

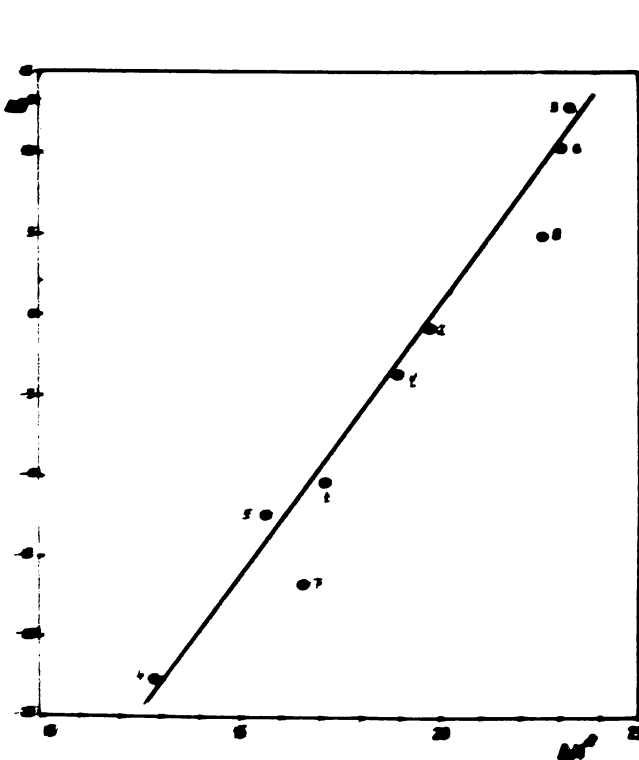


Fig.35. Reprezentarea entropiciei functie de entalpia de reactie la hidroliza clorurilor de tiac-carbazol 7,7-disubstituite in acetan-epi (70:3 v/v). Punctele corespund t + 20 iar 1° valoarilor din tab.22.

Tabelul 2e. Constantele de pseudo-ordin 1 și parametrii aparenti de activare pentru reacția de hidroliză a clorurilor de tio-carbamoiil N,N-disubstituite în acetană-apă (70:30 v/v) determinate conductometricie.

Nr. Compusul	t °C	k · 10³ sec⁻¹	ΔH^\ddagger Kcal/mol	ΔS^\ddagger cal/mol·K	$\frac{R^{232}}{G^* E_s}$		p_{K_a} R_2NH
					G*	E _s	
1. Me₂NCSCl	5	1,0 ± 0,005					
	10	2,01 ± 0,008					
	15	2,45 ± 0,015	17,1	-10,4	0,00	0,00	10,72 ²³³
	20	4,58 ± 0,065					
	25	10,97 ± 0,01					
	30	13,90 ± 0,024					
2. Et₂NCSCl	0	1,79 ± 0,012					
	5	3,69 ± 0,06					
		5,01 ± 0,06					
	10	6,44 ± 0,04	19,7	-1,0	-0,16	-0,07	11,04 ²³⁴
		7,14 ± 0,15					
	15	11,25 ± 0,08					
	20	21,30 ± 0,12					
3. Pr₂NCSCl	5	1,95 ± 0,015					
	10	4,35 ± 0,04					
	15	8,72 ± 0,1	23,2	12,7	-0,115	-0,36	11,00 ²³⁵
	20	11,90 ± 0,15					
4. iBu₂NCSCl	-5	1,82 ± 0,025					
	0	2,37 ± 0,04	12,8	-23,1	-0,125	-0,93	10,91 ²³⁶
	10	5,76 ± 0,13					
	15	10,42 ± 0,04					
5. (CH ₂) ₅ NCSCl	0	2,89 ± 0,025					
	5	5,94 ± 0,06					
	10	7,52 ± 0,04	15,6	-12,7	-	-	11,12 ²³⁷
	15	14,70 ± 0,3					
		17,30 ± 0,25					
	20	22,06 ± 0,4					
6. O(C ₂ H ₄) ₂ N.CSCl	5	0,96 ± 0,008					
	10	1,57 ± 0,014					
	15	3,63 ± 0,02	25,0	10,1	-	-	8,39 ²³⁸
		4,03 ± 0,03					
	20	6,16 ± 0,03					
7. Ph-NMe ₂ .CSCl	15	0,36 ± 0,003					
	20	0,55 ± 0,003	16,5	-17,1	+0,60	-2,55	4,85 ²³⁹
	25	0,97 ± 0,007			0,00	0,00	
8. Ph.NEt.CSCl	15	0,56 ± 0,014					
	20	1,04 ± 0,08					
	25	2,20 ± 0,15	22,5	4,8	+0,60	-2,55	5,12 ²³⁶
	30	4,04 ± 0,03			-0,10	-0,07	

Tabelul 21. Constantele de pseudo-ordin 1 și parametrii aparenti de acțiune pentru hidroliza DMTCC în acetona-apă (70:30 v/v) determinate potențiometric.

Temp °C	$k \cdot 10^3$ sec^{-1}	ΔH^\ddagger kcal/mol	ΔS^\ddagger cal/mol.K
5	$1,15 \pm 0,01$		
10	$2,17 \pm 0,025$		
15	$3,65 \pm 0,04$	18,9	-3,8
20	$5,79 \pm 0,05$		
25	$13,42 \pm 0,09$		

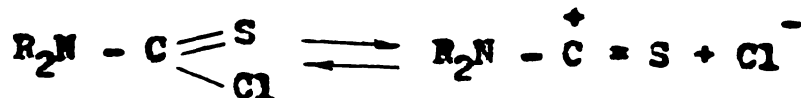
Tabelul 22. Constantele de pseudo-ordin 2 și parametrii aparenti de acțiune pentru reacția de formare a ionului sulfură la hidroliza DMTCC în acetona-apă (70:30 v/v) determinate potențiometric.

Temp °C	Timp de inducție sec.	k 1/sec.mol sec.	ΔH^\ddagger kcal/mol	ΔS^\ddagger cal/mol.K
5	900	$0,44 \pm 0,004$		
10	522	$0,866 \pm 0,01$	13,0	-9,18
20	378	$1,62 \pm 0,02$		

Tabelul 23. Constantele de pseudo-ordin 1 pentru reacția de hidroliză a DMTCC în acetona-apă de diferite concentrații determinate conductometric la 30,0°C.

% vol. H_2O [H_2O] mol/l	E_T^{221}	$k \cdot 10^3$ sec^{-1}	
		5	10
5	3,52	48,3	$0,045 \pm 0,0008$
10	7,02	50,3	$0,225 \pm 0,013$
20	13,94	52,2	$1,750 \pm 0,02$
30	20,74	53,3	$13,89 \pm 0,24$

Entropiile de activare la hidroliza clorurilor de tio-carbamoil disubstituite sunt în general mai mari decât cele găsite pentru hidroliza clorurilor de carbamoil corespunzătoare, ceea ce pledează pentru un mecanism de acțiune non-molecular. Având ca etapă lentică formarea ionilor de clor :



In sprijinul acestui mecanism vine și studiul influențelor inductive, mezomerice și sterice ale radicalilor R asupra vitezei de reacție. Corelarea Taft pentru constantele de viteză la 15° (nr.1-4,7,8 din tab.2o) duce la o relație de forma :

$$\log k = - 2,401 - 1,73 \sum \sigma^* + 0,02 \sum E_g \quad (r = 0,996)$$

După cum se vede, substituenții R donori de electroni prin efect inducțiv favorizează reacția, iar efectele sterice joacă un rol practic neglijabil. Aceeași concluzie reiese și la comparația vitezelor de reacție ale derivatelor piperidinei și nerfolinei (nr.5 și 6 din tab.2o). Radicalii aromatici, atrăgători de electroni prin efect mezomer, micorează densitatea electronică la atomul de azot, destabilizează cationul și în consecință defavorizează procesul de ionizare.(nr.7,8 față de 1,2 tab.2o).

Având acestea în vedere este de așteptat că să apară o dependență clară a vitezei de reacție de bazicitatea aminelor secundare. Într-adevăr, apare o corelare liniară bună pentru acest tip de corelații, între logaritmul constantei de hidroliză la 15° și constanta de bazicitate a aminei corespunzătoare clorurilor de tio-carbamoil N,N-disubstituite. Această corelare (fig.36) poate fi exprimată prin relația :

$$\log k = 0,219 p_{K_a} - 4,384 \quad (r = 0,967)$$

ceea ce demonstrează că în plus că reacția depinde în primul rînd de capacitatea perechii de electroni a azotului de a stabili prin conjugare cationul intermediar.

După cum era de așteptat, ionizarea este puternic favorisată de mărimea polarității solventului. Datele din tab.23 au permis corelații bune cu parametrul E_T (fig.37), respectiv logaritmul concentrației apăi (fig.38).

••//••

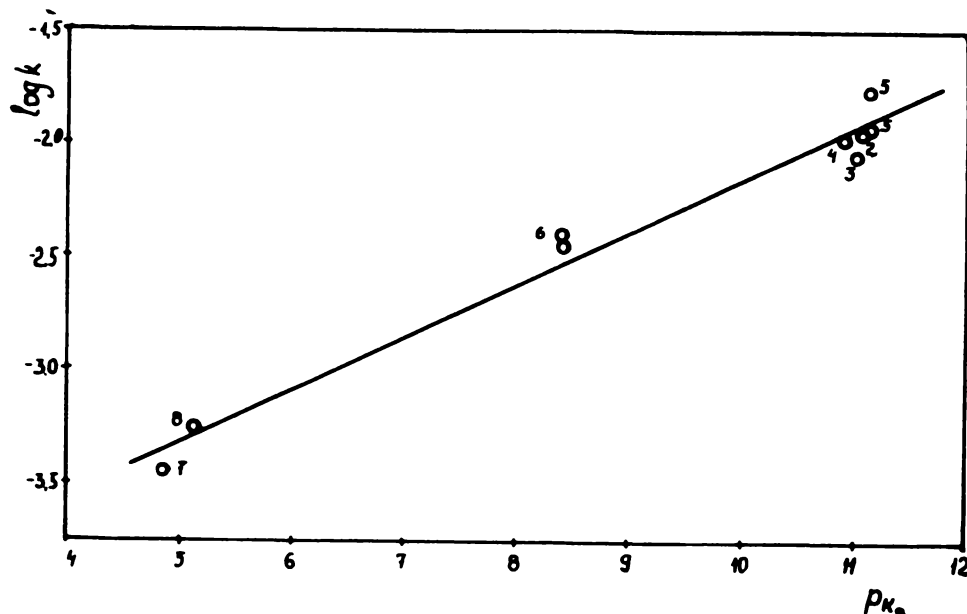


Fig.36. Dependența logaritmului constantelor de hidroliză la 15° de constantele de bazicitate ale amilor corespunzătoare clorurilor de tien-carbamoil disubstituite. Punctele corespund tabelului 8.

$$\log k = 0,488 E_T - 28,05 \quad (r = 0,986)$$

$$\log k = 3,16 \log[H_2O] - 6,211 \quad (r = 0,987)$$

din această ultimă relație se pare că în starea de tranziție sunt implicate încă trei molecule de apă.

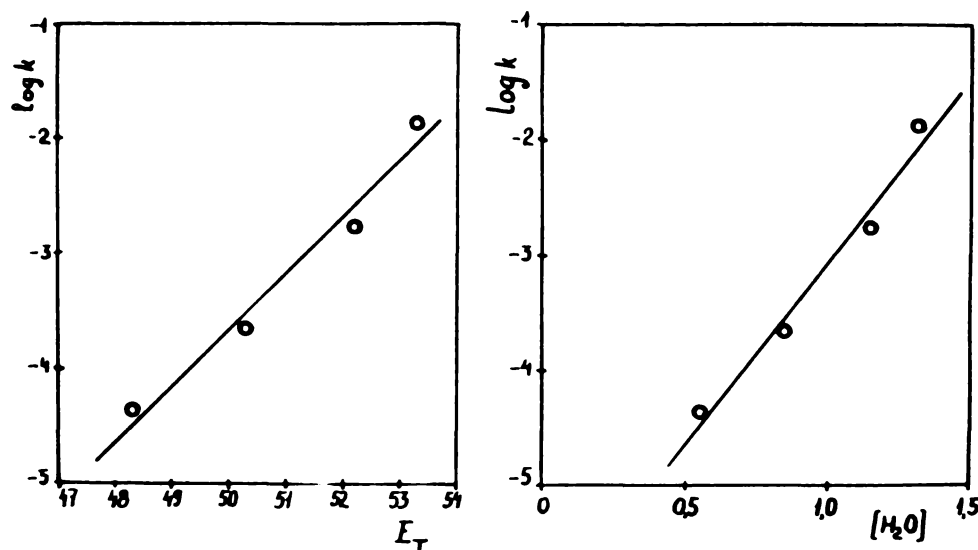


Fig.37. Dependența logaritmului constantei de hidroliză de E_T la hidroliza DMTCC în acetona-apă de diverse concentrații, la $30^{\circ}C$.

Fig.38. Dependența logaritmului constantei de hidroliză de logaritmul concentrației apăi la hidroliza DMTCC în acetona-apă de diverse concentrații la $30^{\circ}C$.

In afirgit este posibilă o corelație liniară bună (fig.39) între constantele de hidroliză la 20° în condiții comparabile a clorurilor de carbamoil N,N -disubstituuite, k^0 (tab.14,16) și cele ale clorurilor de tio-carbamoil corespunzătoare, k^S (tab.20):

$$\log k^S = 0,724 \log k^0 + 0,673 \quad (r = 0,992)$$

ceea ce sprijină ideia unui mecanism comun de reacție, de tip monomolecular.

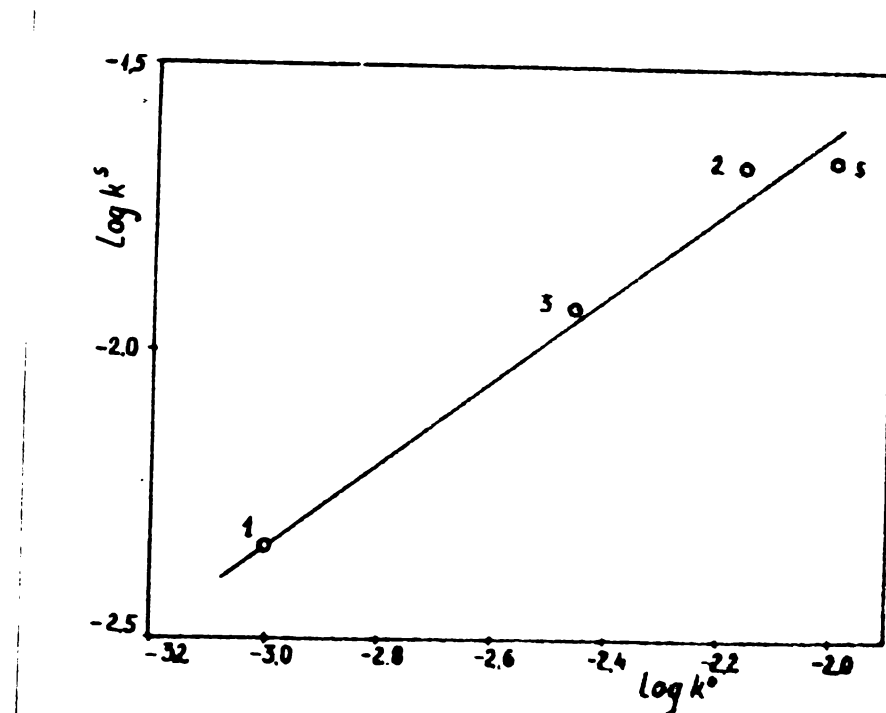
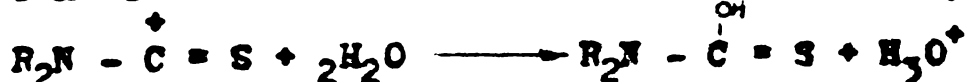


Fig.39. "ependenta logaritmului constantei de hidroliză a R_2NCSCl la 20° de cel al R_2NCOCl corespunzătoare (tab.14,16,20).

Etapa următoare este o reacție rapidă a cationului cu apa, cind se formează acidul tio-carbamic corespunzător:



Acizii tio-carbamici astfel formați suferă în continuare a reacției de decompunere. În literatură este descrisă decompunerea acizilor carbamici N,N -disubstituiali¹⁷¹, precum și a acizilor ditio-carbamici N,N -disubstituiali¹⁷¹, cu formarea bicoxidului de carbon, respectiv a sulfurii de carbon. Aceste procese sunt catalizate în general de acizi. Deși solventul folosit, amestecul apă-metanol, este diferit de cel utilizat în determinările noastre, se pot approxima din

datele prezentate constantele de ordinul 2 pentru decompunerea $(\text{CH}_2)_5\text{COOH}$ la aproximativ $7 \cdot 10^8$ l/mol.sec, iar pentru $(\text{CH}_2)_5\text{CSSH}$ la $2,5 \cdot 10^2$ l/mol.sec.¹⁷¹. Oricât de mare ar fi eroarea acestor aproximări este evident că vitesa reacției de decompunere a acizilor tio-carbamici disubstituiți trebuie să aibă o constantă mult mai mare decât cea măsurată de noi (tab.21). Rezultă deci că etapa rapidă următoare, a ^{decompunării acizului} cărei viteză nu a fost determinată este și prin determinarea



vitezei de formare a hidrogenului sulfurat s-a determinat cinetica procesului de hidroliză a oxisulfurii de carbon, care reprezintă probabil etapa cea mai lentă din ciclul de reacții menționat.



Reacția pare a fi catalizată de clorhidratul aminei, aceea ce îi conferă un caracter bimolecular. Nu s-au efectuat studii mai amănunțite asupra acestei reacții, deoarece ar fi ieșit din preocupările actuale.

2.4. PARTE EXPERIMENTALA.

2.4.1. Prepararea produselor studiate.

In sinteza s-au folosit : dialchilamine, N-metil- și N-etyl-anilini pur "Schuchardt", anhidrificate 6 zile pe KOH granule și distilate pe interval de un grad ; toluen tehnic și benzен pur anhidrificat prin refluxare și distilare de pe sodiu metalic ; soluție toluenică sau benzeneică de fosgen 12,5 % "BED" sau preparată în laborator prin absorție în toluen anhidru a fosgenului rezultat din oxidarea tetraclorurii de carbon cu oleum; sulfură de carbon tehnică distilată pe coloană Vigreux ; KOH și NaOH p.a. "Chamapol"; soluție tehnică de NaClO de 150 g cloractiv/l; clor tehnic, tetraclorură de carbon anhidrificată și distilată pe coloană pe interval de un grad ; tiofogen preparat de Institutul Central de Chimie Organică al Academiei de Științe R.D.G.; cloroform p.a. "Reactivul" spălat cu soluție NaOH 20 %, anhidrificat și distilat pe interval de un grad.

Prepararea clorurilor de N,N-dialchil-carbanoli.

Mod de lucru.

Într-un balon cu 4 șifuri, prevăzut cu termometru, plinie de picurare, agitator și refrigerent ascendent, așezat într-o baie din ghiajă și sare, amplasat sub o nisipă bine ventilată, se introduce cantitatea de 200 ml soluție benzeneică de fosgen 12,5 % (0,23 mol) și se răcește la -5°C (lucrind cu soluție benzenică reacția are loc la $+2^{\circ}\text{C}$ din cauza pericolului de cristalizare a benzenu lui, ce are ca efect degajarea abundentă de fosgen). Refrigerental are la partea superioară un tub de legătură la canel, unde eventualele gaze degajate se întrenescă cu apă.

Prin plinie de picurare se introduce sub agitare energetică o soluție formată din 25 ml toluen anhidru și 0,25 mol amindă alifatică, astfel încât temperatură să nu depășească 0°C (1-3 ore funcție de exotericitatea reacției). În massă

de reacție și pe pereteii interioiri ai balonului se formează un precipitat cristalin de clorhidrat de amindă. Massa de reacție se menține apoi 3-4 ore sub agitare la 0°C , după care se încălzește încet pînă la reflux. Fosgenul ce se degajă este săturate de aer (uscat printr-un tub de clorură de calciu montat în locul pîlniei de picurare) într-un vas de spălare cu soluție 10% NaOH, cu ajutorul trompei de apă.

După o oră de refluxare masa de reacție se răcește la ghiată, apoi se filtrează rapid pentru separarea clorhidratului amindă și acesta se mai spălă cu 10-20 ml toluen anhidru (clorhidratul cristalin alb-strălucitor după uscare sub vid poate fi refolosit pentru recuperarea amindăi). Soluția toluenică lîmpădă este încălzită dacă soluția fosgenică a fost proaspăt preparată sau galbenă dacă este mai veche.

Se distilă sub vid toluenul, se spălă și se usuă refrigerantul și vasul de colectare, apoi se distilă clorura de N,N-dialchil-carbamoil, care se infiilează și se păstrează la temperatură scăzută.

Prepararea N,N'-tetraalchil-tiuran-disulfurilor.

Mod de lucru.

Intr-un pahar aşezat într-o baie de ghiată și sare, prevăzut cu agitator magnetic, se introduce 150 ml apă, 0,25 mol amindă secundară proaspăt distilată și 0,25 mol sulfuri de carbon (15 ml) pură. După răcire sub 0°C , se introduce în două ore cantitatea de 0,25 mol NaOH ca soluție 30%, păstrându-se temperatura sub 0°C . Reacția este puternic exotermă. Soluția de dialchil-diticarbamat de sodiu se mai agite 2 ore și se lasă peste noapte la temperatură scăzută.

Acestă soluție are $\text{p}_\text{H} = 10$. Dacă nu este complet lîmpădă se filtrează, iar dacă la rece a cristalizat diticarbamatul, acesta se diluiază. Sub agitare energetică, păstrînd temperatura sub 0°C se tratează soluția cu NaClO concentrată (150 g clor activ/l). Imediat apare precipitatul alb de tetra-alchil-tiuran-disulfură. Tot timpul oxidării p_H -ul se păstrează la 8-9, conform indicațiilor unui p_H -metru, prin adăugarea unei soluții de acid sulfuric 10%. (În acest mediu oxidant indicațiile hîrtiei indicator nu sunt eficiente).

După adăugarea a 50 ml soluție hipoclorit se verifică prezența ionului dialechil-diticcarbamet cu hîrtie de filtru impregnată în soluție de sulfat de cupru 5 %. Culcarea brună indică mari concentrații de diclocarbarat. Se continuă oxidarea pînă cînd ecloarea obținută pe hîrtie este galbenă. Suspensia viaccesă albă, are un ușor miros de cloramină, care devine persistent la sfîrșitul reacției.

Suspensia se filtrează pe filtru Netscha și se spală pînă cînd filtratul devine neutru și numai colorează hîrtia impregnată cu sulfat de cupru. Se uscă la vid. Rendimentul este 60 - 70 % față de amine secundare. După 2-3 recristalizări din etanol sau metanol, produsele nu punet de topire constant.

Preraparea clorurilor de tio-carbamoil N,N-disubstituite. Mod de lucru.

Metoda A. Intr-un balon de 500 ml cu trei gîturi prevăzut cu agitator, termometru și barbotor de gaz de 4 mm diametru cu tub de evacuare a gazelor, amplasat sub nișă, se introduce 250-350 ml benzen sau tetraclorură de carbon anhidrid, apoi 0,1 mol tetraalchil-tiuram-disulfură uscată 12 ore sub vid. Rezultă repede o soluție galbenă sau galben-orange care se aduce la 40°. Sub agitare se barbotează clar gaze cu un asemenea debit ca temperatura să se mențină la 30-40°. Soluția se tulbură și rezultă o suspensie galbenă. Periodic se cîntărește întreaga instalație pentru determinarea cantității de clor introdus. Barbotorul se infundă destul de repede cu sulf solid și este necesară curățirea lui. Polosirea unui tub mai larg duce la pierderea unei părți din clorul introdus datorită suprafeței specifice mai mici a bulelor mari. Cantitatea de clor introdus este în exces 2-3 % față de stoichiometrie. Clorurarea durează 30-40 minute. Sulful se depune sub forma unei depozite uneori cleiose pe fundul balonului și pe agitator. Suspensia se filtrează repede pe o pîlnie de sticla fritată. Cînd cantitatea de clor depășește mult stoichiometria precipitatul are aspect cleios și mirosesc puternic a clorură de sulf.

Soluția lămpede orange se evaporează la evaporator rotativ sub vid pentru eliminarea solventului. Uneori la această operare se obține și un depozit suplimentar de sulf. Evaporarea are loc pînă la $40^{\circ}/12$ torr cînd rezultă un sirop viscos roșu-brun. Acesta se distilă imediat sub vid, apoi se fractionează pe coloană, dacă produsul este lichid. Recristalizarea celor solide se face din eter sau eter de petrol. Produsele pure se infiolează și se păstrează la rece.

Metoda B. Intr-un balon de 250 ml cu trei gituri prevîntut cu termometru, agitator și pîlnie de picurare, așezat în baie de ghiajă și sare, amplasat sub nișă, se introduc prin cîntărire 0,1-0,15 moli tiofogen și 100 ml cloroform. Soluția orange se tratează în picături la $0-5^{\circ}\text{C}$ cu o soluție de amindiu secundară, cantitatea stoichiometrică necesară, dissolvată în volum dublu de cloroform. Reacția este exotermă dar aspectul soluției se schimbă prea puțin. Se mențin sub agitare încă la 0° după terminarea introducerii amindiei. Soluția clară roșu-orange este puternic acidă și mirosă puternic a tiofogenului. În 0° această soluție se tratează sub agitare cu o soluție apăsată de 10 % carbonat de sodiu, cînd are loc o degajare energetică de bicoxid de carbon. Stratul cloroformic se deschide la culoare, Neutralizarea se consideră terminată cînd stratul apăsării are $p_{\text{H}} 5-6$ și miros foarte slab de tiofogen. După încă 10 minute de agitare se separă cele două straturi, cel cloroformic se anhidrifică cu clorură de calciu sicc. cînd rezultă o soluție lămpede galbenă. Se filtrează clorura de calciu și se elimină solventul la evaporator rotativ pînă la $60^{\circ}/12$ torr. Siropul gros galben-orange se distilă sub vid, iar produsele se recristalizează din eter sau eter de petrol pînă la punct de topire constant.

2.4.2. Determinarea spectrelor IR ale produselor sintetizate.

Spectrele IR au fost înregistrate cu un spectrograf UR 10 VEB Carl Zeiss Jena, cu două feseicole în domeniul $400-4000 \text{ cm}^{-1}$. În figurile 1-23 sunt date spectrele în domeniiile în care produsele prezintă benzi de absorție.

Pentru clorurile de N,N'-dialchil-carbamoil s-au înregistrat spectrele probelor sub formă de film lichid, pentru N,N'-tetraalchil-tiurom-disulfuri sub formă de pastile cu KBr anhidră, iar pentru clorurile de tiom-carbamoil N,N'-disubstituite sub formă de film solid. Pentru aceste ultime produse, obținerea unor pastile uniforme nu s-a putut realiza din cauza punctului de topire destul de scăzut. S-a procedat la încălzirea găsimurilor de KBr lent în etuvă, topirea pe suprafața lor a cristalelor de produs, cind rezultă la răcire un film solid uniform foarte subțire. Aceiași tehnică s-a aplicat și pentru DiPCC care este de asemenea solidă. DPTCC este lichidă și s-a utilizat metoda filmului lichid.

Pentru capii de serie (DMCC, TMTD și DMTOC) s-au determinat și spectrele soluțiilor 20 % în tetraclorură de carbon, suspensie în nujol și hexaclorbutadienă pentru domeniile interesante; aceste spectre, mai ales cele din soluția de tetraclorură de carbon, au fost utile pentru rezolvarea benzilor din domeniul 1500 și $2800-3000 \text{ cm}^{-1}$.

2.4.3. Determinările cinetice.

Alcoolii utilizăți în determinările cinetice sunt probe comerciale, care s-au refluxat 24 ore pe CaO, apoi s-au distilat. Ciclohexanolul, 2 octanolul și etilen-glicolul s-au distilat sub vid. Acetona (p.a."Reactivul") s-a uscat 10 zile pe carbonat de potasiu anhidru, s-a tratat 30 minute cu pentoxid de fosfor și s-a distilat colectând ca și în celelalte cazuri fracțiunea ce distilă pe un interval de un grad. Clorura de litiu p.a."Reactivul" s-a uscat 2 ore la 500° .

Metodele de determinare a constantelor de viteză au fost conductometrică și potenționometrică. Lucrând cu mare exces de nucleofil puter considera constantele de viteză obținute de pseudo-ordin 1.

"Săsurătorile s-au efectuat într-o fiolă de sticlă de 100 ml, închisă cu un dop în care sunt montate: termometru de precizie, agitator, celula conductometrică și un locas

pentru fiola cu probă de studiat. În fiola de 100 ml se introduce reacțantul și se termoștătează la exterior. În fiola cu probă de studiat se introduce o cantitate de cca 0,1 g clorură de carbamoil sau ticon-carbamoil (se dizolvă în 2 ml acetonă anhidră dacă este solidă și reacțantul este soluție acetonică). Cu ajutorul unei baghete se sparge fundul subțire al fiolei cu probă și se notează modificarea conductivității în timp. S-a utilizat conductometre "Radelkis" tip CK 102, CK 105 și "Radicometer" tip CRM 2 e.

Constanta de viteză se determină cu relația curentă pentru cinetică de ordinul I unde t este timpul de re-

$$kt = \ln C_0/C$$

acție în secunde, C_0 și C sunt concentrațiile de reacțant inițială și la timpul t în mol/l iar k constanta de viteză în sec^{-1} . La măsurările conductometricice concentrația inițială este proporțională cu conductivitatea finală a soluției, iar concentrația la timpul t cu diferența între conductivitatea finală și conductivitatea la timpul t . În acest caz relația de calcul devine :

$$k = \frac{2,3}{t} \log \frac{\Lambda_\infty - \Lambda_0}{\Lambda_\infty - \Lambda}$$

unde Λ_0 , Λ_∞ și Λ sunt conductivitățile în momentul inițial final și t al soluției de reacțant, măsurate în μ -simensi. Valurile prezентate pentru k sunt mediile calculate pentru mai multe seturi de valori Λ și t , iar eroarea este calculată prin metoda celor mai mici păt ate din corelarea $\log (\Lambda_\infty - \Lambda_0) / (\Lambda_\infty - \Lambda)$ cu t . Valurile k , ε și r au fost determinate cu ajutorul unui calculator de tip Hewlett-Packard 9810, ca de altfel toate calculele și corelările făcute.

In tabelul 24 se dă un exemplu de calcul.

Metoda potentiometrică. S-a urmărit creșterea concentrației ionului de clorură sau sulfură cu ajutorul potențialului electrozilor selectivi pentru clorură și sulfură, față de un electrood de calomel standard. S-a lucrat în mod similar metodei conductometricice înlocuind celula conductometrică cu perechea de electrozi corespunzători. Pentru urmărirea creșterii concentrației ionului clorurii s-a utilizat

...//...

Tab.24. Calculul constantei de viteză de ordinul 1 pentru hidroxile DMTCC la 10^{-3} în soluție acetonă-apă (70:30 v/v) pentru $[DTCC] = 3,24 \cdot 10^{-3}$ m prin determinarea conductivitatea: $\Lambda_\infty = 480 \mu\text{S}$, $\Lambda_0 = 10 \mu\text{S}$

Timp sec.	$\Lambda \cdot 10^6$ Ω^{-1}	$\log \frac{\Lambda_\infty - \Lambda_0}{\Lambda_\infty - \Lambda}$
--------------	---------------------------------------	--

90	105	0,098
120	135	0,134
150	160	0,167
180	185	0,202
210	205	0,234
240	220	0,249
270	235	0,283
300	250	0,310
330	270	0,330
360	280	0,371
420	300	0,461
480	325	0,482
540	340	0,526
600	355	0,575
660	370	0,630
720	385	0,694
780	395	0,743
840	405	0,797
900	415	0,846
1120	427	0,948
1200	444	1,116

$$k = (2,017 \pm 0,023) \cdot 10^{-3} \text{ sec}^{-1} \quad (r=0,997)$$

un electrod selectiv pentru ionul clorură Radelkis tip QP-Cl-7111 C, iar pentru sulfură un electrod Radelkis de tip QP-S-7112 D. Măsurările s-au făcut cu un pH-metru de precizie Radelkis tip OP-205.

Electrozii nu au fost etalonajăți în prealabil cu soluții cunoscute: cel selectiv pentru ionul clorură cu soluții de concentrație cunoscută de $\text{K}_2\text{KH}_2^+\text{Cl}^-$ în acetonă-apă (70:30 v/v) și cel selectiv pentru ionul sulfură cu soluții de concen-

trajie cunoscută de hidrogen sulfurat format direct în soluția acetona-apă (70:30 v/v) din sulfura de sodiu și acid sulfuric.

Dacă potențialul de electrod ar trebui să varieze liniar cu logaritmul concentrației ionului pentru care este selectiv, variația liniară este asigurată doar la electrodul selectiv pentru clorură la concentrații de $0\text{--}6 \cdot 10^{-3}$ ion-g.Cl⁻/l la temperaturi de 5, 10, 15 și 20°C. Pentru electrodul selectiv de sulfură la 20° apar două domenii de liniarizare: $0\text{--}1,3 \cdot 10^{-3}$ și $3,5 \cdot 10^{-3}\text{ -- }6 \cdot 10^{-3}$ ion-g S²⁻/l. La 10° pentru același electrod domeniul de liniarizare este $0\text{--}3,5 \cdot 10^{-3}$ ion-g S²⁻/l. Din această cauză a fost necesară folosirea curbelor de etalonare în determinarea concentrației ionilor. Pentru electrozii cu care s-a lucrat variația cu temperatura a potențialului de electrod este relativ redusă: panta dreptei reprezentând dependența potențialului de electrod, în mV, funcție de β_{Cl^-} este 47,86 la 10,0° și 46,73 la 20,0° pentru electrodul OP-Cl-7111 C; reprezentarea potențialului funcție de β_{S^2-} pentru electrodul OP-S-7112 D duce la panta de 34,96 la 10,0° și 33,7% la 20,0°.

Pentru a evita contaminarea soluțiilor de analizat cu ionii de clorură ai electrodului de calomel, s-a utilizat o punte de agar-agar cu azotul de potasiu drept elektolit, între electrodul de calomel și soluția dâm fiola în care are loc determinarea cinetică sau etalonarea.

Constantele de pseudo-ordin 1 s-au calculat cu ajutorul relației

$$kt = \ln \frac{C_0}{C_0 - C}$$

unde C_0 și C sunt concentrația inițială de reactant, respectiv concentrația la timpul t (în secunde) a acidului clorhidric degajat, în mol/l. Pentru calculul constantelor de ordinul 2 s-a utilizat:

$$k(t-t_i) = \frac{C}{C_0(C_0 - C)}$$

Unde t_i este timpul de introducere, C_0 este concentrația inițială de clorură de tio-carbamoil, iar C concentrația de H₂S la timpul t (în secunde) în mol/l. În tabelele 25 și 26 se dau două exemple de calcul a constantelor de viteză la hidroliza DPTCC la 10° în acetona-apă (70:30 v/v).

Tabelul 25. Calculul constantei de pseudo-ordin 1 pentru hidroliza DMTCC la 10° în acetană-apă (70:30 v/v) prin determinarea potențio-metrică $\{DMTCC\}_0 = 53,4 \cdot 10^{-4}$ M.

Temp sec.	V mV	$C_{HCl} \cdot 10^4$ mol/l	$\log \frac{C_0}{C_0-C}$
0	131,2	0	0,000
30	87	4,3	0,037
60	72,7	8,6	0,076
90	65	11,3	0,103
120	59,5	13,75	0,130
150	55,7	15,7	0,150
180	52,7	18,5	0,180
210	50,2	19,26	0,196
240	48,2	21,1	0,220
270	46,4	23,3	0,250
300	44,8	25,2	0,267
360	42	28,8	0,338
420	40	31,9	0,395
480	38,2	35,0	0,462
540	37	37,0	0,515
600	35,8	39,3	0,598

$$k = (2,171 \pm 0,025) \cdot 10^{-3} \text{ sec}^{-1} \quad r = 0,977$$

Tabelul 26. Calculul constantei de ordinul 2 pentru formarea H_2S la hidroliza DMTCC la 10° în acetană-apă (70:30 v/v) $\{DMTCC\}_0 = 5,125 \cdot 10^{-4}$ M.

Temp sec.	V mV	$C_{H_2S} \cdot 10^4$ mol/l	$\frac{C}{C_0(C_0-C)}$
360	-224	0,00	0,000
420	-248	0,00	0,000
480	-270	0,0341	1,305
540	-288,5	1,41	5,52
600	-308	3,37	13,75
660	-322	14,75	78,69
720	-332	22,4	151,7
780	-338,5	26,8	213,4
840	-343	30,4	283,5

...//..

960	-349,5	34,5	400,4
1080	-354	37,1	507,7
1200	-357,4	38,7	600,9
1320	-361	40,5	733,6
1440	-363,5	41,3	805,0
1560	-366	42,5	935,4
1780	-367,7	42,9	1004,9
1800	-369	43,5	1083,9
1920	-371	44,5	1276,7
2040	-372,5	44,8	1334,3
2160	-373,6	45,0	1396,8
2340	-375	45,5	1538,3

=====

$$k = 0,8657 \pm 0,01 \text{ l/mol.sec}$$

$$t_1 = 522 \text{ sec.} \quad r = 0,997$$

Iarametrii de activare s-au calculat cu relația 220

$$\Delta E^\ddagger = -4,576 \cdot \lg \alpha \quad \text{keal/mol}$$

$$\Delta H^\ddagger = \Delta E^\ddagger - 0,6 \quad \text{keal/mol}$$

$$\Delta S^\ddagger = 4,576 \cdot \log A - 60,53 \quad \text{ue}$$

pentru temperatura de 300°K din reprezentarea grafică a $\log k$ funcție de $1/T$. Pentru ΔS^\ddagger s-a utilizat și relația 227

$$\Delta S^\ddagger = 4,576 \log k - 10,75 \cdot 4,576 - \log T + \Delta E^\ddagger/T$$

cind temperatura de determinare este mult diferită de 300°K .

C O N C L U Z I I

In această teză sunt abordate probleme ale sintezei, structurii și reactivității clorurilor de carbamoil și tio-carbamoiil N,N-disubstituuite, precum și aspecte ale fabricării și utilizării N,N'-tetraalchil-tiuram-disulfurilor, produse cu aplicabilitate practică nemijlocită.

Rezultatele cercetărilor sunt prezentate în 6 note științifice publicate sau în curs de publicare în revistele de specialitate din țară și străinătate ^{162,164,180,209,216,} ²⁴⁰ și un contract de cercetare științifică ¹⁷³. Aceste rezultate pot fi rezumate astfel :

- S-a stabilit cinetica și mecanismul reacției de hidroliză și alcoholiză a clorurilor de N,N-dialchilcarbamoiil;
- S-a stabilit cinetica și mecanismul reacției de hidroliză a clorurilor de tio-carbamoiil N,N-disubstituuite ;
- S-au studiat sistematic spectrele IR și condițiile de obținere ale clorurilor de N,N-dialchil-carbamoiil ;
- S-au studiat spectrele IR ale N,N'-tetraalchil-tiuram-disulfurilor, care s-au caracterizat astfel ca sisteme tiomidiice ;
- S-au studiat spectrele IP ale clorurilor de tio-carbamoiil N,N-disubstituuite, identificindu-se benzile tiomidiice caracteristice ;
- S-a generalizat metoda de oxidare cu hipoclorit a dialchil-ditiocarbamatilor în obținerea N,N'-tetraalchil-tiuram-disulfurilor ;
- S-a stabilit tehnologia de laborator pentru obținere a dimetil-ditiocarbamatului de sodiu, a N,N'-tetrametil-tiuram-disulfurii tehnice și a celei pure, produse cu aplicabilitate directă industrială.

B I B L I O G R A F I E
=====

- 1.- P.Wöhler, Annalen der Chemie und Pharmacie, 45, 357 (1843)
- 2.- L.Gattermann, Liebig's Annalen der Chemie 244, 29 (1889)
- 3.- H.Pupe, H.Labhardt, Chem.Ber. 33, 233 (1900)
- 4.- H.Höpfl, H.Ohlinger, Angew.Chem. 61, 183 (1949); Patent german 580.140, 7.01.52, Friedl. 20 352.
- 5.- F.Runge, H.Reinhardt, G.Kühnheuss, Chem.Technik, 8 644 (1956).
- 6.- A.Hantzsch, A.Sauer, Liebig's Annalen der Chemie 299, 85 (1898)
- 7.- W.Nichler, C.Escherich, Chem.Ber. 12, 1163 (1879).
- 8.- A.L.Lumière, F.Perrin, Bull.Soc.Chim.France 21, 689 (1904)
- 9.- R.J.Slocumbe, E.S.Hardy, J.H.Saunders, R.L.Jenkins, J.Arner, Chem.Soc. 72, 1838 (1950)
- 10.- J.H.Saunders, R.J.Slocumbe, Chem.Rev. 43, 203 (1948) si P.G.Arnold, J.A.Nelson, I.I.Verbanic, Chem.Rev. 57, 47 (1957).
- 11.- Yoshiyuki Okada, Michihiko Ochiai, Patent britanic 1.063.528 30.05.67, CA 67, 73391 w (1967).
- 12.- L.Doub, L.W.Richardson, D.R.Herbst, F.L.Black, J.Arner Chem.Soc. 80, 2205 (1958)
- 13.- P.Schlack, Patent german, 873.084, 9.04.53, C.A. 32 17117 g (1958)
- 14.- D.F.Kutepov, N.S.Rozanova, Zhar.Obschei Khim. 26, 1737 (1956).
- 15.- Haruo Shingu, Tomizo Nishimura, Toshinobu Tekagami, Yuki Gosei Kagaku Kyokai Shi 15, 140 (1957) : C.A. 51, 10403 d (1957).
- 16.- Z.Csuros, R.Socs, L.Szegy, I.Bitter, Period.Polytech-Chem.Eng. 19, 495 (1966) ; C.A. 67, 107.893 d (1967), Magy.Kem.Lapja 24, 1 (1969) ; C.A. 70 76975u (1969).
- 17.- J.Pfirschke, W.Altner, H.Roos, Patent german 955.860, 10.01.57 ; C.A. 52, 13106 d (1959).
- 18.- R.Fütter, D.Delfts, Patent german. 876.238, 11.05.53 : C.A. 52, 8188 b (1958).
- 19.- C.F.Crewson, J.W.Wood, W.C.Wolfe, I.agr.and Food Chem. 1, 264 (1959).

- 20.- O.I.Fedotova, S.A.Proskina, V.P.Pgenijnsia, Trudi Vsesokov.
Khim.Inst.in D.I.Tendeleev, 22 74 (1956).
- 21.- P.Bercot, Compt.Rend. 252, 224 (1964)
- 22.- J.H.Tilley, A.A.R.Sayigh, J.Org.Chem. 29, 2075 (1963);
Patent american 3.311.634, 28.05.67 : C.A. 67, 2754
(1967)
- 23.- H.Kritzler, K.Wagner, H.Holtschmidt, Patent belgian
621.378, 30.11.62 : C.A. 59, 9816g, (1963) ; A.H.Robins
Co.Aplicarea olandeză 600.234, 11.08.66 : CA 18567 v
(1967).
- 24.- P.Weygand, R.Mitgau, Chem.Ber. 88, 301 (1955)
- 25.- Yoshiyuki Okada, Michihiko Ochiai, Patent japonés 2134
(1967) : C.A. 66, 104,803 t (1967); W.Sweeny, Patent
american 3.278.594, 11.11.66 : C.A. 66, 2342 e (1967)
- 26.- T.Will, J.Q.Rodin, R.W.Silverstein, C.Woolf, Patent bel-
gian, 661.568, 16.07.65 : C.A. 65, 627 a (1966) ;
Patent belgian 661.569, 16.07.65 : C.A. 64, 19450 b
(1966).
- 27.- L.Baiocechi, G.Carsi, G.Pollazzo, Ann.Chim.(Roma) 55, 116
(1965)
- 28.- P.E.Wilcox, W.A.Schroeder, J.Org.Chem. 15, 944 (1950)
- 29.- Kerek & Co. Inc. Patent britanic 825.921, 23.12.59 :
C.A. 54, 15.514 d (1950)
- 30.- Shinso Tsurkoka, Ko Naiki, Siji Saito, Yuki Gosei Kagaku
Kyokai Shi 17, 144 (1959) ; C.A. 53, 11.321: (1959).
- 31.- V.A.Rudenko, A.I.Iacobovici, T.I.Nikiforova, Zhur.Obozhei
Khim., 17, 2256 (1947).
- 32.- Y.A.Strepiheev, T.G.Perlova, Zhur.Vses.Khim.Obozhet 14,
588 (1969).
- 33.- D.A.Tomalia, J.N.Paige, J.Heterocycl.Chem. 4, 178(1957).
- 34.- R.P.Lastovskí, Zhur.prikladnoi Khim., 19, 446 (1946).
- 35.- Y.A.Strepiheev, T.G.Perlova, L.A.Zivkova, Zhur. Obozhei
Khim., 18, 1891 (1968).
- 36.- R.Ulrich, B.Tucker, A.A.R.Sayigh, J.Org.Chem., 34, 3200
(1969).
- 37.- A.V.Platoskin, I.A.Keburkov, I.L.Kunianç, Izv.Akad.Nauk.
SSR Ser.Khim., 112, 19 (1969).

- 38.- E.Stein, O.Bayer, Patent german 888.689, 17.11.51 :
C.1953, 9631; Patent american 2.698.343, 11.03.54 :
C.A. 49, 14026 (1955).
- 39.- *** Patent britanic 793.184, 9.04.58 : C.A. 52, 20867 d
(1958).
- 40.- V.A.Pudenko, A.I.Iacobovici, T.I.Nikiforova, Patent so-
vietic 554.949, 16.02.59 : C. 1963, 1846.
- 41.- F.Klages, G.Lukaczyk, Chem.Ber. 96, 2066 (1963).
- 42.- J.H.Ottenheym, J.W.Garitsen, Patent german, 1.157.210
14.11.63 : C.A. 59 5756 d (1964).
- 43.- Stamicarbon N.V., Aplicarea olandeză 68.16999, 27.11.68;
C.A. 72, 66463 s (1970).
- 44.- H.Ulrich, A.A.R.Sayigh, Angew.Chem. 78, 761 (1966).
- 45.- D.E.Gavin, V.J.Schnabel, E.Kober, V.A.Robinson, J.Org.
Chem., 32, 2511 (1967).
- 46.- L.I.Semraei, V.P.Belaia, V.R.Viginevski, G.I.Derkach,
Zhur.Org.Khim., 4 720 (1968) ; Chem.Ber. 102, 2972
(1969).
- 47.- P.Fischer, Patent german, 1.151.661, 20.06.62: C.A. 58
1401 d (1963).
- 48.- H.Ulrich, A.A.R.Sayigh, J.Org.Chem. 28, 1427 (1963)
- 49.- H.Hartke, Z.Palon, Chem.Ber. 99, 5155 (1966) ; Patent
britanic 1.049.111, 23.11.66 : C.A. 56, 55070 s
(1967).
- 50.- K.Kiefer, H.Neumann, Patent german, 1.901.542, 13.08.70
C.A. 72, 99636 d (1970).
- 51.- O.Billeter, Chem.Ber. 20, 1629 (1887).
- 52.- O.Billeter, Chem.Ber. 21, 102 (1888).
- 53.- O.Billeter, Chem.Ber. 25, 1686 (1893).
- 54.- E.Lieber, J.P.Trivedi, J.Org.Chem. 25, 650 (1960)
- 55.- E.Lieber, C.B.Lawyer, U.S.Dept.Com. Office Tech.Serv.
PB Rept.154.269 : C.A. 52, 4533 g (1963).
- 56.- L.V.Iagupolski, N.I.Dronkina, Zhur.Obschei Khim. 36,
1309 (1966)
- 57.- L.Gattermann, A.Rossolimo, Chem.Ber. 23, 1190 (1890)
- 58.- L.Gattermann, Chem.Ber. 32, 1116 (1899).
- 58.a.H.Hopff, Patent german, 584.142, 3.07.32: C.1933,II.3620
- 59.- J.J.Steggerda, Patent german. 1.167.815, 16.04.64 :
C.A. 52, 4948 h (1965).

- 60.- N.N.Yarovenko, S.P.Motornyi, L.I.Kiregina, A.S.
Vasileva, Zhur.Org.Khim. 27, 2243 (1957); T.Antesek,
Zeszyty Nauk. Politech.Lodz.Chem.8, 85 (1960) : C.A.
57, 6087 b (1962) ; A.Haas, Chem.Ber. 98, 1709 (1965);
D.Beirl, A.Schmidt, Chem.Ber. 106, 1637 (1973)
- 61.- R.J.Slecombe, J.H.Saunders, Patent american, 2.773.086,
4.12.56 : C.A. 51, 6690 (1957).
- 62.- J.H.Saunders, W.B.Bennett, Patent american, 2.752.592,
24.01.56 : C.A. 50, 12103 h (1956).
- 63.- E.Allenstein, P.Luis, Chem.Ber. 97, 5162 (1964).
- 64.- R.Neidlein, W.Hanesmann, Tetrahedron Letters, 2423 (1965)
- 65.- V.I.Dorogenko, S.A.Stukalo, A.V.Kirganov, Zhur.Obozhei
Khim., 41, 1545 (1971).
- 66.- J.H.Aulbach, C.J.Kramis, H.T.Siefen, Patent american,
3.020.513, 6.02.62 : C.A. 57, 8506 b (1962).
- 67.- G.P.Ottmann, H.Hooks, Angew. Chem. Intern. Ed., 5
672 (1966).
- 68.- U.Hasselrot, Chem.Ber. 101, 115 (1968).
- 69.- W.Walter, R.F.Becker, Liebig's Ann.Chem. 732, 195 (1970).
- 70.- N.Sehindler, W.Ploeger, Chem.Ber., 104, 969 (1971).
- 71.- F.H.Goshorn, T.V.Lewis, E.Paul, E.J.Ritter, Organic
Syntheses, 35, 55 (1955).
- 72.- F.Zbirovsky, V.Ettel; Chem.Listy., 52, 95 (1958).
- 73.- L.Birkner, K.Krebs, Tetrahedron Lett., 855 (1968).
- 74.- C.N.Tulloch, Patent american, 3.652.723, 4.08.62 :
C.A. 58, 10090 c (1963); Takeo Saegusa, Tetsuo Tsuda
J.Org.Chem. 36, 758 (1971).
- 75.- A.A.Antonov, Zhur.Obozhei Khim. 34, 2340 (1964).
- 76.- J.Fabian, A.Kehlhorn, Z.Chem. I 192 (1967).
- 77.- J.Fabian, H.Viola, R.Fayer, Tetrahedron, 23, 4323 (1967)
- 78.- J.W.Bruhl, Z.Phys.Chem. 22, 333 (1897).
- 79.- J.C.Woodbrey, H.T.Rogers, J.Amer.Chem.Soc. 84, 13 (1962)
- 80.- Idem, J.Org.Chem. 17, 540 (1952)
- 81.- P.T.Narasimhan, M.T.Rogers, J.Phys.Chem. 63, 1388 (1959)
- 82.- A.Allerhand, H.S.Gutowski, J.Chem.Phys., 31, 2115 (1954).
- 83.- R.C.Newman, D.N.Roark, V.Jones, J.Amer.Chem.Soc. 89,
3412 (1967).
- 84.- J.Sandström, J.Phys.Chem. 71, 2318 (1967).
- 85.- R.C.Newman, L.B.Young, J.Phys.Chem. 69, 2570 (1965).

...//...

- 86.- J.K.P.Wilshire, Tetrahedron Letts., 475 (1968).
87.- T.H.Siddall, C.A.Pronaska, J.Amer.Chem.Soc. 88, 1172
(1966) ; J.Org. Chem., 34, 2937 (1969).
88.- W.M.Parlans, J.Chem.Soc.D. 418 (1970)
89.- A.V.W.C. Call, H.S.Gutowsky, J.Chem.Phys. 21, 1300
(1953) ; R.K.Hart, H.A.Whitehead, Can.J.Chem. 49
2508 (1971).
90.- D.Herbison-Evans, R.E.Richards, Mol.Phys. 8 19 (1964).
91.- E.Bock, D.Iwacha, Can.J.Chem. 46, 523 (1968).
92.- B.U.Schlotmann, Tetrahedron Letts., 1221 (1971).
93.- F.Goodman, P.Genis, G.Avitsabile, S.Zigdal, J.Amer.Chem.
Soc., 93, 3328 (1971).
94.- *** Patent german, 238.961, 12.09.09 : Frdl 19 109.
95.- Y.Halman, A.Lapidot, D.Samuel, J.Chem.Soc. 1944 (1962)
96.- A.Queen, Can.J.Chem. 45, 1619 (1967) ; H.K.Hall, J.Amer.
Chem.Soc. 78, 2717 (1956).
97.- H.K.Hall, J.Amer.Chem.Soc. 77, 5993 (1955).
98.- H.K.Hall, C.H.Lusek, J.Org.Chem. 28, 2818 (1963).
99.- H.K.Hall, J.Org.Chem. 29, 3539 (1964).
100.- H.K.Hall, J.Org.Chem. 21, 243 (1956).
101.- W.P.Norris, J.Amer.Chem.Soc. 81, 5346 (1959).
102.- R.Gamper, O.Christmann, Chem.Ber. 82, 1955 (1959).
103.- Shigehiko Sugawara, Yoshio Deguchi, J.Pharm.Soc.Japan,
76, 963 (1956).
104.- D.E.Rivett, J.E.K.Wilshire, Australian J.Chem. 18,
1667 (1965), 19, 165 (1966).
105.- *** Patent french, 1.520.220, 22.04.67 : C.A. 71,
61005.t (1969) ; A.Duerr, Patent sud-african 68.04555
21.07.67 : C.A. 72, 101.512 q (1969) ; H.Schwartz,
J.B.Skaptason, Patent american 3.484.484, 28.03.67 :
C.A. 72, 66.670 m (1970) ; J.V.Simonian, H.Kroll,
J.B.Peterson, Patent american, 3.205.258, 7.09.65 :
C.A. 64, 3417 d (1966) ; Z.Blašek, Chem.Listy, 42
121 (1948).
106.- F.H.Clark, F.B.Bleek, Patent american, 3.498.977-8,
10.04.67 : C.A. 72, 132.559 d, 132.551 b (1970).
107.- B.L.Johnson, K.A.Rumon, J.Amer.Chem.Soc. 87, 4782 (1965);
J.Phys.Chem. 68, 3149 (1964).

- 108.- P.Kurzer, J.R.Fowell, J.Chem.Soc., 1497 (1955) ;
G.Steinbrun, Patent german, 1.133.360, 19.07.62 :
C.A. 58, 1398 (1963) ; G.S.Cwindlerman, F.A.Sirchik,
G.V.Filatov, Tr.Vses.Nauch. Issled.Inst.Vet.Sanit.,
21, 319 (1968) ; C.A. 71, 135770 z (1969).
- 109.- A.A.R.Sayigh, H.Ulrich, J.S.Potts, J.Org.Chem. 29,
2455 (1965) ; J.S.Potts, A.A.R.Sayigh, H.Ulrich,
Patent american 3.541.564, 12.09.67 : C.A. 67
116.708 z (1967).
- 110.- Z.Peláš, Patent german, 1.913.295, 13.03.68 : C.A. 72
43289 e (1970) ; R.Heiss, I.Boecker, G.Unterstuhler
Patent german 1.145.162, 14.03.63, C.A. 59, 9885 b
(1963).
- 111.- V.Hach, Z.Horáková, J.Reichelt, D.Havlova, Chem.Listy
51, 563 (1957).
- 112.- B.J.Ludwig, L.S.Powell, F.W.Bürgger, J.Med.Chem. 12,
462 (1969) : C.A. 71, 12494 t (1969) ; T.Wagner,
A.Demalis, Patent suédois, 467.755, 18.04.63 ; C.A.
71, 38570 q (1969) ; A.Demalis, G.Haenster, Patent
german 1.297.592, 24.08.64 : C.A. 71, 80917 b (1969).
- 113.- O.Schmider, R.Urban, Patent American, 2.839.536,
17.01.58 : C.A. 20204 h (1958) ; *** Patent belgian
646.319, 31.07.54 : C.A. 51 11675 g (1955) ;
R.H.Hogberg, H.J.Hex, I.Konyves, H.Kneip, Patent ger-
man 1.249.862, 14.09.67 : C.A. 58, 5118 ; (1968) ;
P.L.C. Beranikovits, N.D. Bishop, Patent sud-african
6.701.588, 3.03.67.
- 114.- V.Purdík, J.Hacko, Acta Fac.Rerum.Nat.Univ.Comenianae
Chimia, 1, 567 (1963) : C.A. 58, 13096 h (1965) ;
A.Immelmann, J.P.Sit, J.S.African Chem.Inst. 2 131
(1949) : C.A. 45, 3980 f (1951) ; H.O. Huismann, J.
Meltzer, Patent american 3.427.298, 11.06.53 : C.A. 57
11130 (1962) ; L.J.Belf, Patent britanico 992.603
3.04.63 : C.A. 59, 6315 b (1963) ; E.Mikles, Patent
german 1.806.197, 10.11.57 : C.A. 71, 91129 d (1969).
- 115.- K.Palat, A.Sekere, C.Viba, Chem.Listy 51, 563 (1957) ;
A.L.Kudashyan, K.A.Kaldríkyan, Izd.Akad.Nauk.Armen.SSR
Khim.Nauki 14, 495 (1961) : C.A. 58, 3577 g (1963) ;
J.J.D'Amico, Patent american 3.442.889, 14.07.63 ;

... / ...

- C.A. II, 30208 g (1969) ; *** Patent frances 1.574.565, 28.07.57 : C.A. II, 90117 g (1970) ; H.S.Neumann, F.E. Hetzel, J.Org.Chem. 24, 3604 (1969).
- 116.- K.H.Koenig, Patent german 1.232.946, 26.06.57 : C.A. 66 85488 a (1967).
- 117.- W.Walter, K.D.Bode, Angew.Chem. 79, 285 (1967) ; V.V. Alekseev, N.S.Malinovski, Zhur.Obschel Khim. 21, 3457 (1961).
- 118.- W.Walter, R.P.Becker, Ann.Chem. 125, 234 (1969).
- 119.- L.S.Melvin, H.A.Karnes, Patent frances 1.521.896, 4.03.66 C.A. II 12814 x (1969).
- 120.- J.D.Edwards, W.Pianka, J.Chem.Soc. 7538 (1965).
- 121.- W.Pianka, J.D.Edwards J.Chem.Soc.C. 2290 (1967).
- 122.- G.Olah "Friedel-Crafts and related Reactions" vol.3 partes II. J.Wiley & Sons Inc. New-York-London-Sydney 1964, p.1262.
- 123.- W.Braun, Patent german 878.647, 14.07.51 ; C. 1955, 11288.
- 124.- H.Hopff, Patent german 584.142, 3.07.52 : C. 1955, II. 3620 ; Patent german 639.508, 11.08.56 s1 650.802, 4.10.57 : /122/ ; Angew.Chem. 60, 541 (1957) ; H.Hopff, H.Ohlinger, Patent german 711.018, 9.05.55 : C.1957 I,188 ; Patent german 715.989, 29.02.56 : C.1942, I.2932 ;
- 125.- G.Kuhnhanss, H.Reinhardt, J.Teubel, J.praktchem. I, 157 (1955) ; H.Hopff, A.R.Wick, Helv.Chim.Acta 43, 1473 (1960) ; H.Erlenmeyer, H.Lobek, A.Epprecht, Helv. Chim.Acta, 19, 546 (1936); B.Agouri, Patent britanico 1.124.742, 21.08.68 : C.A. 69, 78144 u (1968); B.I. Korozov, A.N.Detsina, V.A.Kopting, Zhur.Org.Khim. 4 1639 (1968) ; T.A.Pauskin, T.P.Visiakova, F.F.Socolineksaia, J.Polim.Sei.Part.C. 16, 4296 (1965) : C.A. II, 22390 v (1969).
- 126.- P.Runge, H.Reinhardt, J.Teubel, Patent german (R.D.G.) 10.866, 12.03.53 : C.1956, 14497.
- 127.- ***, Patent frances 797.072, 30.10.55 : C.1936 II, 764.
- 128.- J.H.Saunders, R.J.Slocum, R.E.Hardy, J.Amer.Chem.Soc. 72, 5312 (1950); V.N.Ivanova, S.A. Kamleva, A.I. Karinski, Zhur.Org.Khim. 3, 146 (1967).

- 129.- J.F.K.Wilshire, Austr.J.Chem. 20, 575 (1967).
130.- P.Veggand, R.Mitgen, Chem.Ber. 88, 301 (1955).
131.- E.E.Rivett, J.F.K.Wilshire, Org.Prep.Proc.1, 263 (1969) : C.A. 72, 55.150 r (1970).
132.- W.Metz, Patent german 1.193.054, 20.05.65 : C.A. 63 14702g (1965).
133.- Rokuro Harada, Basako Nagashi, Patent japonais 1740, '67, 26.01.67 : C.A. 66, 85457 q (1967).
134.- J.N.Tilley, A.A.R.Sayigh, J.Org.Chem. 28, 2076 (1963).
135.- K.H.Koenig, H.Kiefer, Patent german 1.922.412, 12.11.70: C.A. 74, 31544 u (1971).
136.- T.Lesiak, L.Szezepkowski, Roczn.Chem. 44, 2007 (1970).
137.- V.A.Petrunkin, I.A.Strepiheev, Tr.J.ekh.Technol.Inst. 160 (1963) ; C.A. 62, 4696 b (1965) ; L.Konecky, Helv.Chim.Acta 53, 361 (1970).
138.- A.A.R.Sayigh, J.N.Tilley, H.Ulrich, J.Org.Chem. 29, 3344 (1964).
139.- Z.Csures, R.Socs, L.Szegy, I.Bitter, Period.Folitech. Chem.Eng. 10, 495 (1966) : C.A. 67, 107.893 d (1967); Mag.Kem.Lapja 24, 1 (1969).
140.- R.Bacaloglu, C.A.Bunton, Tetrahedron 29, 2721,2725 (1973)
141.- K.H.Koenig, H.Pommer, Patent belgian 620.028 ; 10.01.63: C.A. 59, 11524 a (1963) ; Patent belgian 618.061, 26.11.62 : C.A. 59, 454 g (1963).
142.- H.Holteichmidt, Patent german 1.141.278, 20.12.62 : C.A. 59, 456 b (1963), H.Mela, H.Holteichmidt, R.Kuschle, O.Bayer, Patent belgian 627.486, 24.07.63 : C.A. 60, 10557 h (1964); *** Aplicație olandeză 6.409.12?, 15.02.65 : C.A. 61, 8327 d (1965) ; Patent belgian 617.414, 31.03.62 : C.A. 59, 12470 g (1963).
143.- R.P.Merritt, J.Org.Chim. 32, 1633 (1967)
144.- J.A.Joung, R.D.Dredner, J.Org.Chem. 23, 1576 (1958).
145.- *** Patent britanic 743.559, 18.01.56 : C.A. 31, 2025 e (1957); E.Jaul, W.E.Lewis, Patent american 2.767.212, 16.10.56 ; C.A. 31, 4418 i (1957).
146.- R.B.Franko, R.Intarcity, Chem.Ind.(London) 166 (1969); A.J.Spesiale, G.H.Alt, Patent american 3.288.784, 29.11.66: C.A.37767 u (1967) ; C.Dominiger, J.Schofield, R.D.Regan, Patent german, 1.815.599, 20.12.67 : C.A. 72, 12091 e (1970).

- 147.- D.L.Goldhamer, A.Wilson, Tetrahedron Lett. 4077 (1968)
- 148.- J.L.Nilsson, H.Sieversson, R.Dehlboe, Acta Chem.Scand. 22, 683 (1968) ; 24, 939 (1970).
- 149.- J.K.Lawson, J.A.T.Croon, J.Org.Chem. 28, 232 (1963).
- 150.- A.Disdier, J.Lebreau, Patent frances 1.544.345, 15.09.67 : C.A. 71, 129008 u (1969) ; R.Grygiewski, Dissertationes Pharm. 9, 205 (1957) : C.A. 52, 6248 e (1958) ; R.Gamper, O.Christmann Chem.Ber. 92 1935 (1959).
- 151.- N.Haarmann, Patent german 1.956.285, 13.05.71 : C.A. 75, 37539 s (1971).
- 152.- G.Kuhnhanss, H.Reinhardt, J.Teubel, J.prakt.chem. 52, 137 (1956) ; Patent german (RDG) 13.495, 15.07.57: C.A. 52, 7196 f (1959) ; A.Treibe, R.Darra, Liebig's Ann. Chem. 582, 174 (1954).
- 153.- A.Cattaneo, G.Gelmi, H.Zerle, Farm.Ed.Scient. 16, 741 (1961) ; W.M.Taylor, Patent american 3.141.041, 6.06.62 : C.A. 61, 8240b (1964).
- 154.- P.F.Blike, H.Zimmes, J.Amer.Chem.Soc. 77, 4849 (1955); L.K.Maslič, I.L.Dobrošadova, Zbir.Obschei Khim. 57, 2554 (1967) ; A.Craiffe, J.Arbelet, C.R.Acad.Sci. Ser.C. 272, 410 (1971).
- 155.- R.G.Hickey, R.F.Smith, R.T.Corbett, J.Org.Chem. 26, 4756 (1961); Yoshiyuki Okada, Patent japonais 70'17189, 21.08.68 : C.A. 73, 77252 g (1970).
- 156.- *** Patent frances, N 5717, 24.09.65 : C.A. 71, 70477 a (1969) ; G.C.Helsley, Patent german 1.951.025, 2.QI. C.A. 72, 78863 q (1970) : I.A.Baskakov, Biol.Aktiv. Soedin., 96100 (1968): C.A. 71, 125771a (1969) ; F.L.Scott, K.T.Scott, J.Amer.Chem.Soc. 79, 6077 (1957); H.Rupe, G.Metz, Chem.Ber. 36, 1099 (1903) ; *** patent german 162.630, 13.04.04 : C.1905, II.1060; G.Pallazo, G.Piccani, Farm.Ed.Scient. 26, 580 (1971); Shozo Yanagida, Bull.Chem.Soc.Japan, 44, 2182 (1971).
- 157.- L.Weinstein, J.B.Hudson, Antibiotics & Chemotherapy 1, 443 (1957): C.A. 52, 48341 (1958) ; E.Rodgers, J.B. Casida, Biochem.Pharmacol.8, 179 (1961) : C.A. 56, 881 e (1962) ; B.E.Brlanger, e.a. J.Amer.Chem.Soc. 85 348,1872 (1963) ; 86, 1217 (1964) ; Nature 204 (1974)

- 868 (1965) ; Biochemistry 5, 190 (1966) : C.A. 64 5376 c (1966) ; Anal.Biochem. 19, 542 (1967) : C.A. 67, 232 k (1967) ; Proc.Nat.Acad. Sci. U.S. 58, 703 (1967) : C.A. 68, 3624 c (1968) ; Science 162, 1487 (1968) : C.A. 70, 44384 c (1969) ; H.F.Metzger, I.B. Wilson, Biochemistry 3, 926 (1964) : C.A. 51, 3363 a (1964).
- 158.- G.Olafson, Acta Chen.Scand. 21, 93 (1967) ; D.Beierl A.Schmidt, Chem.Ber.106, 1637 (1973).
- 159.- W.H.Gold, V.B.Frankel, Patent american 3.410.905, 12.11.68 : C.A. 70, 28.375 v (1969).
- 160.- J.Goerdler, D.Kohly, Liebigs Ann.Chem. 731, 120 (1970); E.Ebner, C.N.R.Pao, Chem.Rev.65, 377 (1965) ; Tetsuji Kametani, J.Heterocycl.Chem. 1, 807 (1970) ; *** Patent britanic, 1.273.945, 3.03.71 : C.A. 75, 49074 q (1971) ; J.P.Chupp, J.Heterocycl.Chem. 8, 557 (1971).
- 161.- *** Patent britanic 1.162.628 25.07.67 : C.A. 71, 112.950 g (1969) ; G.Fagner, L.Roths, Pharmazia, 24 513 (1969) : C.A. 72, 55392 w (1970) ; J.Goerdler, H.Luedke, Chem.Ber. 103, 3393 (1970).
- 162.- C.Dăescu, R.Bascaloglu, C.Ostrogovich, Bul.stiințific și tehnic I.P.T. Ser.Chimie, 17, 103 (1972) (Comunicată în decembrie 1971 la "Prima secionare a tinerilor ingineri și cercetători studenți din Timișoara").
- 163.- J.von Braun, Chem.Ber. 36, 2273 (1903).
- 164.- C.Dăescu. Bul.stiințific și tehnic I.P.T. Ser.Chimie 19, 243 (1974).
- 165.- J.von Braun, Chem.Ber. 35, 820 (1902)
- 166.- J.von Braun, W.Keiser, Chem.Ber. 56, 550 (1923).
- 167.- J.R.Cheshire, W.R.Trutna, Patent american 2.751.415, 15.06.56 : C.A. 51, 1256 (1957) ; J.C.Counts, W.R. Trutna. Patent american 2.777.878, 15.01.57 : C.A. 51 7377 h (1963) ; H.I.Cramer, Patent american 2.014.353, 11.12.31 : C.1936, I., 2227 ; A.Moeller, Patent german 859.458, 15.05.40 : C.1953, 4602 ; PIAT 1012, 52 (1948) R.Rothstein, R.Binevic, Rec.Trav.Pays Bas, 71, 561 (1954)
- 168.- T.Ferington, A.V.Tobolsky, J.Amer.Chem.Soc. 80, 5215 (1958).
- 169.- N.Avrăm "Antidemunători", Ed.Acad.R.C.R.Bucureşti, 1974. pg.365 ; A.Velniceriu, Rev.Chim. 12, 24 (1962).

- 170.- I.IKA, Patent britanic 660.160, 14.03.49 : C.1954,415.
- 171.- D.de Felipo, P.Deplano, E.F.Trogu, G.Verani, J.Org.Chim. 23, 560 (1973).
- 172.- A.Berg, Compt.rend.114, 1397 (1892) ; Gazz.Chim.Ital. 104, 1227 (1974).
- 173.- "Tehnologia tizorului" - protocozi cu privire la contractul de cercetare științifică nr.13077/12.09.73 încheiat între I.P.T. și C.I.A. Ig.Breg.
- 174.- D.Beierl, A.Schmidt, Chem.Ber. 106, 1637 (1973)
- 175.- W.Bader, A.Schmidt, Spectrochim.Acta 29 A, 1419 (1973)
- 176.- W.Bader, A.Schmidt, Spectrochim.Acta, 29 A, 1429 (1973).
- 177.- N.B.Colthup, L.H.Daly, S.E.Wiberley "Introduction to Infrared and Raman Spectroscopy", Academic Press, New-York-London, 1964.
- 178.- V.Avram, D.Mateescu "Spectroscopie in infrarosu. Aplicații în chimie organică", Ed.Tehnică București 1966.
- 179.- P.F.Bentley, L.D.Smithson, R.L.Rosek "Infrared Spectres and Characteristic Frequencies 700 - 300 cm⁻¹" Interscience Publishers J.Wiley and Sons, New-York-London Sidney, 1968.
- 180.- C.Dăescu, R.Bocaloglu, G.Ostrogovich, Bul.științifice și tehnice I.P.T. 18 121 (1973).
- 181.- C.N.R. Rao, R.Venkataraghavan, Spectrochim.Acta 18, 541 (1962).
- 182.- I.Suzuki, Bull.Chem.Soc.Japan, 35, 1286, 1449, 1456 (1962)
- 183.- K.A.Jensen, P.H.Nielsen, Acta Chem.Scand. 20, 597 (1966)
- 184.- M.Davies, V.J.Jones, J.Chem.Soc.955 (1958).
- 185.- T.I.Lane, A.Yamaguchi, J.V.Qunglano, J.A.Ryan, S.Misushima, J.Amer.Chem.Soc. 81, 3824 (1959).
- 186.- I.I.Raritonov, V.D.Brega, A.V.Ablev, Zhur.Anorg.Khim. 15, 3163 (1970).
- 187.- J.E.Stewart, J.Chem.Phys. 26, 248 (1957).
- 188.- R.K.Bitchie, H.Spedding, D.Stalle, Spectrochim. Acta 27 A, 1597 (1971).
- 189.- K.A.Jensen, B.E.Bahl, P.H.Nielsen, A.Borch, Acta Chem. Scand. 25, 2029 (1971).
- 190.- D.V.Sokolskii, L.M.Kuragvili, I.A.Zaverchina, Invest. Acad-Nauk.Kazah SSR Ser.Khim. 6, 10 (1971).
- 191.- C.Ceberd-Charen, M.Renson. Bull.Soc.Chim.Belge 72 291,304 (1963).

- 192.- J.Chatt, L.A.Duncanson, L.M.Venanzio, Suomen Kemistilehti, 29, 75 (1956)
- 193.- H.O.Besseyne, M.A.Harmon, Spectrochim.Acta, 23 A, 2457 (1967).
- 194.- W.Kurtzelnigg, R.Necke, Spectrochim.Acta 17, 530 (1961).
- 195.- C.R.Marvell, P.Raditzky, J.J.Brader, J.Amer.Chem.Soc. 77, 5997 (1955).
- 196.- R.K.Gosavi, C.N.P.Rao, J.Inorg.Nuclear Chem. 29, 1957 (1967).
- 197.- L.B.Bellamy, P.Z.Pegasch, J.Chem.Soc. 2218 (1960).
- 198.- N.Sheppard, Trans.Paraday Soc. 46, 429 (1950).
- 199.- D.W.Scott, J.P.Cullogh, J.Amer.Chem.Soc. 80, 3554 (1958)
- 200.- K.G.Allum, J.A.Creighton, I.H.S.Green, Spectrochim.Acta 24 A, 927 (1968)
- 201.- F.Cornea, C.Fulea, Analele Univ.Bucuresti, 18, 85 (1969)
- 202.- G.B.Aitken, J.L.Duncan, A.P.Me Quillan, J.Chem.Soc.A. 2695 (1971).
- 203.- R.W.Olliff, J.Chem.Soc.2036 (1965).
- 204.- D.S.Bistrov, T.N.Simanskova, V.N.Filimonov, Optika i Spektr., 2, 460 (1960).
- 205.- K.Honda, K.Komura, T.Tanaka, J.Inorg.Nuclear Chem. 30, 3231 (1968).
- 206.- F.Bonati, S.Cerini, R.Ugo, J.Organometal Chem. 2, 395 (1967).
- 207.- A.K.Cibisov, I.A.Fentin, Zhur Obshchei Khim. 31, 1 (1961)
- 208.- F.Cornea, C.Fulea, Analele Univ.Bucuresti 18, 51 (1969)
- 209.- C.Dăescu, F.Bacaloglu, Bul.științific și tehnic IFT sub tipar.
- 210.- H.J.Becher, A.Adrian, J.Mol.Struct. 7, 323 (1971)
- 211.- W.Kynaston, I.Idris-Jones, J.L.Hales, Austral.J.Chem. 19, 1637 (1966).
- 212.- R.A.Nyquist, Spectrochim.Acta, 28 A, 285 (1972).
- 214.- C.E.Charles, G.L.Jones, N.L.Owen, S.J.Cyvin, B.N.Cyvin, J.Mol.Struct., 16, 225 (1973).
- 215.- R.Bacaloglu, I.Bacaloglu, C.Csunderlik, G.Ostregovich, J.prakt.Chem. 312, 331 (1971).
- 216.- R.Bacaloglu, C.Dăescu, G.Ostregovich, I.Chem.Soc.B. 1011 (1972).

••//••

- 217.- G.Ostrogovich, C.Csunderlik, R.Bacaloglu, J.Chem.Soc.B. 12 (1971).
- 218.- G.Ostrogovich, C.Csunderlik, R.Bacaloglu, J.prakt.chem. 11, 62, 73, 81 (1975).
- 219.- I.Ugi, F.Beck, Chem.Ber. 94, 1839 (1961)
- 220.- J.E.Leffler, E.Grunwald "Rate and Equilibria of Organic Reactions". J.Wiley & Sons.Inc.New-York-London 1963, pg.71, 222.
- 221.- Ch.Reinhard, K.Simroth, Fortsch.Chem.Forsch.11,1(1968)
- 222.- E.Grunwald,S.Vinstein,J.Amer.Chem.Soc.70, 846 (1948)
- 223.- E.Y.Kosover "An Introduction to Physical Organic Chemistry" J.Wiley & Sons, New-York-London-Sydney 1968, pg. 307.
- 224.- R.A.Petersen, J.Org.Chem. 29, 5133 (1964)
- 225.- O.Exner, Ind.Chim.Belge, 33, 343(1968); Nature 227, 366 (1970).
- 226.- J.L.Leffler, J.Org.Chem. 31, 533 (1966)
- 227.- J.F.Burnett in "Technique of Organic Chemistry" vol. VIII, p.I."Investigation of Rates and Mechanisms of Reaction". Interscience Publishers Inc.New-York, 1961, pg.201.
- 228.- C.Csunderlik, R.Bacaloglu, P.Schulz, G.Ostrogovich Bul.stiintific si tehnica IPT serv.Chimie 19, 37(1974)
- 229.- C.Csunderlik, R.Bacaloglu, G.Ostrogovich, Bul.stiintific si tehnica IPT, serv.Chimie 19, 27 (1974).
- 230.- A.Queen, T.A.Houw, F.N.Padden-Row, K.Preston, Canad.J. Chem. 48, 522 (1970).
- 231.- D.W.Ec Kinnon, A.Queen, Canad.J.Chem.50,1401(1972)
- 232.- N.B.Chapman, J.Schorter "Advances in Linear Free Energy Relationships" Plenum Press London New-York,1972 pg.72
- 233.- H.S.Harved, B.B.Owen, J.Amer.Chem.Soc.52, 5079(1930)
- 234.- W.C.Somerville, J.Phys.Chem. 25, 2412 (1931)
- 235.- G.Girault-Vexlearski, Bul.Soc.Chim.France,589 (1956)
- 236.- H.F.Hall, K.R.Sprinkle, J.Amer.Chem.Soc. 54 3469(1932)
- 237.- R.G.Bates,V.E.Bower,J.Res.Matl.Bur.Std 27 153 (1956)
- 238.- A.R.Ingram, V.F.Luder,J.Amer.Chem.Soc.64, 3043 (1942)
- 239.- A.L.Bacarella, E.Grunwald, H.R.Marshall, E.L.Purlee, J.Org.Chem. 20, 747 (1955)
- 240.- R.Bacaloglu, C.Dăescu, J.prakt.Chem. sub tipar.